

2016

MALANG

INSTITUT TEKNOLOGI NASIONAL

MARLILIA'S TEKNIK SFI'L DAN PENGEMBANGAN

JOHNSON TEKNIK SFI'L S.I

1221095

RUDI ALVANTO

WISUWAN OLEH :



HOTEL AREA CENTRAL - SURABAYA

LATERAL CIMA TADA PENGEMBANGAN

DENGAN MINGGUANAKAN RENCANA SEAGAI PEMERINTAHAN CAVA

“STUDI ALTERNATIF PENGEMBANGAN GEDUNG KETIKA WILAYANGI

SKRIPSI

SKRIPSI

**“STUDI ALTERNATIF PERENCANAAN GEDUNG BERTINGKAT TINGGI
DENGAN MENGGUNAKAN BRESING SEBAGAI PENAHAN GAYA
LATERAL GEMPA PADA PERENCANAAN
HOTEL ARIA CENTRAL – SURABAYA”**



Disusun oleh :

**BUDI ALVIANTO
1221095**

**JURUSAN TEKNIK SIPIL S-1
FAKULTAS TEKNIK SIPIL DAN PERENCANAAN
INSTITUT TEKNOLOGI NASIONAL
M A L A N G
2016**

**LEMBAR PERSETUJUAN
SKRIPSI**

**STUDI ALTERNATIF PERENCANAAN GEDUNG BERTINGKAT
TINGGI DENGAN MENGGUNAKAN BRESING SEBAGAI PENAHAN
GAYA LATERAL GEMPA PADA PERENCANAAN
HOTEL ARIA CENTRAL - SURABAYA**

*Disusun dan Diajukan Sebagai salah Satu Syarat untuk Memperoleh Gelar
Sarjana program Studi Teknik Sipil S-1
Institut Teknologi Nasional Malang*

Disusun Oleh :

Budi Alvianto

NIM 12.21.095

Menyetujui,

Dosen Pembimbing I



(Ir.A.Agus Santosa, M.T.)
NIP. Y. 101 87 00155

Dosen Pembimbing II



(Ir.Ester Priksari, M.T.)
NIP. Y. 101 94 00265

Mengetahui :

Ketua Program Studi



(Ir.A.Agus Santosa, M.T.)
NIP. Y. 101 87 00155

**PROGRAM STUDI TEKNIK SIPIL S-1
FAKULTAS TEKNIK SIPIL DAN PERENCANAAN
INSTITUT TEKNOLOGI NASIONAL MALANG
2016**

LEMBAR PENGESAHAN

SKRIPSI

**STUDI ALTERNATIF PERENCANAAN GEDUNG BERTINGKAT
TINGGI DENGAN MENGGUNAKAN BRESING SEBAGAI PENAHAN
GAYA LATERAL GEMPA PADA PERENCANAAN
HOTEL ARIA CENTRAL - SURABAYA**

*Disusun dan Diajukan Sebagai salah Satu Syarat untuk Memperoleh Gelar
Sarjana program Studi Teknik Sipil S-1
Institut Teknologi Nasional Malang*

Disusun Oleh :

Budi Alvianto

NIM 12.21.095

Disahkan Oleh :

Ketua Program Studi
Teknik Sipil S-1 ITN Malang

Ir. A Agus Santosa , M.T.

Sekretaris Program Studi
Teknik Sipil S-1 ITN Malang

Ir. Munasih, M.T.

Anggota penguji :

Dosen Penguji I

Ir. H. Sudirman Indra, M.Sc.

**PROGRAM STUDI TEKNIK SIPIL S-1
FAKULTAS TEKNIK SIPIL DAN PERENCANAAN
INSTITUT TEKNOLOGI NASIONAL MALANG
2016**

ABSTRAKSI

Budi Alvianto, (2016), “*Studi Alternatif Perencanaan Gedung Bertingkat Tinggi Dengan Menggunakan Bresing sebagai Penahan Gaya Lateral Gempa Pada Hotel Aria Central - Surabaya*”, Program Studi Teknik Sipil S-1, Fakultas Teknik Sipil Dan Perencanaan, Intitut Teknologi Nasional Malang, Dosen Pembimbing I : Ir. A. Agus Santosa, MT., Dosen Pembimbing II : Ir. Ester Priskasari, MT.

Seiring perkembangan teknologi perencanaan bangunan gedung tahan gempa banyak bermunculan desain sistem struktur yang berfariasi. Sistem struktur frame murni (balok – kolom) sebagai penahan gempa tidak efisien untuk membatasi defleksi lateral akibat gempa, karena dimensi frame murni (balok - kolom) akan bertambah besar jika kita merencanakan gedung bertingkat tinggi, Salah satu cara memperoleh kekakuan pada bangunan adalah dengan menambahkan elemen struktur tambahan diantaranya pengaku (*Bracing*).

Tugas akhir ini menganalisa perilaku penambahan sistem struktur pengaku menggunakan Bresing yang terbuat dari beton bertulang pada bangunan Hotel Aria Central - Surabaya ketika gedung tersebut menerima gaya lateral gempa. Pembebaan gempa dihitung dengan menggunakan analisis ekuivalen gempa. Hasil dari analisis ini adalah simpangan antar tingkat, kemudian dari hasil tersebut dianalisis untuk mengontrol kinerja batas ultimit dan untuk mengetahui perubahan *drift* yang terjadi.

Dalam penulisan tugas akhir ini didapat hasil bahwa dengan penambahan elemen struktur pengaku, gaya lateral gempa mampu ditahan dengan baik dibuktikan dengan pada simpangan antar tingkat memenuhi syarat (SNI 03-1726-2012) dan pada kontrol kinerja batas ultimit memenuhi persyaratan.

Untuk merencanakan suatu struktur tahan gempa hendaknya mempertimbangkan aplikasi sistem yang akan diterapkan, agar mampu mengantisipasi semua beban-beban yang bekerja termasuk beban gempa dinamik yang sangat berbahaya untuk perencanaan struktur gedung bertingkat tinggi.

Kata Kunci : X-Bracing, Gaya Lateral Gempa, Simpangan Horizontal (Drift)

KATA PENGANTAR

Puji syukur penulis panjatkan ke hadirat Allah SWT dan junjungan Nabi besar Muhammad SAW yang senantiasa memberikan Rohmad dan Ridho sehingga Skripsi ini dengan judul **“STUDI ALTERNATIF PERENCANAAN GEDUNG BERTINGKAT TINGGI DENGAN MENGGUNAKAN BRESING SEBAGAI PENAHAN GAYA LATERAL GEMPA PADA PERENCANAAN HOTEL ARIA CENTRAL – SURABAYA”** dapat terselesaikan dengan baik dan lancar.

Tak lepas dari berbagai hambatan, rintangan, dan kesulitan yang muncul, penyusun mengucapkan banyak terimahkasih kepada bapak **Ir. A. Agus Santos, MT** dan ibu **Ir. Ester Priskasari, MT** selaku dosen pembimbing skripsi dan tak lupa juga pada kesempatan ini penyusun ucapan terimahkasih kepada :

1. Bapak Rektor Institut Teknologi Nasional Malang dan segenap jajarannya.
2. Dekan Fakultas Teknik Sipil dan Perencanaan Institut Teknologi Nasional Malang dan segenap jajarannya.
3. Ketua Program Studi Teknik Sipil S-1 Institut Teknologi Nasional Malang dan segenap jajarannya.
4. Kedua orang tua saya tercinta beserta keluarga yang tidak henti- hentinya memberikan dukungan doa, materi maupun moril.
5. Rekan- rekan Teknik Sipil S-1 ITN Malang yang selalu menemani dan membantu saya dalam menyelesaikan skripsi ini.
6. Tidak lupa kepada orang-orang yang tidak dapat saya sebutkan satu persatu yang senantiasa selalu membantu saya dalam menyelesaikan skripsi ini.

Dengan segala kerendahan hati penyusun menyadari bahwa dalam penyusunan skripsi ini masih jauh dari sempurna. Untuk itu kritik dan saran yang bersifat membangun dari pembaca sangat diharapkan, Akhir kata semoga skripsi ini dapat bermanfaat bagi pembaca.

Malang, September 2016
Penyusun

Budi Alvianto
NIM : 12.21.095

DAFTAR ISI

COVER

LEMBAR PERSETUJUAN

LEMBAR PENGESAHAN

PERNYATAAN KEASLIAN SKRIPSI

ABSTRAKSI

KATA PENGANTAR

DAFTRA ISI

DAFTAR GAMBAR

DAFTAR TABEL

BAB I. PENDAHULUAN

| | | |
|------|------------------------|---|
| 1.1. | Latar Belakang | 1 |
| 1.2. | Rumusan Masalah | 2 |
| 1.3. | Maksud dan Tujuan..... | 3 |
| 1.4. | Batasan Masalah | 3 |

BAB II. DASAR DASAR PERENCANAAN

| | | |
|--------|---|----|
| 2.1. | Tinjauan Umum | 4 |
| 2.2. | Pembebanan | 10 |
| 2.2.1. | Beban Vertikal | 11 |
| 2.2.2. | Beban Horisontal..... | 11 |
| 2.3. | Pengaruh Arah Gempa | 12 |
| 2.3.1. | Pengaruh Gempa Horisontal..... | 12 |
| 2.3.2. | Pengaruh Gempa Vertikal | 13 |
| 2.4 | Eksentrisitas Pusat Massa Terhadap Pusat Kekakuan | 13 |
| 2.5 | Balok T..... | 15 |
| 2.6 | Perencanaan Balok dengan Tulangan Tekan dan Tarik (Rangkap) | 17 |
| 2.6.1. | Balok T Tulangan Rangkap..... | 17 |

| | |
|--|----|
| 2.6.2. Perencanaan Balok terhadap Geser | 22 |
| 2.7 Perencanaan Kolom..... | 25 |
| 2.8 Perencanaan penulangan kolom portal terhadap lentur dan aksial.. | 26 |
| 2.9 Kolom Eksentrisitas Kecil | 29 |
| 2.10 Kolom Eksentrisitas Besar | 30 |
| 2.11 Faktor Reduksi Gempa (R)..... | 33 |
| 2.12 Analisa Beban Lateral Gempa..... | 34 |
| 2.13 Kombinasi Pembebatan | 35 |
| 2.14 Konsep Perencanaan | 35 |
| 2.14.1. Sistem Struktur | 38 |
| 2.15 Daktilitas | 38 |
| 2.16 Braced Frame..... | 40 |
| 2.17 Drift Analysis | 42 |
| 2.17.1 Drift..... | 42 |
| 2.17.2 Pengaruh P- Δ | 44 |
| 2.17.3 Pembatasan Waktu Getar Alami Fundamental..... | 45 |
| 2.17.4 Kinerja Batas Layan | 46 |
| 2.17.5 Kinerja Batas Ultimit..... | 47 |
| 2.18 Diagram Alir..... | 49 |

BAB III DATA PERENCANAAN

| | |
|---|----|
| 3.1. Data Data Perencanaan | 49 |
| 3.1.1. Data Bangunan..... | 49 |
| 3.2. Data Material | 49 |
| 3.3. Perencanaan Dimensi Plat, Balok, dan Kolom | 50 |
| 3.3.1. Perencanaan Dimensi Plat | 50 |
| 3.3.2. Perencanaan Dimensi Balok | 50 |
| 3.3.3. Perencanaan Dimensi Kolom dan <i>X-Bracing</i> | 50 |
| 3.4. Model Struktur | 50 |
| 3.4.1. Model Struktur dengan <i>X-Bracing</i> | 50 |
| 3.5. Pembebatan | 52 |

| | | |
|----------|--|----|
| 3.5.1. | Beban Mati..... | 52 |
| 3.5.1.1. | Berat Struktur Sendiri (<i>Self Weight</i>) | 52 |
| 3.5.1.2. | Beban Mati Tambahan (<i>Dead Load</i>) | 52 |
| 3.5.2. | Berat Bangunan Setiap Lantai | 53 |
| 3.5.3. | Mencari Pusat Massa | 55 |
| 3.5.4. | Mencari Pusat Kekauan | 56 |
| 3.6. | Mencari Gaya Geser Total | 56 |
| 3.7. | Mencari Eksentrisitas Rencana (e_d)..... | 62 |
| 3.8. | Beban Gempa (<i>Quake Load</i>)..... | 67 |
| 3.8.1. | Beban Gempa Dinamik..... | 68 |
| 3.9. | Perhitungan Statika | 71 |
| 3.10. | Hasil Analisis Simpangan Horisontal | 76 |
| 3.10.1. | Kontrol Simpangan Antar Tingkat | 76 |
| 3.11. | Kinerja Batas Layan (Δ_s) dan Kinerja Batas Ultimit (Δ_m) | 81 |
| 3.12. | Ragam Mode Shape yang Terjadi pada Struktur Mengguanakan Sistem Pengaku <i>X-Bracing</i> | 87 |

BAB IV PERHITUNGAN PENULANGAN STRUKTUR

| | | |
|----------|--|-----|
| 4.1 | Perhitungan penulangan Balok | 90 |
| 4.1.1. | Perhitungan Penulangan Lentur Balok | 90 |
| 4.1.2. | Gaya Geser Pada Balok | 113 |
| 4.2. | Perhitungan Penulangan Kolom | 121 |
| 4.2.1. | Perhitungan Penulangan Lentur Kolom..... | 121 |
| 4.2.2. | Perhitungan Penulangan Geser Kolom..... | 137 |
| 4.2.3. | Sambungan Tulangan Vertikal Kolom | 140 |
| 4.3. | Perhitungan Tulangan <i>X-Bracing</i> | 142 |
| 4.3.1. | Perhitungan Penulangan <i>X-Bracing</i> | 142 |
| 4.3.1.1. | Perhitungan penulangan lentur <i>X-Bracing</i> | 142 |
| 4.3.2. | Perhitungan Penulangan Geser <i>X-Bracing</i> | 155 |
| 4.3.3. | Perhitungan Penulangan Geser <i>X-Bracing</i> | 162 |
| 4.3.4. | Perhitungan Penulangan Geser <i>X-Bracing</i> | 165 |

| | |
|---|-----|
| 4.3.5. Perhitungan Penulangan Geser <i>X-Bracing</i> | 168 |
| 4.3.6. Perhitungan Penulangan Geser <i>X-Bracing</i> | 172 |
| 4.3.7. Perhitungan Penulangan Geser <i>X-Bracing</i> | 175 |
| 4.3.8. Perhitungan Penulangan Geser <i>X-Bracing</i> | 178 |
| 4.3.9. Perhitungan Penulangan Geser <i>X-Bracing</i> | 181 |
| 4.3.10. Perhitungan Penulangan Geser <i>X-Bracing</i> | 185 |
| 4.3.11. Perhitungan Penulangan Geser <i>X-Bracing</i> | 188 |
| 4.3.12. Perhitungan Penulangan Geser <i>X-Bracing</i> | 191 |
| 4.3.13. Perhitungan Penulangan Geser <i>X-Bracing</i> | 194 |

BAB V KESIMPULAN DAN SARAN

| | |
|----------------------|-----|
| 5.1 Kesimpulan | 199 |
| 5.2 Saran | 200 |

DAFTAR PUSTAKA

LAMPIRAN

DAFTAR GAMBAR

| | |
|--|----|
| Gambar 2.1.a Kestabilan struktur akan diilustrasikan dalam..... | 8 |
| Gambar 2.1.b Kestabilan Struktur Portal | 9 |
| Gambar 2.2 Diagram Tegangan Balok T | 19 |
| Gambar 2.3 Diagram Gaya Geser dan Daerah Penempatan Tulangan Geser | 24 |
| Gambar 2.4 Diagram Regangan,Tegangan dan Gaya Dalam Penampang..... | 27 |
| Gambar 2.5 Wilayah Gempa Indonesia dengan Percepatan Puncak Batuan Dasar dengan Perioda Ulang 500 Tahun..... | 31 |
| Gambar 2.6 Respons Spektrum Gempa Rencana | 32 |
| Gambar 2.7 Model Pengaku untuk Meredam gaya Lateral Gempa..... | 41 |
| Gambar 2.8 Jalur Gaya yang Diakibatkan Beban Vertikal (a) dan Horisontal (b) | 41 |
| Gambar 2.9 Batang Brecing Vertikal yang Mengalami Defleksi Lateral Tingkat | 43 |
| Gambar 2.10 Faktor-faktor yang Mendukung Terjadinya Defleksi Lateral pada Sistem bresing Vertikal | 44 |
| Gambar 3.1 Denah Struktur Dengan Bracing | 51 |
| Gambar 3.2 Model 3 Dimensi Struktur Menggunakan X- Bracing | 51 |
| Gambar 3.3 Letak Titik Pusat Massa dan Pusat Kekakuan Lantai 2 | 62 |
| Gambar 3.4 Letak Titik Pusat Massa dan Eksentrisitas Rencana Lantai | 63 |
| Gambar 3.5 Letak titik Pusat Massa dan Pusat Kekakuan lantai 3-15..... | 64 |
| Gambar 3.6 Letak titik Pusat Massa dan Eksentrisitas Rencana lantai 3-15 | 65 |
| Gambar 3.7 Letak Titik Pusat Massa dan Pusat Kekakuan Atap..... | 66 |
| Gambar 3.8 Letak titik Pusat Massa dan Eksentrisitas Rencana Atap..... | 67 |
| Gambar 3.9 Pembebanan Pusat Eksentrisitas Rencana 100% Bentang Lemah 30% Bentang Kuat | 69 |
| Gambar 3.10 Potongan Portal Line 1 dan Potongan Portal Line 1 Sampel Perhitungan..... | 72 |
| Gambar 3.10.1 Nomor Titik Portal | 72 |
| Gambar 3.10.2 Nomor Batang Portal..... | 72 |
| Gambar 3.11 Grafik Simpangan Tingkat Arah X | 79 |
| Gambar 3.12 Grafik Simpangan Tingkat Arah Z..... | 80 |

| | |
|---|-----|
| Gambar 3.13 Grafik Kontrol Terhadap Kinerja Batas Layan dan Ultimit Struktur Arah Z..... | 84 |
| Gambar 3.14 Grafik Kontrol Terhadap Kinerja Batas Layan dan Ultimit Struktur Arah X | 86 |
| Gambar 4.1 Panjang Beff..... | 91 |
| Gambar 4.2 Perataan Beban C | 113 |
| Gambar 4.3 Diagram Interaksi (10 D 28) | 135 |
| Gambar 4.4 Diagram Interaksi (12 D 28) | 135 |
| Gambar 4.5 Diagram Interaksi (16 D 28) | 136 |
| Gambar 4.6 Diagram Interaksi | 137 |
| Gambar 4.7 Diagram Interaksi (10 D 16) | 157 |
| Gambar 4.8 Diagram Interaksi (12 D 16) | 157 |
| Gambar 4.9 Diagram Interaksi (16 D 16) | 158 |
| Gambar 4.10 Diagram Interaksi | 158 |

DAFTAR TABEL

| | |
|---|-----|
| Tabel 2.1. Faktor Daktilitas Maksimum, Faktor Reduksi Gempa Maksimum, Faktor Tahanan lebih Struktur dan Faktor Tahanan Lebih Total Beberapa Jenis Sistem dan Subsistem Struktur Gedung. (SNI – 1726 – 2002) | 33 |
| Tabel 2.2 Koefisien ξ yang membatasi waktu getar alami fundamental struktur gedung..... | 46 |
| Tabel 3.1 Titik Pusat Massa Tiap Lantai | 55 |
| Tabel 3.2 Faktor Keutamaan Struktur | 57 |
| Tabel 3.3 Faktor Daktilitas Maksimum, Faktor Reduksi Gempa Maksimum, Faktor Tahanan lebih Struktur dan Faktor Tahanan Lebih Total Beberapa Jenis Sistem dan Subsistem Struktur Gedung. (SNI – 1726 – 2002) | 58 |
| Tabel 3.4 Berat Sendiri Tiap Lantai yangDdiperoleh dari Output Staad Pro | 59 |
| Tabel 3.5 Distribusi Gaya Gempa Horizontal Akibat Gempa | 61 |
| Tabel 3.6 Beban Pada Pusat Massa 30% dan 100% | 68 |
| Tabel 3.7 Hasil Pembacaan Momen Pada Balok | 73 |
| Tabel 3.8 Pembacaan Momen Pada Kolom | 74 |
| Tabel 3.9 Pembacaan Momen Pada X-Bracing | 75 |
| Tabel 3.10 Pembacaan Simpangan antar Tingkat | 76 |
| Tabel 3.11 Kontrol Simpangan Antar Tingkat X..... | 77 |
| Tabel 3.12 Kontrol Simpangan Antar Tingkat Z | 78 |
| Tabel 3.13 Kontrol Batas Layan dan Batas Ultimit Struktur Gedung Arah Z..... | 82 |
| Tabel 3.14 Kontrol Batas Layan dan Batas Ultimit Struktur Gedung Arah X | 84 |
| Tabel 4.1 Diagram Interaksi (10 D 28) | 134 |
| Tabel 4.2 Diagram Interaksi (12 D 28) | 134 |
| Tabel 4.3 Diagram Interaksi (16 D 28) | 134 |
| Tabel 4.4 Momen Nominal, Gaya Aksial & JumlahTulangan Kolom | 136 |
| Tabel 4.5 Diagram Interaksi (10 D 16) | 156 |
| Tabel 4.6 Diagram Interaksi (12 D 16) | 156 |
| Tabel 4.7 Diagram Interaksi (16 D 16) | 156 |

BAB I

PENDAHULUAN

1.1 Latar Belakang

Seiring dengan berkembang pesatnya pertumbuhan jumlah penduduk, demikian juga dengan lahan kosong yang tersedia dan semakin meningkatnya harga tanah yang ada. Hal inilah yang menjadi penyebab semakin maraknya berdiri bangunan-bangunan tinggi guna memberikan pelayanan yang maksimal bagi penggunanya.

Istilah “Bangunan Tinggi” menurut *New Shorter Oxford English Dictionary* mengartikan bangunan tinggi sebagai bangunan yang memiliki banyak tingkat. Suatu bangunan dikatakan tinggi jika dalam disain dan analisa strukturnya sangat dipengaruhi oleh pengaruh beban lateral seperti beban angin dan beban gempa atau bahkan keduannya tergantung beban mana yang dominan.

Sebagian besar wilayah Indonesia berada pada wilayah rawan gempa. Sehingga merupakan fakta jika Indonesia sering kali dilanda gempa. Gempa banyak menghancurkan bangunan-bangunan terutama bangunan bertingkat yang tidak mempunyai kekakuan yang memadai. Karena semakin tinggi bangunan maka semakin besar pula efek gempa dan angin yang diterima oleh bangunan tersebut.

Dalam perancangan suatu gedung beton tahan gempa setidaknya harus mengacu pada peraturan SNI 03-2847-2013, yaitu Tata cara perencanaan persyaratan beton struktural untuk bangunan gedung, dan SNI 03-1726-2013, yaitu Tata cara perencanaan ketahanan gempa untuk struktur bangunan gedung

dan non gedung. Salah satu cara untuk memperoleh kekakuan pada bangunan adalah dengan memasang bresing (*bracing*) untuk bangunan tinggi.

Bresing adalah Komponen struktur atau sistem yang memberikan kekakuan dan kekuatan untuk membatasi pergerakan ke luar bidang gambar dari komponen struktur lainnya di titik breis (**SNI 03-1729-2015 spesifikasi untuk bangunan gedung baja struktural**). Selain itu dapat pula meningkatkan kekuatan bangunan ini disebabkan karena besarnya gaya-gaya yang terjadi akan di distribusikan ke semua elemen struktur termasuk penopang bresing sehingga momen yang terjadi akan lebih kecil. Alasan penambahan bresing pada struktur bangunan untuk menambah kekuatan dan kekakuan struktur sehingga secara efektif dapat mengurangi *drift* dan menahan *deformasi* pada suatu bangunan tinggi. Penggunaan penopang bresing dapat mengurangi waktu getar alami struktur. Massa bangunan dan kekakuan akan berpengaruh pada waktu getar alami.

Hal ini disebabkan karena massa bangunan akan bertambah besar karena adanya penopang bresing, sehingga kekakuanannya menjadi besar ini akan menyebabkan waktu getar alami struktur berpenopang bresing akan berkurang dibandingkan dengan struktur yang tidak berpenopang.

Pada studi analisa ini bertujuan untuk mengetahui kekuatan dan kekakuan suatu perencanaan struktur gedung bertingkat tinggi menggunakan metode bresing sebagai alternatif sistem struktur penahan gaya leteral gempa.

1.2 Rumusan Masalah

Dari latar belakang diatas, penyusun dapat merumuskan masalah yang timbul yaitu :

- Berapa besar dimensi penampang balok, kolom, dan bresing ?
- Berapa jumlah tulangan balok, kolom, dan bresing ?
- Berapa besar simpangan horizontal (*Drift*) yang terjadi jika sistem struktur penahanan gaya lateral gempa menggunakan pengaku bresing ?
- Bagaimana gambar penulangan sistem struktur menggunakan pengaku bresing ?

1.3 Tujuan

Tujuan dari penulis tugas akhir ini adalah :

- Untuk mengetahui berapa besar dimensi penampang balok, kolom, dan bresing.
- Untuk mengetahui jumlah tulangan balok, kolom, dan bresing.
- Untuk mengetahui simpangan horizontal (*Drift*) yang terjadi dengan menerapkan sistem struktur menggunakan bresing dengan kontrol *drift*.
- Untuk mengetahui gambar penulangan sistem struktur menggunakan pengaku bresing.

1.4 Manfaat

Manfaat yang diharapkan dari penulis tugas akhir ini adalah :

- Memberikan pengetahuan tambahan mengenai perilaku dan kinerja salah satu desain sistem struktur penahan beban lateral ketika menerima beban gempa kuat.
- Sebagai salah satu referensi dalam memilih dan merencanakan sistem struktur penahan beban lateral bangunan tinggi dengan menggunakan bresing.

1.5 Batasan Masalah

Untuk memudahkan dalam proses analisa yang akan dilakukan, maka dalam tulisan ini dilakukan pembatasan-pembatasan yang meliputi :

1. Perencanaan penampang balok, kolom, dan bresing.
2. Perhitungan jumlah penulangan balok, kolom, dan bresing.
3. Sistem struktur yang dianalisa adalah sistem struktur dengan menggunakan bresing.
4. Analisa simpangan horizontal kontrol (*drift*).
5. Gambar penulangan sistem struktur menggunakan pengaku bresing.

Peraturan yang digunakan :

1. Peraturan SNI 03-1726-2012, yaitu Tata cara perencanaan ketahanan gempa untuk struktur bangunan gedung dan non gedung.
2. Peraturan SNI 03-2847-2013, yaitu Tata cara perencanaan persyaratan beton struktural untuk bangunan gedung.

3. Peraturan SNI 03-1727-2012, yaitu Beban minimum untuk perancangan bangunan gedung dan struktur lain.
4. Peraturan Pembebanan Indonesia untuk gedung (PPIUG 1987).
5. Perhitungan analisa struktur menggunakan program bantu komputer.

BAB II

TINJAUAN PUSTAKA

2.1 Tinjauan Umum

Sebagian besar wilayah Indonesia berada pada wilayah rawan gempa. Sehingga merupakan fakta jika Indonesia sering kali dilanda gempa. Gempa banyak menghancurkan bangunan-bangunan terutama bangunan bertingkat yang tidak mempunyai kekakuan yang memadai. Karena semakin tinggi bangunan maka semakin besar pula efek gempa dan angin yang diterima oleh bangunan tersebut.

Dalam perancangan suatu gedung beton tahan gempa setidaknya harus mengacu pada peraturan SNI 03-1726-2012, yaitu Tata cara perencanaan ketahanan gempa untuk struktur bangunan gedung dan non gedung, SNI 03-2847-2013, yaitu Tata cara perencanaan persyaratan beton struktural untuk bangunan gedung, dan SNI 03-1727-2013, yaitu Beban minimum untuk perancangan bangunan gedung dan struktur lain.

Dalam merancang suatu struktur bangunan harus diperhatikan kekakuan, kestabilan struktur dalam menahan segala pembebanan yang dikenakan padanya, bagaimana perilaku struktur untuk menahan beban tersebut. Pada struktur stabil apabila dikenakan beban, struktur tersebut akan mengalami perubahan bentuk (*deformasi*) yang lebih kecil dibandingkan struktur yang tidak stabil. Hal ini disebabkan karena pada struktur yang stabil memiliki kekuatan dan kestabilan dalam menahan beban. Struktur stabil ini misalnya struktur dengan bresing (**Schodek,1999**).

Pada beban gempa, bangunan mengalami gerakan vertikal dan gerakan horizontal. Gaya inersia atau gaya gempa baik dalam arah vertikal maupun horizontal akan timbul di titik-titik pada massa struktur. Dari kedua gaya ini, gaya dalam arah vertikal hanya sedikit mengubah gaya gravitasi yang bekerja pada struktur, sedangkan struktur biasanya direncanakan terhadap gaya vertikal dengan faktor keamanan yang memadai. Oleh karena itu, struktur umumnya jarang sekali runtuh akibat gaya vertikal (**Muto,1974**).

Pada bangunan tinggi, gaya lateral (beban gempa) sama pentingnya seperti beban gravitasi. Beban gempa yang tinggi pada sisi bangunan menghasilkan momen. Akan tetapi gaya geser horizontal pada masing-masing tingkat begitu besar hingga membutuhkan pengaku atau sambungan penahan momen. Jika tidak terjadi keretakan, lantai dan dinding menyediakan kekakuan yang cukup bagi bangunan meskipun terkadang sebagai kekakuan tersebut ditahan oleh pengaku lateral tetapi sangat sulit untuk memperkirakannya.

Ketiga sistem yang disebutkan di bawah ini merupakan sistem struktur utama yang dipakai untuk meningkatkan daya tahan gempa (terutama gaya tahan horizontal) dari gedung bertingkat banyak, yaitu :

1. Portal terbuka (*open framers*).
2. Portal dinding (*walled framers*).
3. Dinding geser (*shear walls*) dan portal dengan pengaku diagonal (*diagonally braced framers*).

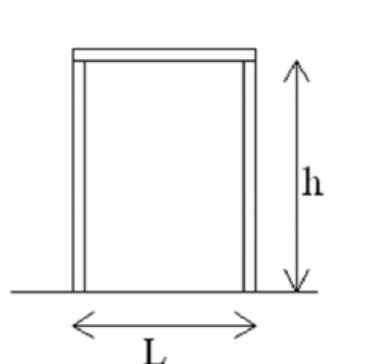
Braced Frame dapat diartikan sebagai portal yang dilengkapin dengan batang penopang bresing yang bertujuan untuk mengurangi perpindahan lateral atau untuk memperoleh stabilitas struktur. **Charles G. Salmon dan JohnE.**

Jonson (1999) menyatakan bahwa pada dasarnya kerangka berpenopang lebih tepat didefinisikan sebagai kerangka dimana tekuk bergoyang (*sideway buckling*) dicegah oleh elemen-elemen topang struktur tersebut dan bukan oleh kerangka struktur itu sendiri.

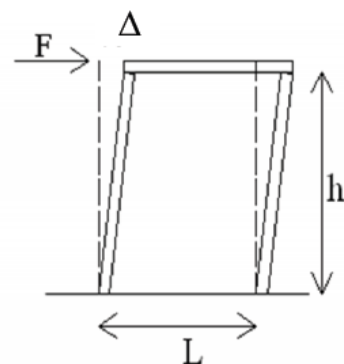
Dalam perencanaan bangunan ini sistem yang digunakan ialah sistem bresing konsentris, yang merupakan sistem bresing dimana sumbu utamanya bertemu dan saling memotong dalam satu titik. Sistem sangat cocok dipakai dalam perencanaan karena akan memberikan kekuatan untuk menahan beban-beban yang bekerja (**AISC,1992**).

Gaya tarik yang ditimbulkan pada sistem bresing vertikal konsentris ini akan melawan gaya desak sehingga secara umum struktur akan mengalami tekuk akibat desakan gaya lateral tersebut (**Brockenbrough dan Martin, 1994**).

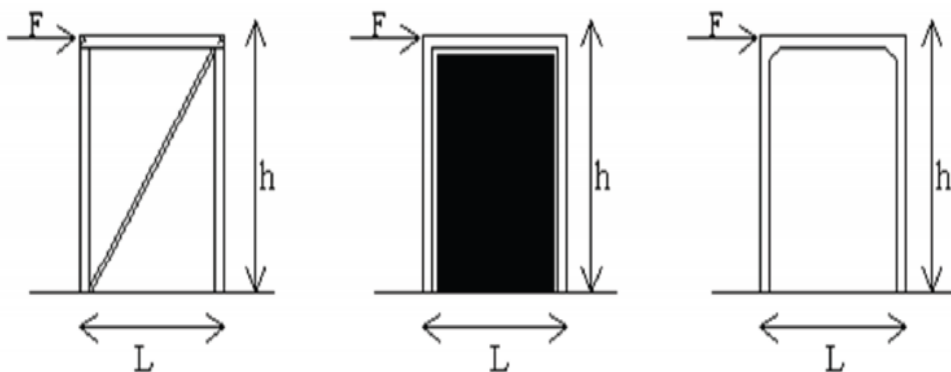
Stabilitas merupakan hal sulit di dalam perencanaan struktur yang merupakan gabungan dari elemen-elemen. Untuk memperjelas mengenai kestabilitas struktur akan diilustrasikan dalam gambar 2.1



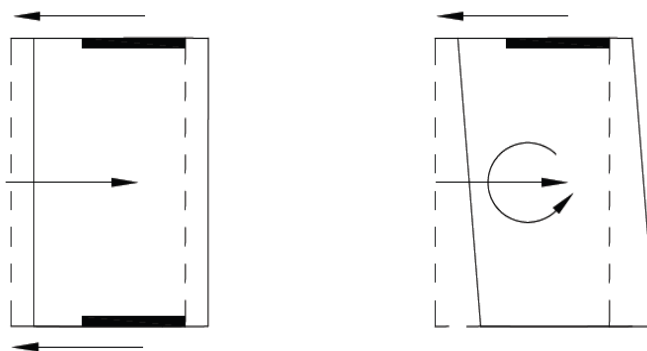
(a) Susunan kolom dan balok



(b) Ketidakstabilan terhadap beban horizontal



- a) Tiga metode dasar untuk menjamin kestabilan struktur sederhana meliputi : bresing diagonal, bidang geser, dan titik hubung kaku.



- b) Setiap metode yang dipakai untuk menjamin kestabilan pada struktur harus dipasang secara simetris. Apabila tidak, dapat terjadi efek torsional pada struktul.

Gambar 2.1 Kestabilan struktur portal

Pada Gambar 2.1 (a) struktur stabil karena struktur belum mendapatkan gaya dari luar, apabila suatu struktur dikenakan gaya horisontal maka akan terjadi *deformasi* seperti yang terlihat pada Gambar 2.1 (b). Hal ini disebabkan karena struktur tidak mempunyai kapasitas yang cukup untuk menahan gaya horisontal dan struktur tidak mempunyai kemampuan untuk mengembalikan bentuk struktur

ke bentuk semula apabila beban horisontal dihilangkan sehingga akan terjadi simpangan horisontal (*drift*) yang berlebihan yang dapat menyebabkan keruntuhan. Terdapat beberapa cara untuk menjamin kestabilan struktur seperti pada Gambar 2.1 (c) Cara pertama dengan menambahkan elemen struktur diagonal pada struktur, sehingga struktur tidak mengalami *deformasi* menjadi jajaran genjang seperti pada Gambar 2.1 (b). Hal ini disebabkan karena dengan menambahkan elemen struktur diagonal gaya-gaya yang dikenakan pada struktur akan disebarluaskan ke seluruh bagian termasuk ke elemen diagonal, gaya-gaya yang diterima masing-masing struktur akan berkurang sehingga simpangan yang dihasilkan lebih kecil. Cara kedua adalah dengan menggunakan dinding geser. Elemennya merupakan elemen permukaan bidang kaku, yang tentunya dapat menahan *deformasi* akibat beban horisontal dan simpangan horisontal yang akan dihasilkan akan lebih kecil. Cara ketiga adalah dengan mengubah hubungan antara elemen struktur sedemikian rupa sehingga perubahan sudut untuk suatu kondisi pembebahan tertentu. Hal ini dengan membuat titik hubung kaku diantara elemen struktur sebagai contoh, meja adalah struktur stabil karena adanya titik hubung kaku di antara setiap kaki meja dengan permukaan meja yang menjamin hubungan sudut konstan di antara elemen tersebut, sehingga struktur menjadi lebih kaku. Dalam menentukan letak bresing maupun dinding geser hendaknya simetris. Hal ini untuk menghindari efektorsional (**Schodek, 1999**).

2.2 Analisa Pembebanan

Dalam merencanakan suatu desain struktur tentunya perlu memperhatikan beban-beban yang akan terjadi pada bangunan tersebut. Hal ini

sudah diatur oleh peraturan tentang ketentuan-ketentuan pembebanan dalam merencanakan suatu struktur (SNI 03-1727-2013), yaitu Beban minimum untuk perancangan bangunan gedung dan struktur lain. Beberapa jenis beban yang digunakan dalam bangunan gedung meliputi :

1) Beban vertikal, yang terdiri :

a. Beban Mati (SNI 03-1727-2013 Ps. 3.1 hal 15)

Beban mati adalah berat seluruh bahan konstruksi bangunan gedung yang terpasang, termasuk dinding, lantai atap, plafon, tangga, dinding partisi tetap, *finishing*, kladding gedung dan komponen arsitektural dan struktur lainnya serta peralatan layan terpasang lain termasuk berat keran.

b. Beban Hidup (SNI 03-1727-2013 Ps. 30.2.2 hal 41)

Beban hidup adalah beban yang diakibatkan oleh pengguna dan penghuni bangunan gedung atau struktur lain yang tidak termasuk beban konstruksi dan beban lingkungan, seperti beban angin, beban hujan, beban gempa, beban banjir, atau beban mati.

2) Beban horizontal, yang terdiri :

a. Beban Gempa

Berdasarkan SNI 03-1726-2012 prosedur kombinasi ortogonal hal 61 menyatakan untuk perencanaan ketahanan gempa mensimulasikan arah pengaruh gempa rencana yang sembarang terhadap struktur, pengaruh pembebanan gempa dalam arah utama harus dianggap efektif 100% dan harus dianggap terjadi bersama dengan pengaruh gempa dalam arah tegak lurus pada arah utama tadi tetapi efektifitasnya hanya 30%. Gaya gempa terletak di pusat massa lantai-lantai tingkat.

b. Beban Angin

Beban angin merupakan beban horizontal yang harus dipertimbangkan dalam mendesain struktur. Pada daerah tertentu tekanan angin yang besar dapat menyebabkan rubuhnya bangunan. Besarnya tekanan yang diakibatkan angin pada suatu titik akan tergantung kecepatan angin, rapat massa udara, lokasi yang ditinjau pada struktur, perilaku permukaan struktur, bentuk geometris struktur, dan dimensi struktur (**Schodek, 1999**).

2.3 Konstruksi Balok T

Berikut ini ketentuan-ketentuan yang harus diperhatikan dalam merencanakan balok T sesuai dengan SNI 03-2847-2013 pasal 8.12 :

- Pada konstruksi balok-T, sayap dan badan balok harus dibangun menyat atau bila tidak harus dilekatkan bersama secara efektif.
- Lebar slab efektif sebagai sayap balok-T tidak boleh melebihi $\frac{1}{4}$ panjang bentang balok, dan lebar efektif sayap yang menggantung pada masing-masing sisi badan balok tidak boleh melebihi:
 - a) Delapan kali tebal slab, dan
 - b) Setengah jarak bersih ke badan di sebelahnya.
- Untuk balok dengan slab pada satu sisi saja, lebar sayap efektif yang menggantung tidak boleh melebihi:
 - a) $\frac{1}{12}$ panjang bentang balok,
 - b) Enam kali tebal slab, dan
 - c) Setengah jarak bersih ke badan di sebelahnya.

- Balok yang terpisah, dimana bentuk-T digunakan untuk memberikan sayap untuk luasan tekan tambahan, harus mempunyai ketebalan sayap tidak kurang dari setengah lebar badan dan lebar efektif sayap tidak lebih dari empat kali lebar badan.
- Bila tulangan lentur utama pada slab yang dianggap sebagai sayap balok-T (tidak termasuk konstruksi balok usuk) paralel dengan balok, tulangan tegak lurus terhadap balok harus disediakan pada sisi teratas slab sesuai dengan berikut ini :
 - Tulangan transversal harus didesain untuk memikul beban terfaktor pada lebar slab yang menggantung yang diasumsikan bekerja sebagai kantiliver. Untuk balok yang terpisah, seluruh lebar sayap yang menggantung harus diperhitungkan. Untuk balok-T lainnya, hanya lebar efektif slab yang menggantung perlu diperhitungkan.
 - Tulangan transversal harus dispasikan tidak lebih jauh dari lima kali tebal slap, atau juga tidak melebihi 450 mm.

2.4 Perencanaan Kolom

Kolom adalah Komponen struktur dengan rasio tinggi terhadap dimensi lateral terkecil melampaui 3 yang digunakan terutama untuk menampung beban tekan aksial (**SNI 03-2847-2012 hal. 17**). Berikut ini ketentuan-ketentuan yang harus diperhatikan dalam merencanakan kolom sesuai dengan SNI 03-2847-2013 pasal 8.10 hal.62 :

- Kolom harus dirancang untuk menahan gaya aksial dari beban terfaktor pada semua lantai atau atap dan momen maksimum dari beban terfaktor

pada satu bentang lantai atau atap bersebelahan yang ditinjau. Kondisi pembebanan yang memberikan rasio momen maksimum terhadap beban aksial harus juga ditinjau.

- Pada rangka atau konstruksi menerus, pertimbangan harus diberikan pada pengaruh beban lantai atau atap tak seimbang pada baik kolom eksterior dan interior dan dari pembebanan eksentris akibat penyebab lainnya.
- Dalam menghitung momen beban gravitasi pada kolom, diijinkan untuk mengasumsikan ujung jauh kolom yang dibangun menyatu dengan struktur sebagai terjepit.
- Tahanan terhadap momen pada setiap tingkat lantai atau atap harus disediakan dengan mendistribusikan momen di antara kolom-kolom langsung diatas dan di bawah lantai ditetapkan dalam proporsi terhadap kekakuan kolom relatif dan kondisi kekangan.

2.5 Kombinasi Pembebanan

Struktur, komponen, dan fondasi harus dirancang sedemikian rupa sehingga kekuatan desainnya sama atau melebihi efek dari beban terfaktor dalam kombinasi berikut : (**SNI 03-1726-2012 hal. 15**)

1. $1,4D$
2. $1,2D + 1,6L + 0,5$ (L ratau S atau R)
3. $1,2D + 1,6$ (L ratau S atau R) + (L atau $0,5W$)
4. $1,2D + 1,0W + L + 0,5$ (L r atau S atau R)
5. $1,2D + 1,0E + L + 0,2S$
6. $0,9D + 1,0W$

$$7. \quad 0,9D + 1,0E$$

Keterangan :

- D adalah beban mati yang diakibatkan oleh berat konstruksi permanen, termasuk dinding, lantai, atap, plafon, partisi tetap, tangga, dan peralatan layan tetap.
- L adalah beban hidup yang ditimbulkan oleh penggunaan gedung, termasuk kejut, tetapi tidak termasuk beban lingkungan seperti angin, hujan.
- L_r adalah beban hidup diatap yang ditimbulkan selama perawatan oleh pekerja, peralatan, dan material, atau selama penggunaan biasa oleh orang dan benda bergerak.
- R adalah beban hujan, tidak termasuk yang diakibatkan genangan air.
- W adalah beban angin
- E adalah beban gempa, yang ditentukan menurut SNI 1726-2012

2.6 Pengaruh Beban Gempa

Pengaruh beban gempa, E , harus ditentukan sesuai dengan berikut : (**SNI 03-1726-2012 hal. 48**)

1. Untuk penggunaan dalam kombinasi beban 5 dalam pasal 4.2.2 atau kombinasi beban 5 dan 6 dalam pasal 4.2.3, E harus ditentukan sesuai dengan persamaan 14 berikut :

$$E = E_h + E_v \quad (14)$$

2. Untuk penggunaan dalam kombinasi beban 7 dalam pasal 4.2.2 atau kombinasi beban 8 dalam pasal 4.2.3, E harus ditentukan sesuai dengan persamaan 15 berikut :

$$E = E_h - E_v \quad (15)$$

2.6.1 Pengaruh Beban Gempa Horizontal

Pengaruh beban gempa horizontal, E_h , harus ditentukan sesuai dengan persamaan 16 sebagai berikut :

$$E_h = \rho Q_E \quad (16)$$

Keterangan :

Q_E adalah pengaruh gempa horizontal dari V atau F_p . Jika disyaratkan dalam pasal 7.5.3 dan 7.5.4, pengaruh tersebut harus dihasilkan dari penerapan gaya horizontal secara serentak dalam dua arah tegak lurus satu sama lain.

P adalah faktor redundansi, seperti didefinisikan dalam pasal 7.3.4.

2.6.2 Pengaruh Beban Gempa Vertikal

Pengaruh beban gempa vertikal, E_v , harus ditentukan sesuai dengan persamaan 17 berikut :

$$E_v = 0,2S_{DS}D$$

Keterangan :

S_{DS} = parameter percepatan spektrum respons desain pada periode pendek yang diperoleh dari pasal 6.10.4

D = Pengaruh beban mati

2.6.3 Kombinasi Beban Gempa

Jika pengaruh gaya gempa yang ditetapkan, E , yang didefinisikan dalam pasal 7.4.2, dikombinasikan dengan pengaruh beban lainnya seperti ditetapkan

dalam pasal 4, kombinasi beban gempa berikut untuk struktur yang tidak dikenai beban banjir harus digunakan sebagai pengganti dari kombinasi beban gempa baik dalam pasal 4.2.2 atau 4.2.3 :

Kombinasi dasar untuk desain kekuatan (lihat pasal 4.2.2 dan 3.67 untuk notasi)

$$5. \quad (1,2 + 0,2S_{DS})D + \rho Q_E + L$$

$$7. \quad (0,9 - 0,2S_{DS}) D + \rho Q_E + 1,6 H$$

Catatan :

1. Faktor beban pada L dalam kombinasi 5 diijinkan sama dengan 0,5 untuk semua hunian dimana besarnya beban hidup merata kurang dari atau sama dengan 5 kN/m^2 , dengan pengecualian garasi atau ruang pertemuan.
2. Faktor beban pada H harus ditetapkan sama dengan nol dalam kombinasi 7 jika aksi struktur akibat H berlawanan dengan aksi struktur akibat E . Jika tekanan tanah lateral memberikan tahanan terhadap aksi struktur dari gaya lainnya, faktor beban tidak boleh dimasukkan dalam H tetapi harus dimasukkan dalam tahanan desain.

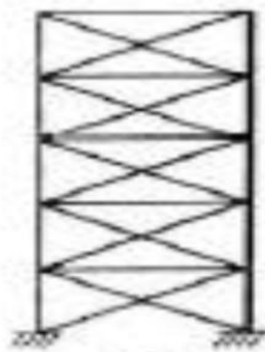
2.7 Konsep Perencanaan

2.7.1 Struktur Bresing Konsentrik

Sistem bresing konsentrik merupakan sistem bresing dimana sumbu utamanya bertemu atau saling memotong dalam satu titik. Sistem bresing konsentris ini bertujuan untuk :

- Menahan beban lateral dan termasuk ketahanannya terhadap gempa.
- Memperoleh stabilitas struktur

Gaya tarik yang ditimbulkan pada sistem bresing konsentris ini akan melawan gaya desak sehingga secara umum struktur akan mengalami tekuk akibat desakan gaya lateral tersebut (**Brockenbrough dan Martin, 1994**).



Gambar 2.2. Struktur Bresing Tipe-X Konsentrik

Gambar 2.2 merupakan salah satu contoh struktur dengan menggunakan sistem bresing tipe-X konsentrik.

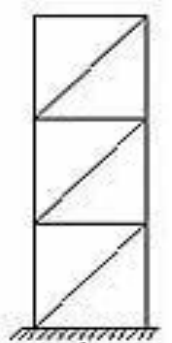
2.7.2 Daktilitas

Daktilitas merupakan hal yang penting untuk diperhatikan dalam perencanaan struktur terhadap gempa. Struktur harus direncanakan sedemikian rupa sehingga ketika struktur mengalami keruntuhan dapat berlaku dektail dan menimbulkan suatu tanda-tanda saat struktur tersebut mencapai deformasi maksimum. Dengan demikian maka keruntuhan total dapat dihindari dan korban jiwa manusia yang berada dalam bangunan dapat dihindari.

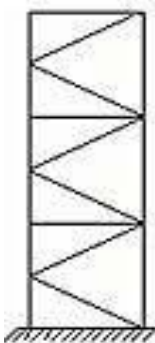
2.7.3 Braced Frame

Braced Frame dapat diartikan sebagai portal yang dilengkapi dengan batang penompang Brasing yang bertujuan untuk mengurangi perpindahan lateral

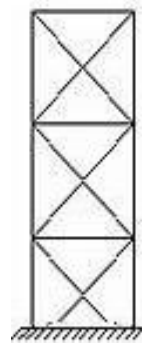
atau untuk memperoleh stabilitas struktur. Adapun ragam model pengaku yang berkembang diantaranya sebagai berikut :



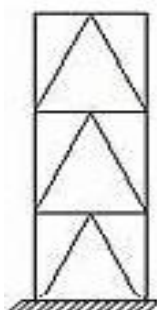
(a)



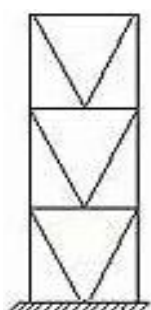
(b)



(c)



(d)



(e)

Gambar 2.3. Model pengaku untuk meredam gaya lateral gempa

Keterangan gambar 2.3. Model pengaku untuk meredam gaya lateral gempa:

(a) = *Single Diagonals Bracing*

(b) = *K Bracing*

(c) = *X- Bracing (Cross Bracing)*.

(d) = *Inverted V Bracing*

(e) $= V \text{ Bracing}$

Uraian gaya yang diterimah masing-masing elemen struktur (Vertikal dan Horizontal) menurut (**Stafford Smith, Bryan,1991**).

2.8 Perencanaan Ketahanan Gempa

2.8.1 Faktor Keutamaan dan Kategori Resiko Struktur Bangunan (SNI 03-1726-2012 pasal 4.1.2 hal.14)

Untuk berbagai kategori risiko struktur bangunan gedung dan non gedung sesuai Tabel 1 pengaruh gempa rencana terhadapnya harus dikalika dengan suatu faktor keutamaan I_e menurut Tabel 2. Khusus untuk struktur bangunan dengan kategori risiko IV, bila dibutuhkan pintu masuk untuk operasional dari struktur bangunan yang bersebelahan, maka struktur bangunan yang bersebelahan tersebut harus didesain sesuai dengan kategori risiko IV.

Tabel 2.1. Kategori risiko bangunan gedung dan non gedung untuk beban gempa

| Jenis pemanfaatan | Kategori risiko |
|--|-----------------|
| <p>Gedung dan non gedung yang memiliki risiko rendah terhadap jiwa manusia pada saat terjadi kegagalan, termasuk, tapi tidak dibatasi untuk, antara lain:</p> <ul style="list-style-type: none"> - Fasilitas pertanian, perkebunan, perternakan, dan perikanan - Fasilitas sementara - Gudang penyimpanan - Rumah jaga dan struktur kecil lainnya | I |
| <p>Semua gedung dan struktur lain, kecuali yang termasuk dalam kategori risiko I,III,IV, termasuk, tapi tidak dibatasi untuk:</p> <ul style="list-style-type: none"> - Perumahan - Rumah toko dan rumah kantor - Pasar - Gedung perkantoran - Gedung apartemen/ rumah susun - Pusat perbelanjaan/ mall - Bangunan industri - Fasilitas manufaktur - Pabrik | II |
| <p>Gedung dan non gedung yang memiliki risiko tinggi terhadap jiwa manusia pada saat terjadi kegagalan, termasuk, tapi tidak dibatasi untuk:</p> <ul style="list-style-type: none"> - Bioskop - Gedung pertemuan - Stadion - Fasilitas kesehatan yang tidak memiliki unit bedah dan unit gawat darurat - Fasilitas penitipan anak - Penjara - Bangunan untuk orang jompo <p>Gedung dan non gedung, tidak termasuk kedalam kategori risiko IV, yang memiliki potensi untuk menyebabkan dampak ekonomi yang besar dan/atau gangguan massal terhadap kehidupan masyarakat sehari-hari bila terjadi kegagalan, termasuk, tapi tidak dibatasi untuk:</p> <ul style="list-style-type: none"> - Pusat pembangkit listrik biasa - Fasilitas penanganan air - Fasilitas penanganan limbah - Pusat telekomunikasi | III |
| <p>Gedung dan non gedung yang tidak termasuk dalam kategori risiko IV, (termasuk, tetapi tidak dibatasi untuk fasilitas manufaktur, proses, penanganan, penyimpanan, penggunaan atau tempat pembuangan bahan bakar berbahaya, bahan kimia berbahaya, limbah berbahaya, atau bahan yang mudah meledak) yang mengandung bahan beracun atau peledak di mana jumlah kandungan bahannya melebihi nilai batas yang disyaratkan oleh instansi yang berwenang dan cukup menimbulkan bahaya bagi masyarakat jika terjadi kebocoran.</p> | |

| | |
|--|----|
| <p>Gedung dan non gedung yang ditunjukkan sebagai fasilitas yang penting, termasuk, tetapi tidak dibatasi untuk:</p> <ul style="list-style-type: none"> - Bangunan-bangunan monumental - Gedung sekolah dan fasilitas pendidikan - Rumah sakit dan fasilitas kesehatan lainnya yang memiliki fasilitas bedah dan unit gawat darurat - Fasilitas pemadam kebakaran, ambulans, dan kantor polisi, serta garasi kendaraan darurat - Tempat perlindungan terhadap gempa bumi, angin badai, dan tempat perlindungan darurat lainnya - Fasilitas kesiapan darurat, komunikasi, pusat operasi dan fasilitas lainnya untuk tanggap darurat - Pusat pembangkit energi dan fasilitas publik lainnya yang dibutuhkan pada saat keadaan darurat - Struktur tambahan (termasuk menara telekomunikasi, tangki penyimpanan bahan bakar, menara pendingin, struktur stasiun listrik, tangki air pemadam kebakaran atau struktur rumah atau struktur pendukung air atau material atau peralatan pemadam kebakaran) yang disyaratkan untuk beroperasi pada saat keadaan darurat <p>Gedung dan non gedung yang dibutuhkan untuk mempertahankan fungsi struktur bangunan lain yang masuk ke dalam kategori risiko IV.</p> | IV |
|--|----|

Tabel 2.2. Faktor keutamaan gempa

| Kategori risiko | Faktor keutamaan gempa, I_s |
|------------------------|---|
| I atau II | 1,0 |
| III | 1,25 |
| IV | 1,50 |

2.8.2 Prosedur Klasifikasi Situs untuk Desain Seismik (SNI 03-1726-2012

pasal 5.3 hal. 17)

Tipe kelas situs harus ditetapkan sesuai dengan definisi dari tabel 3 dan pasal-pasal berikut.

Tabel 2.3. Klasifikasi situs

| Kelas Situs | \bar{V}_z (m/detik) | \bar{N} atau \bar{N}_{ch} | \bar{s}_u (kPa) |
|---|---|-------------------------------|-------------------|
| SA (batuan keras) | > 1500 | N/A | N/A |
| SB (batuan) | 750 sampai 1500 | N/A | N/A |
| SC (tanah keras, sangat padat dan batuan lunak) | 350 sampai 750 | >50 | ≥ 100 |
| SD (tanah sedang) | 175 sampai 350 | 15 sampai 50 | 50 sampai 100 |
| SE (tanah lunak) | < 175 | <15 | < 50 |
| Atau setiap profil tanah yang mengandung lebih dari 3 m tanah dengan karakteristik sebagai berikut : <ol style="list-style-type: none"> Indeks plastisitas, PI > 20, Kadar air, w \geq 40 %, dan Kuat geser niralir $s_u < 25 kPa$ | | | |
| SF (tanah khusus, yang membutuhkan investigasi geoteknik spesifik dan analisis respons spesifik-situs yang mengikuti Pasal 6.9.1) Keterangan: N/A = tidak dapat dipakai | Setiap profil lapisan tanah yang memiliki salah satu atau lebih dari karakteristik berikut: <ul style="list-style-type: none"> - Rawan dan berpotensi gagal atau runtuh akibat beban gempa seperti mudah likuifaksi, lempung sangat sensitif, tanah tersementasi lemah, - Lempung sangat organik dan/atau gambut (ketebalan H > 3 m), - Lempung berplastisitas sangat tinggi (ketebalan H > 7,5 m dengan Indeks Plastisitas, PI > 75), - Lapisan lempung lunak/medium kaku dengan ketebalan H > 35 m dengan $s_u < 50$ kPa. | | |

2.8.3 Menentukan Koefisien Situs F_a (Koefisien situs untuk perioda pendek, pada perioda 0,2 detik) dan F_v (Koefisien situs untuk perioda pendek, pada perioda 0,1 detik) SNI 03-1726-2012 pasal 6.2 hal. 21

Untuk penentuan respons spektral percepatan gempa MCE_R di permukaan tanah, diperlukan suatu faktor amplifikasi seismik pada perioda 0,2 detik dan perioda 1 detik. Faktor amplifikasi meliputi faktor amplifikasi getaran terkait percepatan pada getaran perioda pendek (F_a) dan faktor amplifikasi terkait percepatan yang mewakili getaran perioda 1 detik (F_v). Parameter spektrum respons percepatan pada perioda pendek (S_{MS}) dan perioda 1 detik (S_{M1}) yang

disesuaikan dengan pengaruh klasifikasi situs, harus ditentukan dengan perumusan berikut ini:

$$S_{MS} = F_a S_s \quad (5)$$

$$S_{M1} = F_v S_1 \quad (6)$$

Keterangan :

S_s = parameter respons spektral percepatan gempa MCE_R terpetakan untuk periode pendek;

S_1 = parameter respons spektral percepatan gempa MCE_R terpetakan untuk periode 1,0 detik.

dan koefisien situs F_a dan F_v mengikuti Tabel 4 dan Tabel 5. Jika digunakan prosedur desain sesuai dengan pasal 8, maka nilai F_a harus ditentukan sesuai 8.8.1 serta nilai F_v , S_{MS} , dan S_{M1} tidak perlu ditentukan.

Tabel 2.4. Koefisien situs, F_a

| Kelas situs | Parameter respons spektral percepatan gempa (MCE_R) terpetakan pada periode pendek, $T=0,2$ detik, S_s | | | | |
|-------------|--|-----------|-----------------|-----------|------------|
| | $S_s 0,25$ | $S_s 0,5$ | $S_s 0,75$ | $S_s 1,0$ | $S_s 1,25$ |
| SA | 0,8 | 0,8 | 0,8 | 0,8 | 0,8 |
| SB | 1,0 | 1,0 | 1,0 | 1,0 | 1,0 |
| SC | 1,2 | 1,2 | 1,1 | 1,0 | 1,0 |
| SD | 1,6 | 1,4 | 1,2 | 1,1 | 1,0 |
| SE | 2,5 | 1,7 | 1,2 | 0,9 | 0,9 |
| SF | | | 55 ^b | | |

CATATAN:

(a) Untuk nilai-nilai antara S_s dapat dilakukan interpolasi linier

(b) SS= Situs yang memerlukan investigasi geoteknik spesifik dan analisis respons situs-spesifik, lihat 6.10.1

Tabel 2.5. Koefisien situs, F_v

| Kelas situs | Parameter respons spektral percepatan gempa MCE terpetakan pada perioda 1 detik, S_1 | | | | |
|-------------|--|-----------|------------------|-----------|-----------|
| | $S_1 0,1$ | $S_1 0,2$ | $S_1 0,3$ | $S_1 0,4$ | $S_1 0,5$ |
| SA | 0,8 | 0,8 | 0,8 | 0,8 | 0,8 |
| SB | 1,0 | 1,0 | 1,0 | 1,0 | 1,0 |
| SC | 1,7 | 1,6 | 1,5 | 1,4 | 1,3 |
| SD | 2,4 | 2 | 1,8 | 1,6 | 1,5 |
| SE | 3,5 | 3,2 | 2,8 | 2,4 | 2,4 |
| SF | | | 3,5 ^b | | |

CATATAN :

- (a) Untuk nilai-nilai antara S_1 dapat dilakukan interpolasi linier
- (b) SS= Situs yang memerlukan investigasi geoteknik spesifik dan analisis respons situs-spesifik, lihat 6.10.1

2.8.4 Parameter Percepatan Spektral Desain (SNI 03-1726-2012 pasal 6.3 hal. 22)

Parameter percepatan spektral desain untuk periode pendek, S_{DS} dan pada periода 1 detik, S_{D1} , harus ditentukan melalui perumusan berikut ini:

$$S_{DS} = 2/3 S_{MS} \quad (7)$$

$$S_{D1} = 2/3 S_{M1} \quad (8)$$

Jika digunakan prosedur desain yang disederhanakan sesuai pasal 8, maka nilai S_{DS} harus ditentukan sesuai 8.8.1 dan nilai S_{D1} tidak perlu ditentukan.

| Nilai S_{DS} | Kategori risiko | |
|----------------------------|--------------------|----|
| | I atau II atau III | IV |
| $S_{DS} < 0,167$ | A | A |
| $0,167 \leq S_{DS} < 0,33$ | B | C |
| $0,33 \leq S_{DS} < 0,50$ | C | D |
| $0,50 \leq S_{DS}$ | D | D |

Tabel 2.6. Kategori desain seismik berdasarkan parameter respons percepatan pada periode pendek

Sumber Tabel 3.5: SNI 1726:2012 Pasal 6.5 Tabel 6

| Nilai S_{D1} | Kategori risiko | |
|-----------------------------|--------------------|----|
| | I atau II atau III | IV |
| $S_{D1} < 0,167$ | A | A |
| $0,067 \leq S_{D1} < 0,133$ | B | C |
| $0,133 \leq S_{D1} < 0,20$ | C | D |
| $0,20 \leq S_{D1}$ | D | D |

Tabel 2.7. Kategori desain seismik berdasarkan parameter respons percepatan pada periode 1 detik

Sumber Tabel 3.6: SNI 1726:2012 Pasal 6.5 Tabel 7

2.8.5 Spektrum Respon Desain

Bila spektrum respons desain diperlukan oleh tata cara ini dan prosedur gerak tanah dari spesifik-situs tidak digunakan, maka kurva spektrum respons desain harus dikembangkan dengan mengacu Gambar 1 dan mengikuti ketentuan di bawah ini :

- 1) Untuk periode yang lebih kecil dari T_0 , spektrum respons percepatan desain, S_a , harus diambil dari persamaan :

$$S_a = S_{DS} \cdot 0,4 \cdot 0,6 \cdot \frac{T}{T_0} \quad (9)$$

- 2) Untuk perioda lebih besar dari atau sama dengan T_0 dan lebih kecil dari atau sama dengan T_S , spektrum respons percepatan desain, S_a , sama dengan S_{DS} ;
- 3) Untuk perioda lebih besar dari T_S , spektrum respons percepatan desain, S_a , diambil berdasarkan persamaan:

$$S_a = \frac{\underline{S}_{D1}}{T} \quad (10)$$

Keterangan:

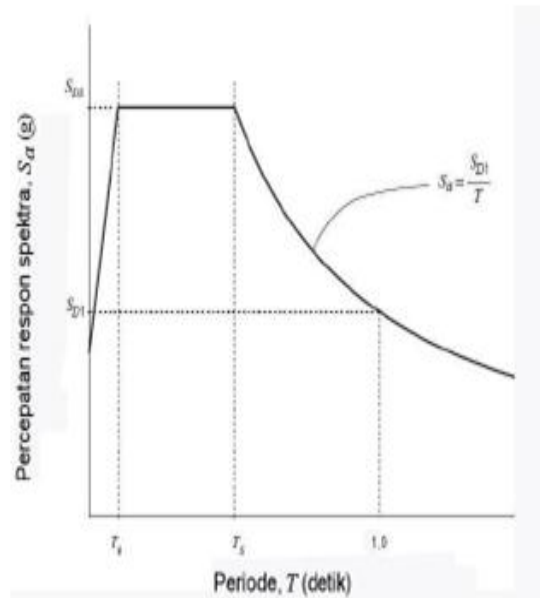
S_{DS} = parameter respons spektral percepatan desain pada perioda pendek;

S_{D1} = parameter respons spektral percepatan desain pada perioda 1 detik;

T = perioda getar fundamental struktur.

$$T_0 = 0,2 \frac{\underline{S}_{D1}}{S_{DS}}$$

$$T_s = \frac{\underline{S}_{D1}}{S_{DS}}$$



Gambar 2.4. Spektrum desain

2.8.6 Periode Fundamental Pendekatan (SNI 03-1726-2012 pasal 7.8.2.1 hal.

55)

Periода fundamental pendekatan (T_a), dalam detik, harus ditentukan dari persamaan berikut :

$$T_a = C_t h_n^x \quad (26)$$

Keterangan:

h_n adalah ketinggian struktur, dalam (m), di atas dasar sampai tingkat tertinggi struktur, dan koefisien C_t dan x ditentukan dari Tabel 15.

Tabel 2.8. Koefisien untuk batas atas pada periode yang dihitung

| Parameter percepatan respons spektral desain pada 1 detik, S_{D1} | Koefisien C_t |
|---|-----------------|
| 0,4 | 1,4 |
| 0,3 | 1,4 |
| 0,2 | 1,5 |
| 0,15 | 1,6 |
| 0,1 | 1,7 |

Tabel 2.9. Nilai parameter perioda pendekatan C_t dan x

| Tipe struktur | C_t | x |
|---|---------------------|------|
| Sistem rangka pemikul momen di mana rangka memikul 100 persen gaya gempa yang disyaratkan dan tidak dilingkupi atau dihubungkan dengan komponen yang lebih kaku dan akan mencegah rangka dari defleksi jika dikenai gaya gempa: | | |
| Rangka baja pemikul momen | 0,0124 ^a | 0,8 |
| Rangka beton pemikul momen | 0,0400 ^a | 0,9 |
| Rangka baja dengan bresing eksentris | 0,0151 ^a | 0,75 |
| Rangka baja dengan bresing terkekang terhadap tekuk | 0,0151 ^a | 0,75 |
| Semua sistem struktur lainnya | 0,0400 ^a | 0,75 |

2.8.7 Kombinasi Sistem Perangkai Dalam Arah yang Berbeda (SNI 03-1726-2012 pasal 7.2.2 hal 34)

Sistem penahan-gaya gempa yang berbeda diijinkan untuk digunakan, untuk menahan gaya gempa di masing-masing arah kedua sumbu ortogonal

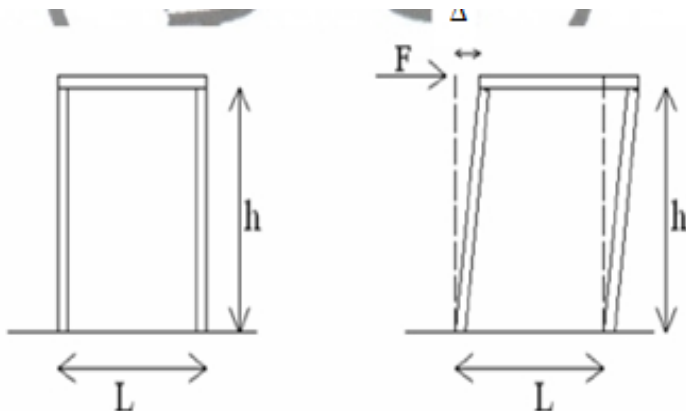
struktur. Bila sistem yang berbeda digunakan, masing-masing nilai R , C_d , dan Ω_0 harus dikenakan pada setiap sistem, termasuk batasan sistem struktur yang termuat dalam Tabel 9.

Tabel 2.10. Faktor R , C_d , dan Ω_0 untuk penahan gaya gempa

| Sistem penahan-gaya seismik | Koefisien modifikasi respons, R^* | Faktor kuat-lebih sistem, C_d^* | Faktor pembesaran defleksi, Ω_0^* | Batasan sistem struktur dan batasan tinggi struktur, h_n (m) | | | | |
|---|--|---|---|--|----|------------------|-----------------|------------------|
| | | | | Kategori desain seismik | | | | |
| | | | | B | C | D ^a | E ^a | F ^a |
| 24. Dinding rangka ringan dengan panel geser dan semua material lainnya | 2% | 2% | 2% | TB | TB | 10 | TB | TB |
| 25. Rangka baja dengan bresing terkekang terhadap tekuk | 8 | 2% | 5 | TB | TB | 48 | 48 | 30 |
| 26. Dinding geser pelat baja khusus | 7 | 2 | 6 | TB | TB | 48 | 48 | 30 |
| C. Sistem rangka pemikul momen | | | | | | | | |
| 1. Rangka baja pemikul momen khusus | 8 | 3 | 5% | TB | TB | TB | TB | TB |
| 2. Rangka batang baja pemikul momen khusus | 7 | 3 | 5% | TB | TB | 48 | 30 | TI |
| 3. Rangka baja pemikul momen menengah | 4% | 3 | 4 | TB | TB | 10 ^{RA} | TI ^b | TI ^c |
| 4. Rangka baja pemikul momen biasa | 3% | 3 | 3 | TB | TB | TI ^b | TI ^b | TI ^c |
| 5. Rangka beton bertulang pemikul momen khusus | 8 | 3 | 5% | TB | TB | TB | TB | TB |
| 6. Rangka beton bertulang pemikul momen menengah | 5 | 3 | 4% | TB | TB | TI | TI | TI |
| 7. Rangka beton bertulang pemikul momen biasa | 3 | 3 | 2% | TB | TI | TI | TI | TI |
| 8. Rangka baja dan beton komposit pemikul momen khusus | 8 | 3 | 5% | TB | TB | TB | TB | TB |
| 9. Rangka baja dan beton komposit pemikul momen menengah | 5 | 3 | 4% | TB | TB | TI | TI | TI |
| 10. Rangka baja dan beton komposit terkekang parzial pemikul momen | 6 | 3 | 5% | 48 | 48 | 30 | TI | TI |
| 11. Rangka baja dan beton komposit pemikul momen biasa | 3 | 3 | 2% | TB | TI | TI | TI | TI |
| 12. Rangka baja canai dingin pemikul momen khusus dengan pembautan | 3% | 3° | 3% | 10 | 10 | 10 | 10 | 10 |
| D. Sistem ganda dengan rangka pemikul momen khusus yang mampu menahan paling sedikit 25 persen gaya gempa yang ditetapkan | | | | | | | | |
| 1. Rangka baja dengan bresing eksentris | 8 | 2% | 4 | TB | TB | TB | TB | TB |
| 2. Rangka baja dengan bresing konsentris khusus | 7 | 2% | 5% | TB | TB | TB | TB | TB |
| 3. Dinding geser beton bertulang khusus | 7 | 2% | 5% | TB | TB | TB | TB | TB |
| 4. Dinding geser beton bertulang biasa | 6 | 2% | 5 | TB | TB | TI | TI | TI |
| 5. Rangka baja dan beton komposit dengan bresing eksentris | 8 | 2% | 4 | TB | TB | TB | TB | TB |
| 6. Rangka baja dan beton komposit dengan bresing konsentris khusus | 6 | 2% | 5 | TB | TB | TB | TB | TB |
| 7. Dinding geser pelat baja dan beton komposit | 7% | 2% | 6 | TB | TB | TB | TB | TB |
| 8. Dinding geser baja dan beton komposit khusus | 7 | 2% | 6 | TB | TB | TB | TB | TB |
| 9. Dinding geser baja dan beton komposit biasa | 6 | 2% | 5 | TB | TB | TI | TI | TI |
| 10. Dinding geser batu bata bertulang khusus | 5% | 3 | 5 | TB | TB | TB | TB | TB |
| 11. Dinding geser batu bata bertulang menengah | 4 | 3 | 3% | TB | TB | TI | TI | TI |
| 12. Rangka baja dengan bresing terkekang terhadap tekuk | 8 | 2% | 5 | TB | TB | TB | TB | TB |
| 13. Dinding geser pelat baja khusus | 8 | 2% | 6% | TB | TB | TB | TB | TB |
| E. Sistem ganda dengan rangka pemikul momen menengah mampu menahan paling sedikit 25 persen gaya gempa yang ditetapkan | | | | | | | | |
| 1. Rangka baja dengan bresing konsentris khusus | 6 | 2% | 5 | TB | TB | 10 | TI | TI ^{RA} |
| 2. Dinding geser beton bertulang khusus | 6% | 2% | 5 | TB | TB | 48 | 30 | 30 |

2.8.8 Defleksi Lateral

Dengan adanya beberapa macam fungsi batang dalam suatu portal tersebut akan dilakukan suatu analisa lebih lanjut mengenai gaya-gaya serta besaran-besaran yang terjadi dalam tiap-tiap elemen dari portal tersebut. Besarnya simpangan horisontal (*Drift*) harus dipertimbangkan sesuai dengan peraturan yang berlaku, yaitu untuk kinerja batas layan struktur dan kinerja batas ultimit. Simpangan struktur dapat dinyatakan dalam bentuk *Drift Indeks* (Cormac, 1981). Seperti yang digambarkan pada Gambar 2.4, Δ merupakan defleksi lateral dari suatu struktur portal.



Gambar 2.11. Defleksi Lateral

Drift Indeks dihitung dengan menggunakan persamaan 2.1 :

$$\text{Drift Indeks} = \frac{\Delta}{h}$$

Dimana :

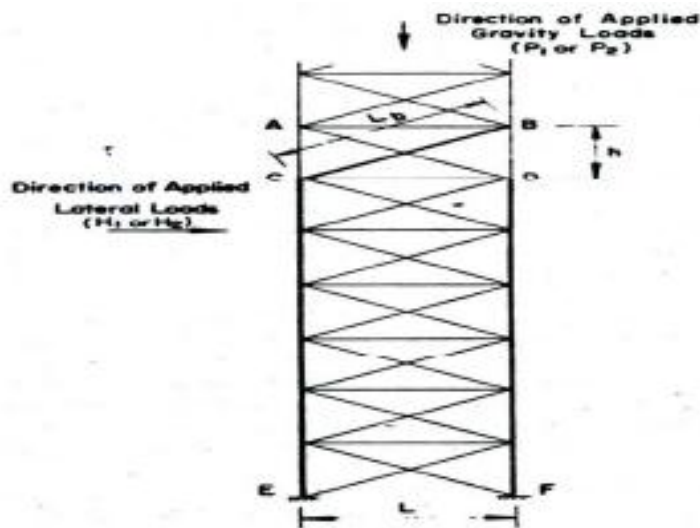
Δ = besar defleksi maksimum yang terjadi (m)

H = ketinggi struktur portal (m)

Perubahan simpangan horizontal (*Drift*) dapat disebabkan karena kemampuan struktur bangunan menahan gaya gempa yang terjadi. Apabila

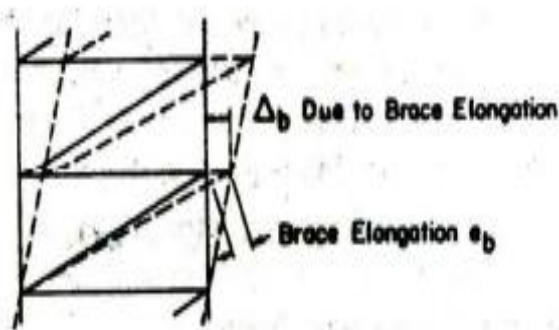
struktur memiliki kekakuan yang besar untuk melawan gaya-gaya gempa maka struktur akan mengalami simpangan horizontal yang lebih kecil dibandingkan dengan struktur yang tidak memiliki kekakuan yang cukup besar. Gempa bumi terjadi karena adanya kerusakan kerak bumi yang terjadi secara tiba-tiba yang umumnya diikuti dengan terjadinya sesar/patahan (*fault*). Timbulnya patahan atau sesar tersebut karena adanya gerakan pelat-pelat tektonik/lapis kerak bumi yang saling bertabrakan, bergeser atau saling menyusup satu dengan yang lain (Widodod, 2000).

Besarnya *drift indeks* tergantung pada besarnya beban-beban yang dikenakan pada struktur misalnya beban mati, beban hidup, beban angin, beban gempa. Dengan ketinggian struktur yang sama, semakin besar defleksi maksimum yang terjadi semakin besar pula *drift indeks*. Besarnya *drift indeks* berkisar antara 0,01 sampai dengan 0,0016. Kebanyakan, besar nilai *drift indeks* yang digunakan antara 0,0025 sampai 0,002 (AISC,2005).

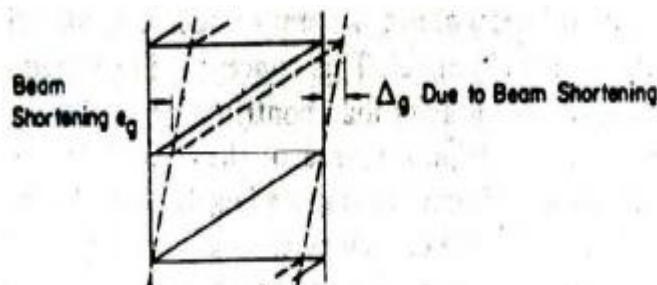


Gambar 2.12. Batang bresing vertikal yang mengalami defleksi lateral

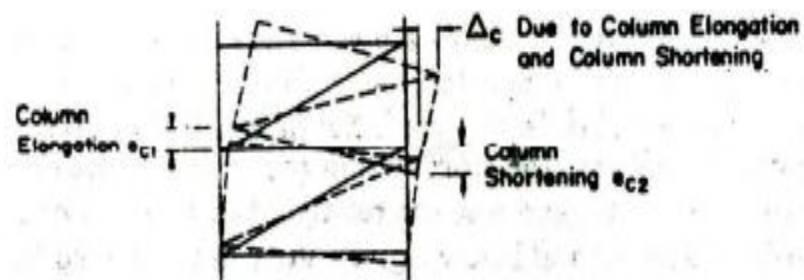
Defleksi lateral dari titik B relative terhadap titik D yang ditentukan dengan pemanjangan atau pemendekan yang hal ini dapat dilihat dengan garis tebal pada gambar tersebut.



(a) Defleksi lateral pada rangka akibat pemanjangan bresing



(b) Defleksi lateral pada rangka akibat pemendekan balok



(c) Defleksi lateral pada rangka akibat pemanjangan dan pemendekan kolom

Gambar 2.13. Faktor – faktor yang mendukung terjadinya defleksi lateral pada sistem bresing vertikal

2.8.9 Pengaruh P - Δ (SNI 03-1726-2012 hal.62)

Pengaruh P -delta pada geser dan momen tingkat, gaya dan momen elemen struktur yang dihasilkan, dan simpangan antar lantai tingkat yang timbul oleh pengaruh ini tidak disyaratkan untuk diperhitungkan bila koefisien stabilitas (θ) seperti ditentukan oleh persamaan berikut sama dengan atau kurang dari 0,10:

$$\theta = \frac{P_x \Delta l_e}{V_x h_{sx} C_d} \quad (35)$$

Keterangan :

P_x = beban desain vertikal total pada dan di atas tingkat x , dinyatakan dalam kilo newton (kN); bila menghitung P_x , faktor beban individu tidak perlu melebihi 1,0;

Δ = simpangan antar lantai tingkat desain seperti didefinisikan dalam 7.8.6, terjadi secara serentak dengan V_x , dinyatakan dalam milimeter (mm).

I_e = faktor keutamaan gempa yang ditentukan sesuai dengan 4.1.2.

h_{sx} = tinggi tingkat di bawah tingkat x , dinyatakan dalam milimeter (mm);

C_d = faktor pembesaran defleksi dalam Tabel 9.

Koefisien stabilitas (θ) harus tidak melebihi θ_{max} yang ditentukan sebagai berikut:

$$\theta_{max} = \frac{0,5}{\beta C_d} \leq 0,25 \quad (36)$$

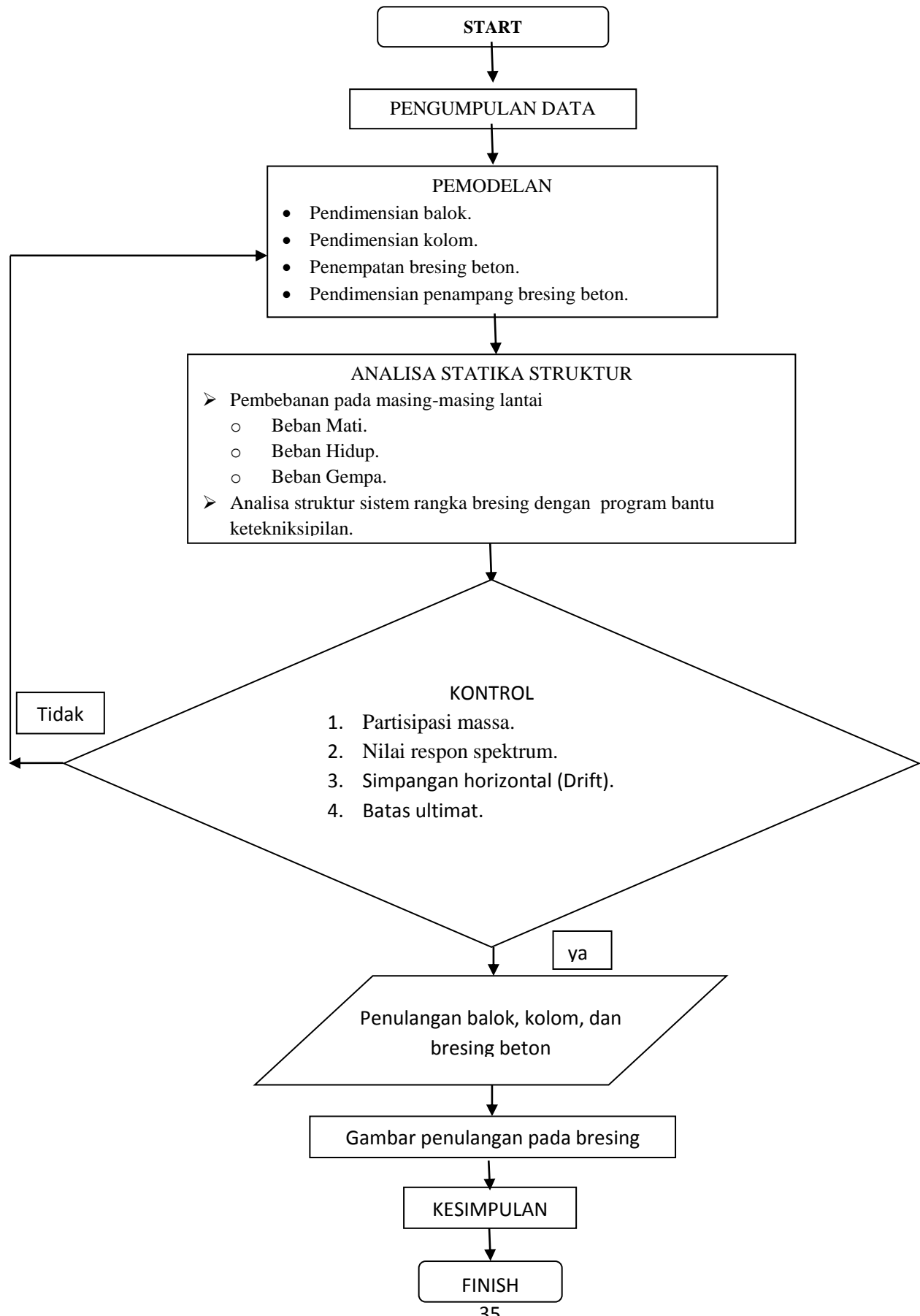
Dimana β adalah rasio kebutuhan geser terhadap kapasitas geser untuk tingkat antara x dan $x-1$. Rasio ini diijinkan secara konservatif diambil sebesar 1,0. Jika koefisien stabilitas (θ) lebih besar dari 0,10 tetapi kurang dari atau sama dengan θ_{max} , faktor peningkatan terkait dengan pengaruh P -delta pada perpindahan dan gaya komponen struktur harus ditentukan dengan analisis

rasional. Sebagai alternatif, diijinkan untuk mengalikan perpindahan dan gaya komponen struktur dengan $1,0/(1-\theta)$.

Jika θ lebih besar dari θ_{max} struktur berpotensi tidak stabil dan harus didesain ulang.

Jika pengaruh P-delta disertakan dalam analisis otomatis, Persamaan 36 masih harus dipenuhi, akan tetapi, nilai θ yang dihitung dari Persamaan 35 menggunakan hasil analisis P-delta diijinkan dibagi dengan $(1 + \theta)$ sebelum diperiksa dengan Persamaan 36.

3.4 Diagram Alir



BAB III

METODOLOGI PERENCANAAN

3.1 Data Perencanaan

3.1.1 Data Bangunan

- Nama Gedung : Hotel Aria Centra Surabaya
- Lokasi Bangunan : Jl. Taman A.I.S Nasution No. 37 Surabaya
- Fungsi : Hotel
- Jumlah Lantai : 16 Lantai + Atap
- Bentang Memanjang : 17,5 meter
- Bentang Melintang : 48 meter
- Tinggi Gedung : 58 meter
- Tinggi tiap Lantai Bangunan
 - Lantai 1 : 5,5 meter
 - Lantai 3 sampai 16 : 3,5 meter
- Struktur Bangunan : Beton Bertulang
- Struktur Pondasi : Pondasi Tiang Pancang

3.2 Data Pembebanan

5.1.1 Data Beban Mati

Sesuai dengan peraturan pedoman perencanaan pembebanan untuk rumah dan gedung (PPURG 1987) maka beban mati diatur sebagai berikut :

- Berat spesi dari semen per cm tebal = 21 kg/m^2
- Berat keramik per cm tebal = 24 kg/m^2

- Berat gypsum + rangka penggantung = $(6,25+7) = 13,25 \text{ kg/m}^2$
- Berat dinding pasangan $\frac{1}{2}$ batu merah = 250 kg/m^2
- Berat mekanikal elektikal = 35 kg/m^2
- Berat jenis beton = 2400 kg/m^3

5.1.2 Data Beban Hidup

Sesuai dengan peraturan pembebanan Beban minimum untuk perancangan bangunan gedung dan struktur lain (SNI 1727:2013), maka beban hidup diatur sebagai berikut :

- Beban atap = 100 kg/m^2
- Beban hidup hotel lantai 1 – 15 = 250 kg/m^2

5.1.3 Mutu Bahan yang Digunakan

Dalam perencanaan hotel ini mutu bahan yang digunakan adalah sebagai berikut :

- Mutu baja ulir (f_y) = 390 Mpa
- Mutu baja polos (f_y) = 240 Mpa
- Mutu beton (f_c) = 35 Mpa
- Modulus elastisitas beton = $4700 \times \sqrt{f_c}$
 $= 4700 \times \sqrt{35}$
 $= 27805,57498 \text{ Mpa}$
 $= 2,780557498 \times 10^9 \text{ kg/m}^2$

3.3 Perencanaan Dimensi Balok, Kolom dan Bresing

3.3.1 Dimensi Balok

Menurut SNI 2847-2013 pasal 21.5.1.3 bahwa lebar balok (b) tidak boleh kurang dari 250 mm dan perbandingan lebar (b) terhadap dari 250 mm dan perbandingan lebar (b) terhadap tinggi (h) tidak boleh kurang dari 0,3.

- Untuk panjang balok induk = 9,5 m = 950 cm

$$h = \frac{1}{15} L \approx \frac{1}{10} L = \frac{1}{15} 950 \approx \frac{1}{10} 950 \\ = 63,33 \text{ cm s/d } 95 \text{ cm} \approx 75 \text{ cm}$$

Dari hasil rumus pendekatan antara 63,33 cm sampai dengan 95 cm, diambil h = 75 cm.

$$b = \frac{1}{2} h \approx \frac{2}{3} h = \frac{1}{2} 75 \approx \frac{2}{3} 75 \\ = 37,5 \text{ cm s/d } 50 \text{ cm} \approx 50 \text{ cm}$$

Dari hasil rumus pendekatan antara 37,5 cm sampai dengan 50 cm, diambil b = 50 cm.

Dipakai balok induk berukuran 50/75.

$$\frac{b}{h} = \frac{50}{75} = 0,7 > 0,3 \quad (\text{OK})$$

- Untuk panjang balok anak = 5,00 m = 500 cm

$$h = \frac{1}{15} L \approx \frac{1}{12} L = \frac{1}{15} 500 \approx \frac{1}{12} 500 \\ = 33,33 \text{ cm s/d } 41,66 \text{ cm} \approx 40 \text{ cm}$$

Dari hasil rumus pendekatan antara 33,33 cm sampai dengan 41,66 cm, diambil h = 40 cm.

$$b = \frac{1}{2} h \approx \frac{2}{3} h = \frac{1}{2} 40 \approx \frac{2}{3} 40$$

$$= 20 \text{ cm s/d } 26,66 \text{ cm} \approx 20 \text{ cm}$$

Dari hasil rumus pendekatan antara 20 cm sampai dengan 26,67 cm, diambil b = 50 cm.

Dipakai balok anak berukuran 20/40.

$$\frac{b}{h} = \frac{20}{40} = 0,50 > 0,3 \quad (\text{OK})$$

Dari perhitungan diatas, di dapatkan beberapa jenis dimensi balok sebagai berikut :

(a) B1 = 50/75

(b) B2 = 20/40

3.3.2 Dimensi Kolom

Menurut SNI 2847-2013 pasal 21.6.1.1 dan 26.6.1.2 bahwa ukuran penampang terkecil tidak boleh kurang dari 300 mm dan perbandingan antara ukuran terkecil penampang terhadap ukuran dalam arah tegak lurusnya tidak boleh kurang dari 0,4.

Dipakai kolom berukuran 80/80 (K1)

$$80 / 80 = 1 > 0,4 \quad (\text{OK})$$

3.3.3 Dimensi Plat

Untuk Lantai 2 - 15 digunakan tebal plat 12 cm, sedangkan untuk lantai atap digunakan tebal plat 10 cm.

3.3.4 Dimensi Bresing

Untuk dimensi bresing yang direncanakan, dipakai bresing dengan ukuran 20/20.

BAB IV

ANALISA STRUKTUR

4.1 Perhitungan Pembebanan

4.4.1 Beban Mati (*Dead Load*)

- **Beban Mati Bangunan**

- Perhitungan Pembebanan Pada Lantai 2 - 15

Dalam perhitungan struktur ini dengan menggunakan metode plat meshing, sehingga bSerat sendiri plat, balok dan kolom tidak dihitung.

Karena sudah diperhitungkan pada *selfweight* (Program bantu komputer: *STAAD PRO*).

- Beban mati tambahan

Beban mati pada plat :

Diketahui :

- Tebal adukan = 2 cm
- Berat volume adukan = $21 \text{ kg/m}^2/\text{cm}$ tebal
- Tebal keramik = 1 cm
- Berat volume keramik = $24 \text{ kg/m}^2/\text{cm}$ tebal
- Berat pas. Keramik = $(\text{Tebal adukan} \times \text{Berat volume adukan}) + (\text{Tebal keramik} \times \text{Berat volume keramik})$ $= 2 \times 21 + 1 \times 24$ $= 66,00 \text{ kg/m}^2$

Diketahui :

$$\begin{aligned}\text{Berat gypsum (9mm)} &= 6,25 \text{ kg/m}^2 \\ \text{Berat rangka penggantung} &= 7 \text{ kg/m}^2 \\ \text{Berat gypsum + penggantung} &= \text{Berat gypsum} + \text{Berat rangka} \\ &= 6,25 + 7 \\ &= 13,25 \text{ kg/m}^2\end{aligned}$$

- Beban pada Plat Lantai 2 - 15

$$\begin{aligned}\text{Berat pas. Keramik} &= 66,00 \text{ kg/m}^2 \\ \text{Berat ME} &= 35,00 \text{ kg/m}^2 \\ \text{Berat gypsum + penggantun} &= \underline{\underline{13,25 \text{ kg/m}^2}} + \\ \text{Berat lantai / m}^2 (\text{qd}) &= 114,25 \text{ kg/m}^2\end{aligned}$$

Beban mati pada balok :

Berat dinding/m

Diketahui :

- Dinding pasangan 1/2 bata merah = 250 kg/m^2

Balok melintang

$$\begin{aligned}\text{Berat dinding /m} &= 2,75 \times 0,15 \times 1 \times 250 \\ &= 103,125 \text{ kg/m}\end{aligned}$$

- Berat dinding penuh dengan bentang 17,5 m di tepi bangunan

$$= \text{Berat dinding/m} \times L (\text{bentang melintang}) - (b_{\text{kolom}} \times \text{jumlah kolom}) - (b_{\text{resing}} \times \text{jumlah resing})$$

$$= 103,125 \times 17,5 - (0,8 \times 3) - (0,2 \times 4)$$

$$= 1799,3 \text{ kg/m}$$
- Berat dinding penuh dengan bentang 8 m di tengah bangunan

$$= \text{Berat dinding/m} \times L (\text{bentang melintang}) - (b_{\text{kolom}} \times \text{jumlah kolom})$$

$$= 103,125 \times 8 - (0,8 \times 2)$$

$$= 822,4 \text{ kg/m}$$
- Berat dinding penuh dengan bentang 7,5 m di tengah bangunan

$$= \text{Berat dinding/m} \times L (\text{bentang melintang}) - (b_{\text{kolom}} \times \text{jumlah kolom})$$

$$= 250 \times 7,5 - (0,8 + 0,15)$$

$$= 771,55 \text{ kg/m}$$

Balok memanjang

$$\begin{aligned} \text{Berat dinding /m} &= 2,75 \times 0,15 \times 1 \times 250 \\ &= 103,125 \text{ kg/m} \end{aligned}$$

- Berat dinding ada pelubangan dengan bentang 48 m di tepi bangunan

$$= \text{Berat dinding/m} \times L (\text{bentang melintang}) - (b_{\text{kolom}} \times \text{jumlah kolom})$$

$$= 103,125 \times 48 - (0,8 \times 7) \times 60\%$$

$$= 4940,64 \text{ kg/m}$$

- Berat dinding ada pelubangan dengan bentang 48 m di tengah bangunan

= Berat dinding/m x L (bentang melintang) - (bkolom x jumlah kolom)

$$= 103,125 \times 48 - (0,8 \times 7) \times 10\%$$

$$= 4943,44 \text{ kg/m}$$

- Perhitungan Pembebanan pada Lantai Atap

Dalam perhitungan struktur ini dengan menggunakan metode plat meshing, sehingga berat sendiri plat, balok dan kolom tidak dihitung. Karena sudah diperhitungkan pada selfweight (Program bantu komputer: STAAD PRO).

- Beban mati tambahan

Beban mati pada plat :

Diketahui :

$$\text{Tebal adukan} = 2 \text{ cm}$$

$$\text{Berat volume adukan} = 21 \text{ kg/m}^2/\text{cm tebal}$$

$$\text{Berat Plesteran} = (\text{Tebal adukan} \times \text{Berat volume adukan})$$

$$= 2 \times 21$$

$$= 42,00 \text{ kg/m}^2$$

Diketahui :

$$\text{Berat gypsum (9mm)} = 6,25 \text{ kg/m}^2$$

$$\text{Berat rangka penggantung} = 7 \text{ kg/m}^2$$

$$\text{Berat gypsum + penggantung} = \text{Berat gypsum} + \text{Berat rangka}$$

$$= 6,25 + 7$$

$$= 13,25 \text{ kg/m}^2$$

- Beban pada Plat Lantai Atap

$$\text{Berat ME} = 35 \text{ kg/m}^2$$

$$\text{Berat gypsum + penggantung} = 13,25 \text{ kg/m}^2 +$$

$$\text{Berat lantai atap / m}^2 (\text{qd}) \quad \underline{\underline{= 48,25 \text{ kg/m}^2}}$$

4.4.2 Beban Hidup (*Live Load*)

- Beban Hidup Bangunan pada Lantai 2 - 15

$$\text{Beban hidup untuk lantai 2 - 15} = 250 \text{ kg/m}^2$$

- Beban Hidup Bangunan pada Atap

$$\text{Beban hidup untuk lantai Atap} = 100 \text{ kg/m}^2$$

$$\text{Berat jenis air} = 1000 \text{ kg/m}^3$$

4.4.3 Perhitungan Berat Sendiri Bangunan dan Beban Gempa

• Beban Atap

Diketahui :

- Tebal Plat Lantai = 0,10 m
- Luas Bangunan = 1008,00 m²
- Panjang (x) = 48,00 m
- Lebar (y) = 17,50 m
- Dimensi Balok Induk Arah x = b = 0,50 m h = 0,75 m
- Dimensi Balok Anak Arah x = b = 0,20 m h = 0,40 m
- Dimensi Balok Induk Arah y = b = 0,50 m h = 0,75 m
- Dimensi Balok Anak Arah y = b = 0,20 m h = 0,40 m
- Dimensi Bresing = b = 0,20 m h = 0,20 m
- Dimensi Kolom = Lebar = 0,80 m Tinggi = 0,80 m
- Tinggi Lantai = 3,50 m
- Tinggi Kolom = 1,75 m
- Dinding Arah x = Lebar = 0,15 m Tinggi = 1,75 m
- Dinding Arah y = Lebar = 0,15 m Tinggi = 1,75 m
- Berat Jenis Beton = 2400,00 Kg/m³
- Berat Plesteran = 42,00 Kg/m²
- Berat Gypsum (9 mm) = 6,25 Kg/m²
- Berat Penggantung = 7,00 Kg/m²
- Berat ME = 35,00 Kg/m²
- Berat Pas. Dinding 1/2 bata = 25,00 Kg/m²
- Beban Hidup Atap = 100,00 Kg/m²
- Berat Jenis Air = 1000,00 Kg/m³
- Tinggi genangan Air = 0,05 m
- Koefisien Reduksi = 0,50

• Beban Mati

| Keterangan | Tebal | Lebar | Panjang | Bj | Jmlh | Beban Mati |
|-------------------------------------|-------|-------|---------|---------|------|---------------|
| Berat Plat Lantai ROOF = | 0,10 | 8,00 | 8,00 | 2400,00 | 2 | = 30810,3 Kg |
| Berat Balok Induk Arah x = | 0,50 | 0,75 | 8,00 | 2400,00 | 4 | = 28800,0 Kg |
| Berat Balok Anak Arah x = | 0,20 | 0,40 | 8,00 | 2400,00 | 2 | = 3072,0 Kg |
| Berat Balok Induk Arah y = | 0,50 | 0,75 | 8,00 | 2400,00 | 4 | = 28800,0 Kg |
| Berat Balok Anak Arah y = | 0,20 | 0,40 | 8,00 | 2400,00 | 2 | = 3072,0 Kg |
| Berat Bresing = | 0,20 | 0,20 | 8,18 | 2400,00 | 2 | = 1570,6 Kg |
| Berat Kolom 80/80 = | 0,80 | 0,80 | 1,75 | 2400,00 | 8 | = 21504,0 Kg |
| Berat Dinding Arah X1 = | 0,15 | 1,75 | 8,00 | 250,00 | 2 | = 1050,0 Kg |
| Berat Dinding Arah YA = | 0,15 | 1,75 | 8,00 | 250,00 | 2 | = 1050,0 Kg |
| Jumlah Total Beban Mati Atap | | | | | | = 119728,8 Kg |

• Beban Hidup

| Keterangan | Tebal | Lebar | Panjang | Bj | Koef. | Beban Mati |
|---|-------|-------|---------|---------|-------|--------------|
| Beban Hidup Atap 1 = | | 8,00 | 8,00 | 100,00 | 0,50 | = 3200,0 Kg |
| Beban Hidup Atap 2 = | | 8,00 | 8,00 | 100,00 | 0,50 | = 3200,0 Kg |
| Beban Air Hujan = | 0,05 | 8,00 | 8,00 | 1000,00 | | = 6400,0 Kg |
| Jumlah Total Beban Mati Hidup Atap | | | | | | = 9600,00 Kg |

Tabel 4.1. Perhitungan berat sendiri bangunan dan beban gempa

pada atap

- **Total Beban yang terjadi pada Atap**

$$\begin{aligned}
 \text{Total Beban } \sum W &= \text{Beban Mati} + \text{Beban Hidup} \\
 &= 119728,81 + 9600,00 \\
 &= \mathbf{129328,810 \text{ Kg}}
 \end{aligned}$$

- **Beban Lantai 15**

Diketahui :

- Tebal Plat Lantai = 0,12 m
- Luas Bangunan = 1008 m²
- Panjang (x) = 48,00 m
- Lebar (y) = 17,50 m
- Dimensi Balok Induk Arah x = b = 0,50 m h = 0,75 m
- Dimensi Balok Anak Arah x = b = 0,20 m h = 0,40 m
- Dimensi Balok Induk Arah y = b = 0,50 m h = 0,75 m
- Dimensi Balok Anak Arah y = b = 0,20 m h = 0,40 m
- Dimensi Bresing = b = 0,20 m h = 0,20 m
- Dimensi Kolom = Lebar = 0,80 m Tinggi = 0,80 m
- Tinggi Lantai = 3,50 m
- Tinggi Kolom = 3,50 m
- Dinding Arah x = Lebar = 0,15 m Tinggi = 1,75 m
- Dinding Arah y = Lebar = 0,15 m Tinggi = 1,75 m
- Berat Jenis Beton = 2400,00 Kg/m³
- Berat Pas. Keramik = 66,00 Kg/m²
- Berat Gypsum (9 mm) = 6,25 Kg/m²
- Berat Penggantung = 7,00 Kg/m²
- Berat ME = 35,00 Kg/m²
- Berat Pas. Dinding 1/2 bata = 25,00 Kg/m²
- Beban Hidup Atap = 100,00 Kg/m²
- Berat Jenis Air = 1000,00 Kg/m³
- Berat R. Mesin = 400,00 Kg/m³
- Tinggi genangan Air = 0,05 m
- Koefisien Reduksi = 0,50

- **Beban Mati**

| Keterangan | Tebal | Lebar | Panjang | Bj | Jmlh | Beban Mati |
|--|-------|-------|---------|---------|------|---------------|
| Berat Plat Lantai = | 0,12 | 17,50 | 48,00 | 2400,00 | 1 | = 242010,3 Kg |
| Berat Balok Induk Arah x = | 0,50 | 0,75 | 48,00 | 2400,00 | 3 | = 129600,0 Kg |
| Berat Balok Anak Arah x = | 0,20 | 0,40 | 48,00 | 2400,00 | 2 | = 18432,0 Kg |
| Berat Balok Induk Arah y = | 0,50 | 0,75 | 17,50 | 2400,00 | 7 | = 110250,0 Kg |
| Berat Balok Anak Arah y = | 0,20 | 0,40 | 17,50 | 2400,00 | 6 | = 20160,0 Kg |
| Berat Bresing = | 0,20 | 0,20 | 8,18 | 2400,00 | 8 | = 6282,2 Kg |
| Berat Kolom 80/80 = | 0,80 | 0,80 | 3,50 | 2400,00 | 21 | = 112896,0 Kg |
| Berat Din. Arah X1 dan X3 = | 0,15 | 3,50 | 48,00 | 250,00 | 2 | = 7560,0 Kg |
| Berat Dinding Arah X2 = | 0,15 | 3,50 | 48,00 | 250,00 | 1 | = 6300,0 Kg |
| Berat Dinding Arah YA = | 0,15 | 3,50 | 17,50 | 250,00 | 7 | = 16078,1 Kg |
| Jumlah Total Beban Mati Lantai 15 | | | | | | = 669568,6 Kg |

Tabel 4.2. Perhitungan berat sendiri bangunan dan beban gempa

pada lantai 15

● **Beban Hidup**

| Keterangan | Tebal | Lebar | Panjang | Bj | Koef. | Beban Mati |
|--|-------|-------|---------|-------|---------|-------------------|
| Beban Hidup Lantai | = | | 17,50 | 48,00 | 100,00 | 0,50 = 42000,0 Kg |
| Beban Air Hujan | = | 0,05 | 17,50 | 48,00 | 1000,00 | = 84000,0 Kg |
| Jumlah Total Beban Mati Hidup Lantai 15 | | | | | | = 42000,0 Kg |

● **Total Beban yang terjadi pada lantai 15**

$$\begin{aligned} \text{Total Beban } \sum W &= \text{Beban Mati} + \text{Beban Hidup} \\ &= 669568,62 + 42000,00 \\ &= \mathbf{711568,615 \text{ Kg}} \end{aligned}$$

● **Beban Lantai 3 - 14**

Diketahui :

- Tebal Plat Lantai = 0,12 m
- Luas Bangunan = 1008,00 m²
 - Panjang (x) = 48,00 m
 - Lebar (y) = 17,50 m
- Dimensi Balok Induk Arah x = b = 0,50 m h = 0,75 m
- Dimensi Balok Anak Arah x = b = 0,20 m h = 0,40 m
- Dimensi Balok Induk Arah y = b = 0,50 m h = 0,75 m
- Dimensi Balok Anak Arah y = b = 0,20 m h = 0,40 m
- Dimensi Bresing = b = 0,20 m h = 0,20 m
- Dimensi Kolom = Lebar = 0,80 m Tinggi = 0,80 m
- Tinggi Lantai = 3,50 m
- Tinggi Kolom = 3,50 m
- Dinding Arah x = Lebar = 0,15 m Tinggi = 1,75 m
- Dinding Arah y = Lebar = 0,15 m Tinggi = 1,75 m
- Berat Jenis Beton = 2400,00 Kg/m³
- Berat Pas. Keramik = 66,00 Kg/m²
- Berat Gypsum (9 mm) = 6,25 Kg/m²
- Berat Penggantung = 7,00 Kg/m²
- Berat ME = 35,00 Kg/m²
- Berat Pas. Dinding 1/2 bata = 25,00 Kg/m²
- Beban Hidup Atap = 250,00 Kg/m²
- Koefisien Reduksi = 0,50

● **Beban Mati**

| Keterangan | Tebal | Lebar | Panjang | Bj | Jmlh | Beban Mati |
|--|--------|-------|---------|---------|------|---------------|
| Berat Plat Lantai | = 0,12 | 17,50 | 48,00 | 2400,00 | 1 | = 242010,3 Kg |
| Berat Balok Induk Arah x | = 0,50 | 0,75 | 48,00 | 2400,00 | 3 | = 129600,0 Kg |
| Berat Balok Anak Arah x | = 0,20 | 0,40 | 48,00 | 2400,00 | 2 | = 18432,0 Kg |
| Berat Balok Induk Arah y | = 0,50 | 0,75 | 17,50 | 2400,00 | 7 | = 110250,0 Kg |
| Berat Balok Anak Arah y | = 0,20 | 0,40 | 17,50 | 2400,00 | 6 | = 20160,0 Kg |
| Berat Bresing | = 0,20 | 0,20 | 8,18 | 2400,00 | 8 | = 6282,2 Kg |
| Berat Kolom 80/80 | = 0,80 | 0,80 | 3,50 | 2400,00 | 21 | = 112896,0 Kg |
| Berat Din. Arah X1 dan X3 | = 0,15 | 3,50 | 48,00 | 250,00 | 2 | = 7560,0 Kg |
| Berat Dinding Arah X2 | = 0,15 | 3,50 | 48,00 | 250,00 | 1 | = 6300,0 Kg |
| Berat Dinding Arah YA | = 0,15 | 3,50 | 17,50 | 250,00 | 7 | = 16078,1 Kg |
| Jumlah Total Beban Mati Lantai 3 - 14 | | | | | | = 669568,6 Kg |

Tabel 4.3. Perhitungan berat sendiri bangunan dan beban gempa

pada lantai 3 - 15

• **Beban Hidup**

| Keterangan | Tebal | Lebar | Panjang | Bj | Koef. | Beban Mati |
|--|-------|-------|---------|-------|--------|--------------------|
| Beban Hidup Lantai | = | | 17,50 | 48,00 | 250,00 | 0,50 = 105000,0 Kg |
| Jumlah Total Beban Mati Hidup Lantai 3 - 14 | | | | | | = 105000,0 Kg |

• **Total Beban yang terjadi pada lantai 3 - 14**

$$\begin{aligned} \text{Total Beban } \sum W &= \text{Beban Mati} + \text{Beban Hidup} \\ &= 669568,62 + 105000,00 \\ &= \mathbf{774568,615 \text{ Kg}} \end{aligned}$$

• **Beban Lantai 2**

Diketahui :

- Tebal Plat Lantai = 0,12 m
- Luas Bangunan = 1008,00 m²
 - Panjang (x) = 48,00 m
 - Lebar (y) = 17,50 m
- Dimensi Balok Induk Arah x = b = 0,50 m h = 0,75 m
- Dimensi Balok Anak Arah x = b = 0,20 m h = 0,40 m
- Dimensi Balok Induk Arah y = b = 0,50 m h = 0,75 m
- Dimensi Balok Anak Arah y = b = 0,20 m h = 0,40 m
- Dimensi Bresing = b = 0,20 m h = 0,20 m
- Dimensi Kolom = Lebar = 0,80 m Tinggi = 0,80 m
- Tinggi Lantai = 3,50 m
- Tinggi Kolom = 7,25 m
- Dinding Arah x = Lebar = 0,15 m Tinggi = 1,75 m
- Dinding Arah y = Lebar = 0,15 m Tinggi = 1,75 m
- Berat Jenis Beton = 2400,00 Kg/m³
- Berat Pas. Keramik = 66,00 Kg/m²
- Berat Gypsum (9 mm) = 6,25 Kg/m²
- Berat Penggantung = 7,00 Kg/m²
- Berat ME = 35,00 Kg/m²
- Berat Pas. Dinding 1/2 bata = 25,00 Kg/m²
- Beban Hidup Atap = 250,00 Kg/m²
- Koefisien Reduksi = 0,50

• **Beban Mati**

| Keterangan | Tebal | Lebar | Panjang | Bj | Jmlh | Beban Mati |
|---|--------|-------|---------|---------|------|---------------|
| Berat Plat Lantai | = 0,12 | 17,50 | 48,00 | 2400,00 | 1 | = 242010,3 Kg |
| Berat Balok Induk Arah x | = 0,50 | 0,75 | 48,00 | 2400,00 | 3 | = 129600,0 Kg |
| Berat Balok Anak Arah x | = 0,20 | 0,40 | 48,00 | 2400,00 | 2 | = 18432,0 Kg |
| Berat Balok Induk Arah y | = 0,50 | 0,75 | 17,50 | 2400,00 | 7 | = 110250,0 Kg |
| Berat Balok Anak Arah y | = 0,20 | 0,40 | 17,50 | 2400,00 | 6 | = 20160,0 Kg |
| Berat Bresing | = 0,20 | 0,20 | 8,18 | 2400,00 | 8 | = 6282,2 Kg |
| Berat Kolom 80/80 | = 0,80 | 0,80 | 7,25 | 2400,00 | 21 | = 233856,0 Kg |
| Berat Din. Arah X1 dan X3 | = 0,15 | 3,50 | 48,00 | 250,00 | 2 | = 7560,0 Kg |
| Berat Dinding Arah X2 | = 0,15 | 3,50 | 48,00 | 250,00 | 1 | = 6300,0 Kg |
| Berat Dinding Arah YA | = 0,15 | 3,50 | 17,50 | 250,00 | 7 | = 16078,1 Kg |
| Jumlah Total Beban Mati Lantai 2 | | | | | | = 790528,6 Kg |

Tabel 4.4. Perhitungan berat sendiri bangunan dan beban gempa pada

lantai 2

● **Beban Hidup**

| Keterangan | Tebal | Lebar | Panjang | Bj | Koef. | Beban Mati |
|---|-------|-------|---------|-------|--------|--------------------|
| Beban Hidup Lantai | = | | 17,50 | 48,00 | 250,00 | 0,50 = 105000,0 Kg |
| Jumlah Total Beban Mati Hidup Lantai 2 | | | | | | = 105000,0 Kg |

● **Total Beban yang terjadi pada lantai 2**

$$\begin{aligned}
 \text{Total Beban } \sum W &= \text{Beban Mati} + \text{Beban Hidup} \\
 &= 790528,62 + 105000,00 \\
 &= \mathbf{895528,615 \text{ Kg}}
 \end{aligned}$$

Total Berat Lantai

| Keterangan | Total (WT) |
|----------------------------|----------------------|
| Berat Bangunan Lantai Atap | 129328,810 Kg |
| Berat Bangunan Lantai 15 | 711568,615 Kg |
| Berat Bangunan Lantai 14 | 774568,615 Kg |
| Berat Bangunan Lantai 13 | 774568,615 Kg |
| Berat Bangunan Lantai 12 | 774568,615 Kg |
| Berat Bangunan Lantai 11 | 774568,615 Kg |
| Berat Bangunan Lantai 10 | 774568,615 Kg |
| Berat Bangunan Lantai 9 | 774568,615 Kg |
| Berat Bangunan Lantai 8 | 774568,615 Kg |
| Berat Bangunan Lantai 7 | 774568,615 Kg |
| Berat Bangunan Lantai 6 | 774568,615 Kg |
| Berat Bangunan Lantai 5 | 774568,615 Kg |
| Berat Bangunan Lantai 4 | 774568,615 Kg |
| Berat Bangunan Lantai 3 | 774568,615 Kg |
| Berat Bangunan Lantai 2 | 895528,615 Kg |
| Berat Total | 11031249,4 Kg |

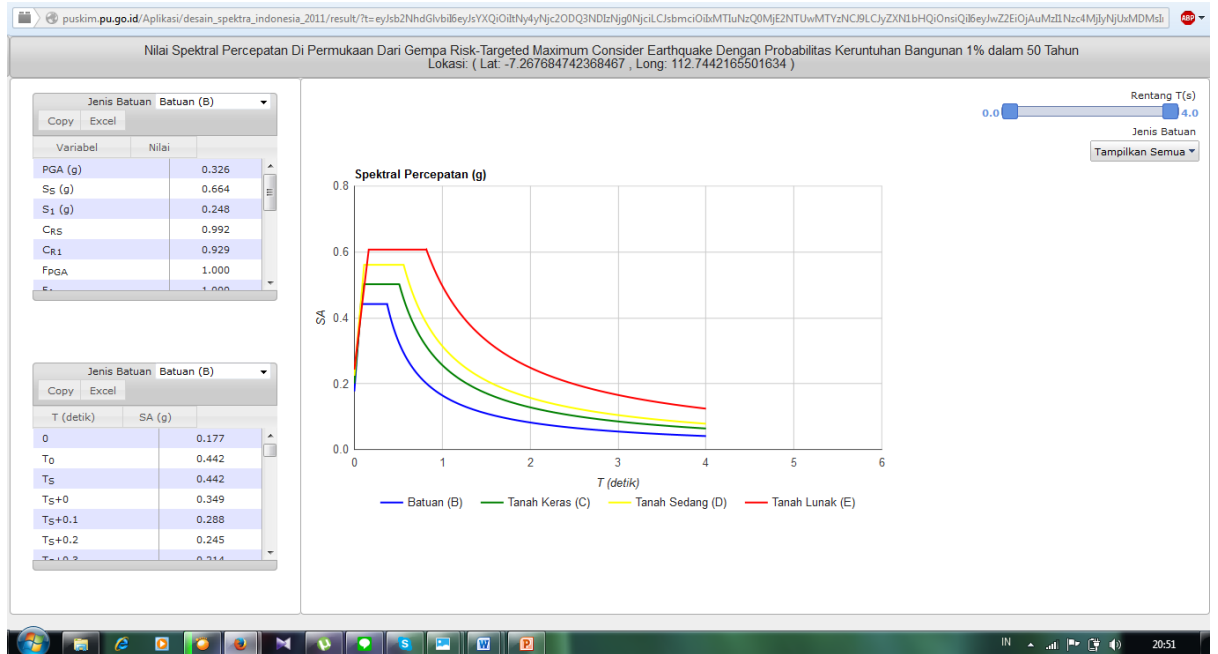
Tabel 4.5. Perhitungan berat lantai

4.2 Perhitungan Beban Gempa

- Menentukan nilai S_s (Respon Spektra percepatan 0,2 detik) dan S_1 (Respon Spektra percepatan 0,1 detik)

- Lokasi Gedung : Surabaya
- Sumber data :

http://puskim.pu.go.id/Aplikasi/desain_spektra_indonesia_2011/



Gambar 4.1 Nilai spektrum percepatan gempa di kota

- Maka didapat : $S_s = 0,664 \text{ g}$

$$S_1 = 0,24$$

- Menentukan kategori resiko bangunan dan faktor, I_e

- Fungsi bangunan : Hotel
- Kategori resiko : II (SNI 1726:2012 Pasal 4.1.2 Tabel 1)
- Faktor keutamaan gempa (I_e): I (SNI 1726:2012 Pasal 4.1.2 Tabel 2)

3. Menentukan Kategori Desain Seismic (KDS)

| Kelas Situs | \bar{V}_s (m/detik) | \bar{N} atau \bar{N}_{cr} | \bar{s}_u (kPa) |
|---|--|-------------------------------|-------------------|
| SA (batuan keras) | > 1500 | N/A | N/A |
| SB (batuan) | 750 sampai 1500 | N/A | N/A |
| SC (tanah keras, sangat padat dan batuan lunak) | 350 sampai 750 | >50 | ≥ 100 |
| SD (tanah sedang) | 175 sampai 350 | 15 sampai 50 | 50 sampai 100 |
| SE (tanah lunak) | < 175 | <15 | < 50 |
| <i>Atau setiap profil tanah yang mengandung lebih dari 3 m tanah dengan karakteristik sebagai berikut :</i> | | | |
| 1. Indeks plastisitas, PI > 20, 2. Kadar air, w \geq 40 %, dan 3. Kuat geser niralir $s_u < 25 kPa$ | | | |
| SF (tanah khusus, yang membutuhkan investigasi geoteknik spesifik dan analisis respons spesifik-situs yang mengikuti Pasal 6.9.1) <i>Keterangan: N/A = tidak dapat dipakai</i> | <i>Setiap profil lapisan tanah yang memiliki salah satu atau lebih dari karakteristik berikut:</i> | | |
| <ul style="list-style-type: none"> - Rawan dan berpotensi gagal atau runtuh akibat beban gempa seperti mudah likuifikasi, lempung sangat sensitif, tanah tersementasi lemah, - Lempung sangat organik dan/atau gambut (ketebalan H > 3 m), - Lempung berplastisitas sangat tinggi (ketebalan H > 7,5 m dengan Indeks Plasitisitas, PI > 75), - Lapisan lempung lunak/medium kaku dengan ketebalan H > 35 m dengan $s_u < 50$ kPa. | | | |

Tabel 4.6. Klasifikasi situs untuk desain seismik

Sumber Tabel 3.2: SNI 1726:2012 Pasal 5.3

4. Menentukan Koefisien Situs Fa dan Fv

- Kelas Situs : Tanah Sedang (SD)

- Koefisien situs Fa

- $S_s = 0,664$ g

| Kelas situs | Parameter respons spektral percepatan gempa (MCE_R) terpetakan pada perioda pendek, $T=0,2$ detik, S_s | | | | |
|-------------|--|-------------|--------------|-------------|-----------------|
| | $S_s \leq 0,25$ | $S_s = 0,5$ | $S_s = 0,75$ | $S_s = 1,0$ | $S_s \geq 1,25$ |
| SA | 0,8 | 0,8 | 0,8 | 0,8 | 0,8 |
| SB | 1,0 | 1,0 | 1,0 | 1,0 | 1,0 |
| SC | 1,2 | 1,2 | 1,1 | 1,0 | 1,0 |
| SD | 1,6 | 1,4 | 1,2 | 1,1 | 1,0 |
| SE | 2,5 | 1,7 | 1,2 | 0,9 | 0,9 |
| SF | SS^b | | | | |

Catatan:

(a) Untuk nilai-nilai antara S dapat dilakukan interpolasi linier

(b) SS= Situs yang memerlukan investigasi geoteknik spesifik dan analisis respons situs

Tabel 4.7. Koefisien situs Fa berdasarkan parameter percepatan spektral desain pada periode pendek T=0,2 detik

Sumber Tabel 3.3: SNI 1726-2012 Pasal 6.2 Tabel 4

- Nilai Fa dihitung dengan menggunakan interpolasi

$$Fa = \frac{1,2 - 1,4}{0,75 - 0,5} (0,664 - 0,5) + 1,4$$

$$Fa = 1,269$$

Jadi untuk nilai $S_s = 0,664$ g didapat nilai $Fa = 1,269$

- Koefisien situs Fv

- $S_1 = 0,248$ g

| Kelas situs | Parameter respons spektral percepatan gempa (MCE_R) terpetakan pada periode 1 detik, S_1 | | | | |
|-------------|--|-------------|-------------|-------------|----------------|
| | $S_s \leq 0,1$ | $S_s = 0,2$ | $S_s = 0,3$ | $S_s = 0,4$ | $S_s \geq 0,5$ |
| SA | 0,8 | 0,8 | 0,8 | 0,8 | 0,8 |
| SB | 1,0 | 1,0 | 1,0 | 1,0 | 1,0 |
| SC | 1,7 | 1,6 | 1,5 | 1,4 | 1,3 |
| SD | 2,4 | 2 | 1,8 | 1,6 | 1,5 |
| SE | 3,5 | 3,2 | 2,8 | 2,4 | 2,4 |
| SF | SS^b | | | | |

Catatan:

- (a) Untuk nilai-nilai antara S dapat dilakukan interpolasi linier
- (b) SS= Situs yang memerlukan investigasi geoteknik spesifik dan analisis respons situs spesifik

Tabel 4.8. Koefisien situs Fv berdasarkan parameter percepatan spektral desain pada periode 1 detik

Sumber Tabel 3.4: SNI 1726:2012 Pasal 6.2 Tabel 5

- Nilai Fv dihitung dengan menggunakan interpolasi

$$F_v = \frac{1,8 - 2}{0,3 - 0,2} (0,248 - 0,2) + 2$$

$$F_v = 1,904$$

Jadi untuk nilai $S = 0,248 \text{ g}$ didapat nilai $F_v = 1,904$

- Menentukan S_{MS} (Parameter spektrum respons percepatan pada periode pendek) dan S_{M1} ((Parameter spektrum respons percepatan pada periode 1 detik) yang disesuaikan dengan pengaruh klasifikasi situs.

- Nilai S_{MS}

$$S_{MS} = F_a \cdot S_s$$

$$= 1,269 \cdot 0,664$$

$$= 0,842$$

- Nilai S_{M1}

$$S_{M1} = F_v \cdot S_1$$

$$= 1,904 \cdot 0,248$$

$$= 0,472$$

- Menghitung parameter percepatan spektral desain.

- Nilai S_{DS} (Kategori desain seismik berdasarkan parameter respons percepatan pada periode pendek).

$$S_{DS} = 2/3 S_{MS}$$

$$= 2/3 \cdot 0,842$$

$$= 0,562$$

| Nilai S_{DS} | Kategori risiko | |
|----------------------------|--------------------|----|
| | I atau II atau III | IV |
| $S_{DS} < 0,167$ | A | A |
| $0,167 \leq S_{DS} < 0,33$ | B | C |
| $0,33 \leq S_{DS} < 0,50$ | C | D |
| $0,50 \leq S_{DS}$ | D | D |

Tabel 4.9. Kategori desain seismik berdasarkan parameter respons percepatan pada periode pendek

Sumber Tabel 3.5: SNI 1726:2012 Pasal 6.5 Tabel 6

Untuk $S_{DS} = 0,562$ maka termasuk kategori desain seismik D

- Nilai S_{D1} (Kategori desain seismik berdasarkan parameter respons percepatan pada periode 1 detik).

$$S_{D1} = 2/3 S_{M1}$$

$$= 2/3 \cdot 0,472$$

$$= 0,315$$

$$= 0,315$$

| Nilai S_{D1} | Kategori risiko | |
|-----------------------------|--------------------|----|
| | I atau II atau III | IV |
| $S_{D1} < 0,167$ | A | A |
| $0,067 \leq S_{D1} < 0,133$ | B | C |
| $0,133 \leq S_{D1} < 0,20$ | C | D |
| $0,20 \leq S_{D1}$ | D | D |

Tabel 4.10 Kategori desain seismik berdasarkan parameter respons percepatan pada periode 1 detik

Sumber Tabel 3.6: SNI 1726:2012 Pasal 6.5 Tabel 7

Untuk $S_{D1} = 0,315$ maka termasuk kategori desain seismik D

Jadi dapat disimpulkan bahwa Kategori Desain Seismik untuk tanah sedang di Kota surabaya adalah D

7. Menentukan koefisien modifikasi respons

Dari SNI 1726:2012 Pasal 7.2.2 Tabel 9, didapat

- Sistem penahan gaya seismik : Sistem rangka bangunan (bresing)
- R^a (koefisien modifikasi respons) : 7
- Ω_o (faktor kuat lebih sistem) : $2^{1/2}$
- C_d (faktor pembesaran defleksi) : $5^{1/2}$

8. Membuat Spektrum Respon Desain

| Tipe struktur | C_t | x |
|---|----------------------------|-------------|
| Sistem rangka pemikul momen di mana rangka memikul 100 persen gaya gempa yang disyaratkan dan tidak dilingkupi atau dihubungkan dengan komponen yang lebih kaku dan akan mencegah rangka dari defleksi jika dikenai gaya gempa: | | |
| Rangka baja pemikul momen | 0,0724 ^a | 0,8 |
| Rangka beton pemikul momen | 0,0466 ^a | 0,9 |
| Rangka baja dengan bresing eksentris | 0,0731 ^a | 0,75 |
| Rangka baja dengan bresing terkekang terhadap tekuk | 0,0731 ^a | 0,75 |
| Semua sistem struktur lainnya | 0,0488 ^a | 0,75 |

$$T_o = 0,2 (S_{DI}/S_{DS}) \quad Ts = S_{DI}/S_{DS}$$

$$= 0,2 (0,315 / 0,562) \quad = 0,315 / 0,562$$

$$= 0,112 \quad = 0,560$$

Perkiraan perioda fundamental alami

Untuk struktur dengan ketinggian < 12 tingkat terdiri dari rangka penahan momen beton atau baja secara keseluruhan dan tingkat paling sedikit

3 m :

$$Ta = 0,1 N \quad \text{Dimana : } N = \text{Jumlah tingkat}$$

$$Ta = 0,1 \cdot 16$$

$$= 1,6$$

Batas perioda maksimum

$T_{max} = CuTa$ Dimana : Cu = Koefisien batas atas peda periode yang dihitung

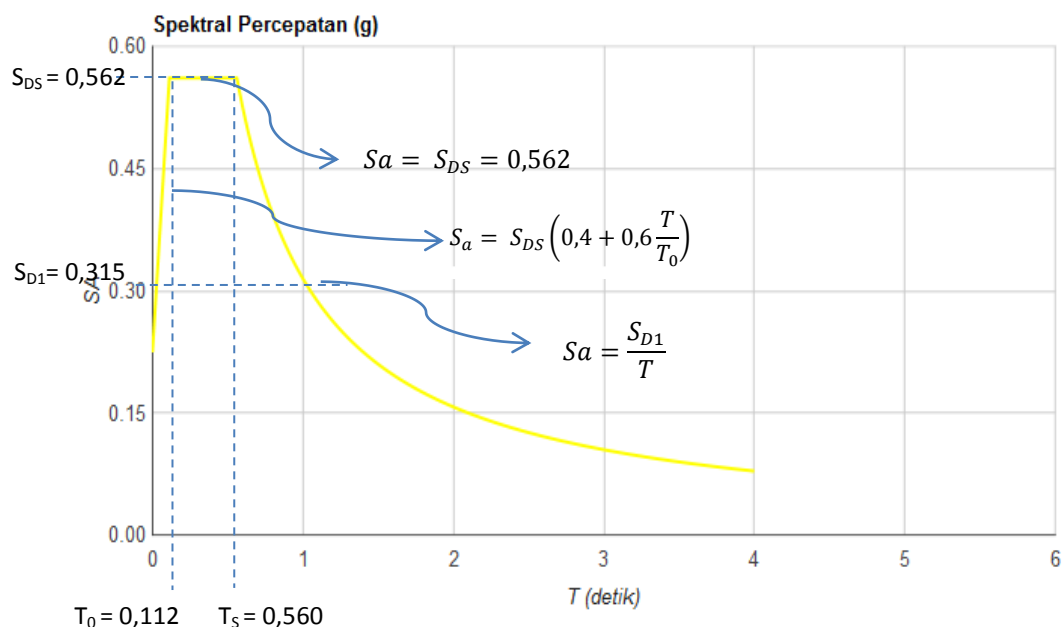
$SDs = 0,562$ maka Cu = 1,4

| Parameter percepatan respons spektral desain pada 1 detik,SD1 | Koefisien |
|---|-----------|
| $\leq 0,4$ | 1,4 |
| 0,3 | 1,4 |
| 0,2 | 1,5 |
| 0,15 | 1,6 |
| $\leq 0,1$ | 1,7 |

Tabel 4.11. koefisien Batas atas pada Periode yang dihitung

Membuat Spektrum Respons Desain

| T | Sa | T | Sa | T | Sa |
|-------|-------|-------|-------|-------|-------|
| 0,000 | 0,225 | 0,080 | 0,466 | 0,500 | 0,502 |
| 0,010 | 0,255 | 0,090 | 0,496 | 0,560 | 0,562 |
| 0,020 | 0,285 | 0,100 | 0,526 | 0,600 | 0,525 |
| 0,030 | 0,315 | 0,112 | 0,562 | 1,000 | 0,315 |
| 0,040 | 0,345 | 0,200 | 0,502 | 2,000 | 0,158 |
| 0,050 | 0,375 | 0,300 | 0,502 | 3,000 | 0,105 |
| 0,060 | 0,405 | 0,400 | 0,502 | 4,000 | 0,079 |
| 0,070 | 0,436 | | | | |



$$Ta = Ct.h_n^x$$

Arah X – (sistem struktur lainnya)

Arah Y – (sistem struktur lainnya)

$$Ct = 0,0488$$

$$Ct = 0,0488$$

$$H_n = 58 \text{ m}$$

$$H_n = 58 \text{ m}$$

$$X = 0,75$$

$$X = 0,75$$

Maka

$$Ta = 0.0488 \times 58^{0.75}$$

$$Ta = 0.0488 \times 58^{0.75}$$

= 1.026

= 1.026

Tmax = Cu . Ta

$$T_{max} = Cu \cdot Ta$$

$$T_{\max 1} = 1,4 \cdot 1,026$$

$$T_{\max_2} = 1,4 \cdot 1,026$$

= 1,436 Detik

= 1,436 Detik

Maka

$$T_1 = 1,436 \text{ Detik}$$

$$T_2 = 1,436 \text{ Detik}$$

9. Batasan Penggunaan prosedur Analisis Gaya Lateral Ekuivalen (ELV)

$$Cek T_s = S_{D1}/S_{Ds}$$

$$= 0,315/0,562$$

$$= 0.560$$

Menentukan pasal 7.2.2 SNI 1726 ;2012 untuk bresing beton bertulang khusus didapat faktor antara lain

- R^a (koefisien modifikasi respons) : 7
 - Ω_o (faktor kuat lebih sistem) : $2^{1/2}$
 - C_d (faktor pembesaran defleksi) : $5^{1/2}$

10. Menghitung Nilai Base shear

$$V = C_s \cdot W$$

Dimana : C_s = koefisien respon seismik

W = Berat seismik efektif

$C_s = S_{DS}/(R/I_e)$

$$= 0,562/(7/1) = 0,080$$

$C_s \text{ max} = SD_1/T(R/I_e)$

$$C_s x = 0,315/1,436(7/1)$$

$$= 1,535$$

$$C_s y = 0,315/ 1,026(7/1)$$

$$= 2,149$$

$$C_s \text{ min} = 0,044 \quad S_{DS} I_e > 0,01$$

$$= 0,044 \times 0,562 \times 1 > 0,01$$

$$= 0,024 \quad > 0,01 \dots \dots \dots \text{OK}$$

Kesimpulan nilai C_s yang dipakai adalah 0,080

$$\text{Maka nilai } V_x = 0,080 \times W$$

$$= 0,080 \times \mathbf{11.031.249,00}$$

$$= 882.499,920 \text{ kg}$$

$$V_y = 0,080 \times W$$

$$= 0,080 \times \mathbf{11.031.249,00}$$

$$= 882.499,920 \text{ kg}$$

11. Menghitung Gaya gempa Lateral F_x

$$F_x = C_{vx} \cdot V$$

Pasal 7.8.3 SNI 1726-2012

$$C_{vx} = \frac{w_x h_x^k}{\sum_{i=1}^n w_i h_i^k}$$

Dimana :

C_{vx} = Faktor distribusi vertikal

V = Gaya lateral design total atau geser di dasar struktur

W_i & W_x = Bagian berat seismik sfektif total struktur (W) yang ditempatkan atau dikenakan pada tingkat i atau x

h_i & h_x = Tinggi (m) dari dasar sampai tingkat i atau x

K = Eksponen yang terkait dengan perioda struktur sebagai berikut :

Untuk struktur yang mempunyai dengan perioda sebesar 0,5 detik atau kurang, $K = 1$

Untuk struktur yang mempunyai dengan perioda sebesar 2,5 detik atau lebih, $K = 2$

Untuk struktur yang mempunyai dengan perioda sebesar 0,5 dan 2,5 detik k harus sebesar 2 atau harus ditentukan dengan interpolasi linier antara 1 dan 2

$$T_x = 1,436 \text{ Detik}$$

Melalui Interpolasi Didapat :

Untuk nilai S_S 1,436 g berada diantara nilai

$$T_x = 0,500 \quad K_x = 1,000 \quad \text{Maka untuk mendapatkan nilai } K \text{ dari } T_x \text{ harus}$$

$$T_x = 2,500 \quad K_x = 2,000 \quad \text{di interpolasi terlebih dahulu sebagai berikut :}$$

$$T_x = 1,463 \quad K_x =?$$

$$K_x = 1,000 + \left[\frac{1,463 - 0,500}{2,500 - 0,500} \right] \times 2,000 - 1,000 \\ = 1,482$$

$$T_y = 1,026 \text{ Detik}$$

Melalui Interpolasi Didapat :

Untuk nilai S_S 1,026 g berada diantara nilai

$$T_y = 0,500 \quad K_y = 1,000 \quad \text{Maka untuk mendapatkan nilai } K \text{ dari } T_y \text{ harus}$$

$$T_y = 2,500 \quad K_y = 2,000 \quad \text{harus di interpolasi terlebih dahulu sebagai}$$

$$T_y = 1,026 \quad K_y =? \text{ berikut :}$$

$$K_y = 1,000 + \left[\frac{1,026 - 0,500}{2,500 - 0,500} \right] \times 2,000 - 1,000 \\ = 1,263$$

Maka nilai K :

$$K_x = 1,482$$

$$K_y = 1,263$$

• Gaya Gempa Lateral

| Lantai | Weight (Wi) Kg | Tinggi (hi) m | $Wi \times hi^{K_x}$ | $Wi \times hi^{K_y}$ | F_x (kg) | F_y (kg) |
|--------------|--------------------|---------------|----------------------|----------------------|------------------|------------------|
| Lantai Atap | 129328,81 | 58,0 | 52992432,3 | 21822516,8 | 7420,74 | 6750,94 |
| Lantai 15 | 711588,62 | 54,5 | 265889023,6 | 110993558,0 | 37233,52 | 34336,59 |
| Lantai 14 | 774568,62 | 51,0 | 262316199,5 | 111101782,8 | 36733,20 | 34370,07 |
| Lantai 13 | 774568,62 | 47,5 | 236092112,6 | 101560288,2 | 33060,93 | 31418,34 |
| Lantai 12 | 774568,62 | 44,0 | 210782735,3 | 92202060,4 | 29516,76 | 28523,32 |
| Lantai 11 | 774568,62 | 40,5 | 186425154,9 | 83037753,3 | 26105,87 | 25688,28 |
| Lantai 10 | 774568,62 | 37,0 | 163061243,5 | 74079607,6 | 22834,13 | 22917,01 |
| Lantai 9 | 774568,62 | 33,5 | 140738778,5 | 65341859,1 | 19708,22 | 20213,93 |
| Lantai 8 | 774568,62 | 30,0 | 119512968,7 | 56841305,0 | 16735,88 | 17584,23 |
| Lantai 7 | 774568,62 | 26,5 | 99448596,4 | 48598116,1 | 13926,19 | 15034,15 |
| Lantai 6 | 774568,62 | 23,0 | 80623135,6 | 40637048,1 | 11289,98 | 12571,34 |
| Lantai 5 | 774568,62 | 19,5 | 63131509,3 | 32989338,7 | 8840,56 | 10205,47 |
| Lantai 4 | 774568,62 | 16,0 | 47093790,8 | 25695876,4 | 6594,73 | 7949,19 |
| Lantai 3 | 774568,62 | 12,5 | 32668717,1 | 18812964,8 | 4574,73 | 5819,91 |
| Lantai 2 | 895528,62 | 9,0 | 23216125,6 | 14364408,8 | 3251,05 | 4443,72 |
| Total | 11031269,42 | | 1983992523,67 | 898078484,12 | 277826,50 | 277826,50 |

Tabel 4.12. Gaya lateral gempa

Maka nilai Vx dan Vy :

$$Vx = 277826,499 \text{ Kg}$$

$$= 277,826 \text{ Ton}$$

$$Vy = 277826,499 \text{ Kg}$$

$$= 277,826 \text{ Ton}$$

| Lantai | Penghitungan beban gempa 100% yang di tinjau dan 30 % arah tegak lurus | | | |
|--------------|--|------------------|------------------|-----------------|
| | Fx (kg) | 30 % Fx (kg) | Fz (kg) | 30 % Fy (kg) |
| Lantai Atap | 7420,740 | 2226,222 | 6750,940 | 2025,282 |
| Lantai 15 | 37233,520 | 11170,056 | 34336,590 | 10300,977 |
| Lantai 14 | 36733,200 | 11019,960 | 34370,070 | 10311,021 |
| Lantai 13 | 33060,930 | 9918,279 | 31418,340 | 9425,502 |
| Lantai 12 | 29516,760 | 8855,028 | 28523,320 | 8556,996 |
| Lantai 11 | 26105,870 | 7831,761 | 25688,280 | 7706,484 |
| Lantai 10 | 22834,130 | 6850,239 | 22917,010 | 6875,103 |
| Lantai 9 | 19708,220 | 5912,466 | 20213,930 | 6064,179 |
| Lantai 8 | 16735,880 | 5020,764 | 17584,230 | 5275,269 |
| Lantai 7 | 13926,190 | 4177,857 | 15034,150 | 4510,245 |
| Lantai 6 | 11289,980 | 3386,994 | 12571,340 | 3771,402 |
| Lantai 5 | 8840,560 | 2652,168 | 10205,470 | 3061,641 |
| Lantai 4 | 6594,730 | 1978,419 | 7949,190 | 2384,757 |
| Lantai 3 | 4574,730 | 1372,419 | 5819,910 | 1745,973 |
| Lantai 2 | 3251,050 | 975,315 | 4443,720 | 1333,116 |
| <i>Total</i> | 277826,490 | 83347,947 | 277826,49 | 83347,95 |

Tabel 4.13. Beban lantai yang sudah dipengaruhi beban gempa

• Pengaruh beban gempa vertical

$$E_v = 0,2 S_{DS} D$$

$$\begin{aligned} E_v &= 0,2 \times 0,562 g D \\ &= 0,1124 \times D \end{aligned}$$

$$P = 1,3$$

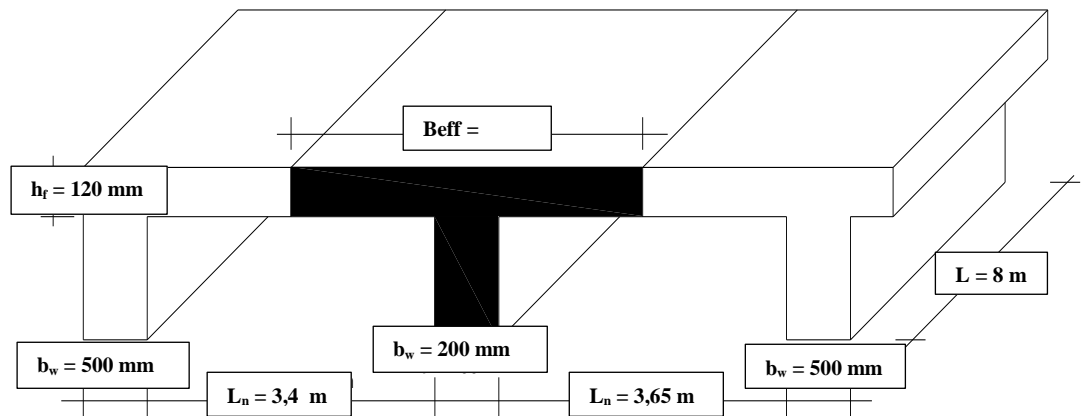
Pasal 7.3.4.2
SNI 1726 : 2012

Kombinasi Pembebatan

| | |
|----|--|
| 1 | 1,4 D |
| 2 | 1,2 D + 1,6 L |
| 3 | $1,2 D + 1 L + 0,3 [1,3 Qex + 0,2 SDS D] + 1 [1,3 Qey + 0,2 SDS D]$ 1,23 D + 1 L + 0,39 Qex + 1,3 Qey |
| 4 | $1,2 D + 1 L - 0,3 [1,3 Qex + 0,2 SDS D] + 1 [1,3 Qey + 0,2 SDS D]$ 1,22 D + 1 L - 0,39 Qex + 1,3 Qey |
| 5 | $1,2 D + 1 L + 0,3 [1,3 Qex + 0,2 SDS D] - 1 [1,3 Qey + 0,2 SDS D]$ 1,18 D + 1 L + 0,39 Qex - 1,3 Qey |
| 6 | $1,2 D + 1 L - 0,3 [1,3 Qex + 0,2 SDS D] - 1 [1,300 Qey + 0,2 SDS D]$ 1,17 D + 1 L - 0,39 Qex - 1,3 Qey |
| 7 | $1,2 D + 1 L + 1 [1,3 Qex + 0,2 SDS D] + 0,3 [1,300 Qey + 0,2 SDS D]$ 1,23 D + 1 L + 1,3 Qex + 0,39 Qey |
| 8 | $1,2 D + 1 L - 1 [1,3 Qex + 0,2 SDS D] + 0,3 [1,300 Qey + 0,2 SDS D]$ 1,18 D + 1 L - 1,3 Qex + 0,39 Qey |
| 9 | $1,2 D + 1 L + 1 [1,3 Qex + 0,2 SDS D] - 0,3 [1,300 Qey + 0,2 SDS D]$ 1,22 D + 1 L + 1,3 Qex - 0,39 Qey |
| 10 | $1,2 D + 1 L - 1 [1,3 Qex + 0,2 SDS D] - 0,3 [1,300 Qey + 0,2 SDS D]$ 1,17 D + 1 L - 1,3 Qex - 0,39 Qey |
| 11 | $0,9 D + 1 L + 0,3 [1,3 Qex - 0,2 SDS D] + 1 [1,300 Qey - 0,2 SDS D]$ 0,87 D + 1 L + 0,39 Qex + 1,3 Qey |
| 12 | $0,9 D + 1 L - 0,3 [1,3 Qex - 0,2 SDS D] + 1 [1,300 Qey - 0,2 SDS D]$ 0,88 D + 1 L - 0,39 Qex + 1,3 Qey |
| 13 | $0,9 D + 1 L + 0,3 [1,3 Qex - 0,2 SDS D] - 1 [1,300 Qey - 0,2 SDS D]$ 0,92 D + 1 L + 0,39 Qex - 1,3 Qey |
| 14 | $0,9 D + 1 L - 0,3 [1,3 Qex - 0,2 SDS D] - 1 [1,300 Qey - 0,2 SDS D]$ 0,93 D + 1 L - 0,39 Qex - 1,3 Qey |
| 15 | $0,9 D + 1 L + 1 [1,3 Qex - 0,2 SDS D] + 0,3 [1,300 Qey - 0,2 SDS D]$ 0,87 D + 1 L + 1,3 Qex + 0,39 Qey |
| 16 | $0,9 D + 1 L - 1 [1,3 Qex - 0,2 SDS D] + 0,3 [1,300 Qey - 0,2 SDS D]$ 0,92 D + 1 L - 1,3 Qex + 0,39 Qey |
| 17 | $0,9 D + 1 L + 1 [1,3 Qex - 0,2 SDS D] - 0,3 [1,300 Qey - 0,2 SDS D]$ 0,88 D + 1 L + 1,3 Qex - 0,39 Qey |
| 18 | $0,9 D + 1 L - 1 [1,3 Qex - 0,2 SDS D] - 0,3 [1,300 Qey - 0,2 SDS D]$ 0,93 D + 1 L - 1,3 Qex - 0,39 Qey |

4.3 Perencanaan Balok T dan Balok L

Desain 1



Diketahui :

$$\text{Jarak antar balok induk dengan anak (L}_n\text{)} \quad = 3,4 \text{ m} = 3400 \text{ mm}$$

$$\text{Panjang antara balok induk} \quad = 8 \text{ m} = 8000 \text{ mm}$$

$$\text{Balok induk (B1)} \quad = 50/75$$

Dimana :

$$- b = 50 \text{ cm} = 500 \text{ mm}$$

$$- h = 75 \text{ cm} = 750 \text{ mm}$$

$$\text{Balok anak (B2)} \quad = 20/40$$

Dimana :

$$- b = 20 \text{ cm} = 200 \text{ mm}$$

$$- h = 40 \text{ cm} = 400 \text{ mm}$$

- Lebar flens balok T efektif (beff)

$$beff = 16h_f + b_w$$

$$- beff = (16 \cdot 120) + 200 = 2120 \text{ mm}$$

$$beff = l_n + b_w$$

- $beff = 3400 + 200 = 3600 \text{ mm}$

$$beff = \frac{1}{4} \cdot L$$

- $beff = \frac{1}{4} \cdot 8000 = 2000 \text{ mm}$

Dipakai nilai beff terkecil untuk balok T (B2) yaitu = 2000 mm

- Lebar flens balok T efektif (beff)

$$beff = 16h_f + b_w$$

- $beff = (16 \cdot 120) + 500 = 2420 \text{ mm}$

$$beff = l_n + b_w$$

- $beff = 3650 + 500 = 4150 \text{ mm}$

$$beff = \frac{1}{4} \cdot L$$

- $beff = \frac{1}{4} \cdot 8000 = 2000 \text{ mm}$

Dipakai nilai beff terkecil untuk balok T (B1) yaitu = 2000 mm

- Lebar flens balok L efektif (beff)

$$beff = 6h_f + b_w$$

- $beff = (6 \cdot 120) + 500 = 1220 \text{ mm}$

$$beff = 0,5l_n + b_w$$

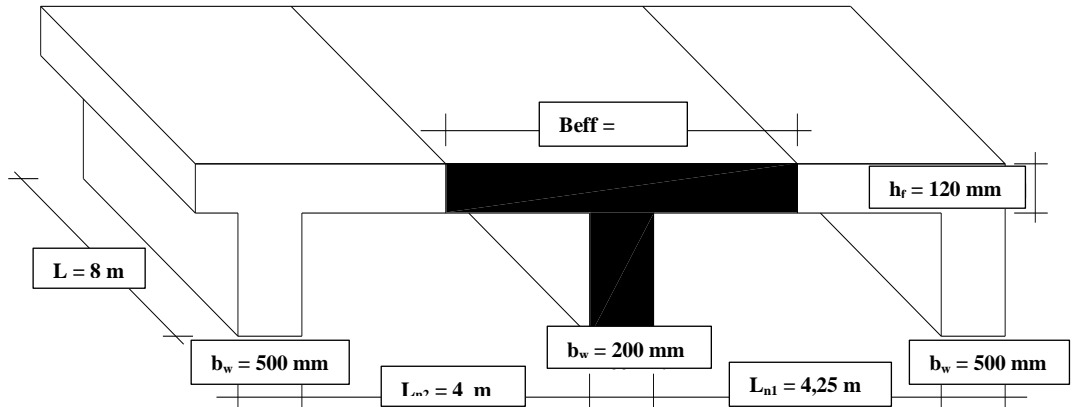
- $beff = 0,5 \cdot 3400 + 500 = 2200 \text{ mm}$

$$beff = \frac{1}{12} \cdot L$$

- $beff = \frac{1}{12} \cdot 8000 = 666,667 \text{ mm}$

Dipakai nilai beff terkecil untuk balok L yaitu = 666,667 mm

Desain 2



Diketahui :

$$\text{Jarak antar balok induk dengan anak } (L_{n1}) = 5 \text{ m} = 4000 \text{ mm}$$

$$\text{Panjang antara balok induk} = 9 \text{ m} = 9000 \text{ mm}$$

$$\text{Balok induk (B1)} = 50/75$$

Dimana :

$$- b = 50 \text{ cm} = 500 \text{ mm}$$

$$- h = 75 \text{ cm} = 750 \text{ mm}$$

$$\text{Balok anak (B2)} = 20/40$$

Dimana :

$$- b = 20 \text{ cm} = 200 \text{ mm}$$

$$- h = 40 \text{ cm} = 400 \text{ mm}$$

- Lebar flens balok T efektif (beff)

$$beff = 16h_f + b_w$$

$$- beff = (16 \cdot 120) + 200 = 2120 \text{ mm}$$

$$beff = l_n + b_w$$

$$- beff = 4000 + 200 = 4200 \text{ mm}$$

$$beff = \frac{1}{4} \cdot L$$

$$- \quad beff = \frac{1}{4} \cdot 9000 = 2250 \text{ mm}$$

Dipakai nilai beff terkecil untuk balok T (B2) yaitu = 2120 mm

- Lebar flens balok L efektif (beff)

$$beff = 6h_f + b_w$$

$$- \quad beff = (6 \cdot 120) + 500 = 1220 \text{ mm}$$

$$beff = 0,5l_n + b_w$$

$$- \quad beff = 0,5 \cdot 4250 + 500 = 2625 \text{ mm}$$

$$beff = L + b_w$$

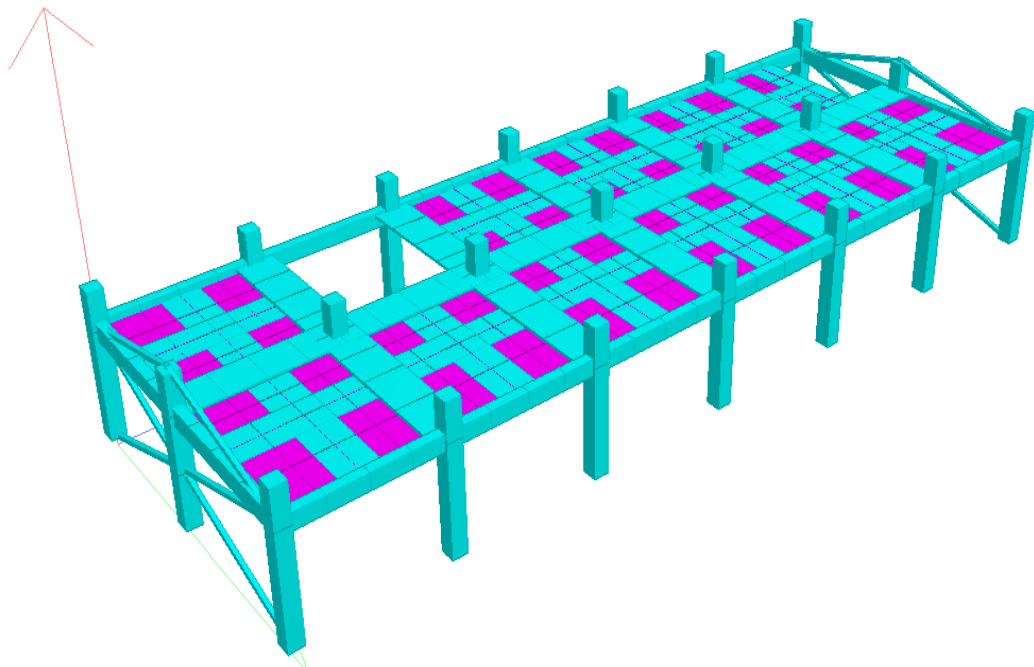
$$- \quad beff = 9000 + 500 = 9500 \text{ mm}$$

Dipakai nilai beff terkecil untuk balok L yaitu = 1220 mm

4.4 Perhitungan Pusat Massa Lantai (CG)

Untuk mencari berat lantai tiap lantai dengan bantuan program bantu *Staad Proo V8i* dengan cara memotong tiap lantai dengan ketinggian kolom setengahnya ke atas terhadap lantai yang ditinjau dan setengahnya tinggi kolom ke bawah terhadap lantai yang ditinjau. Kemudian salah satu titik ujung kolom diberi tumpuan jepit untuk mengetahui reaksi yang nantinya menjadi berat lantai tersebut.

Mencari pusat massa pada masing-masing lantai dengan menambahkan perintah *CG (Center Gravity)* memilih *command* lalu pilih *post-analysis print*, klik *CG*. Untuk hasil perhitungan pusat massa dan berat tiap lantai dengan cara dianalisa menggunakan perintah *CG (Center Gravity)* pada program bantu *Staad Pro V8i* dengan memasukkan dimensi struktur, beban mati, dan beban hidup bisa dilihat sebagai berikut :



Gambar 4.2. Pemodelan 3 dimensi pusat massa lantai 2

Pusat massa lantai 2.anl - STAAD Output Viewer

File Edit View Help

RESULTS

CG

232. PRINT CG

CENTER OF GRAVITY OF THE STRUCTURE IS LOCATED AT: (METER UNIT)

X = 24.1079 Y = 5.0701 Z = 8.6003

TOTAL SELF WEIGHT = 856765.8750 (KG UNIT)

233. PERFORM ANALYSIS

-----< PAGE 5 Ends Here >-----

STAAD SPACE -- PAGE NO. 6

234. FINISH

-----< PAGE 6 Ends Here >-----

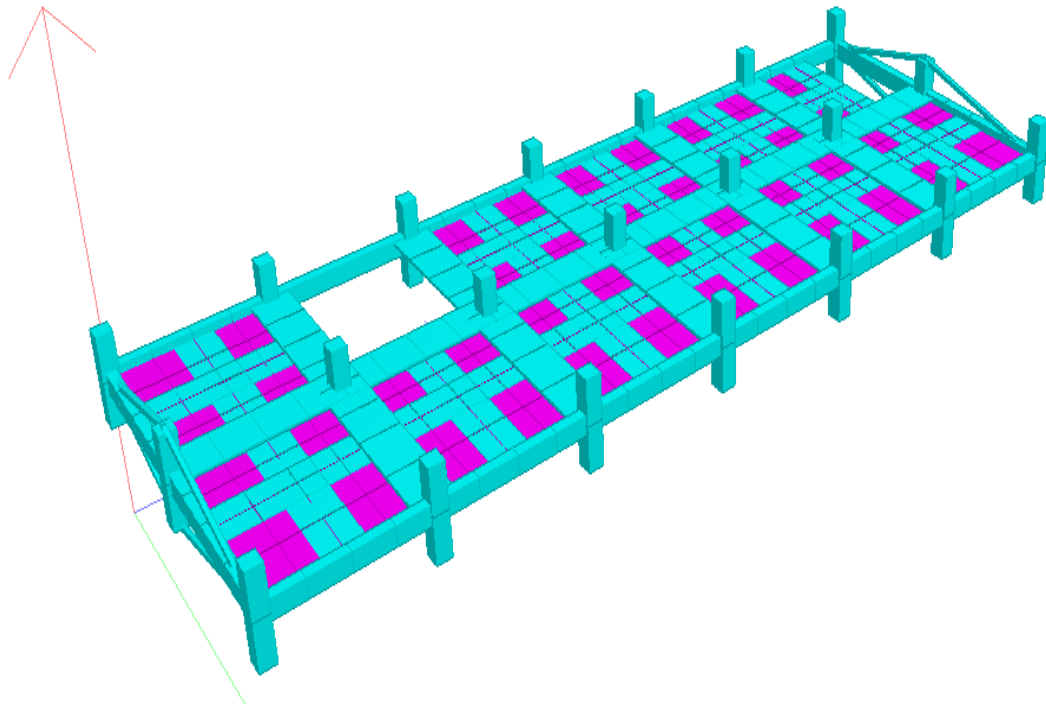
STAAD SPACE -- PAGE NO. 7

***** END OF THE STAAD.Pro RUN *****

**** DATE= JUN 13, 2016 TIME= 1:24:54 ****

* For questions on STAAD.Pro, please contact *
* Bentley Systems or Partner offices *
* *
* Telephone Web / Email *
* USA +1 (714) 974-2500 *

Gambar 4.3. Output pusat massa lantai 2



Gambar 4.4. Pemodelan 3 dimensi pusat massa lantai 3 – 14

Pusat massa lantai 3-14.anl - STAAD Output Viewer

File Edit View Help

RESULTS

CG

CENTER OF GRAVITY OF THE STRUCTURE IS LOCATED AT: (METRE UNIT)

X = 24.1235 Y = 5.5000 Z = 8.6383

TOTAL SELF WEIGHT = 746343.0625 (KG UNIT)

231. FINISH -----< PAGE 5 Ends Here >-----
STAAD SPACE -- PAGE NO. 6

-----< PAGE 6 Ends Here >-----
STAAD SPACE -- PAGE NO. 7

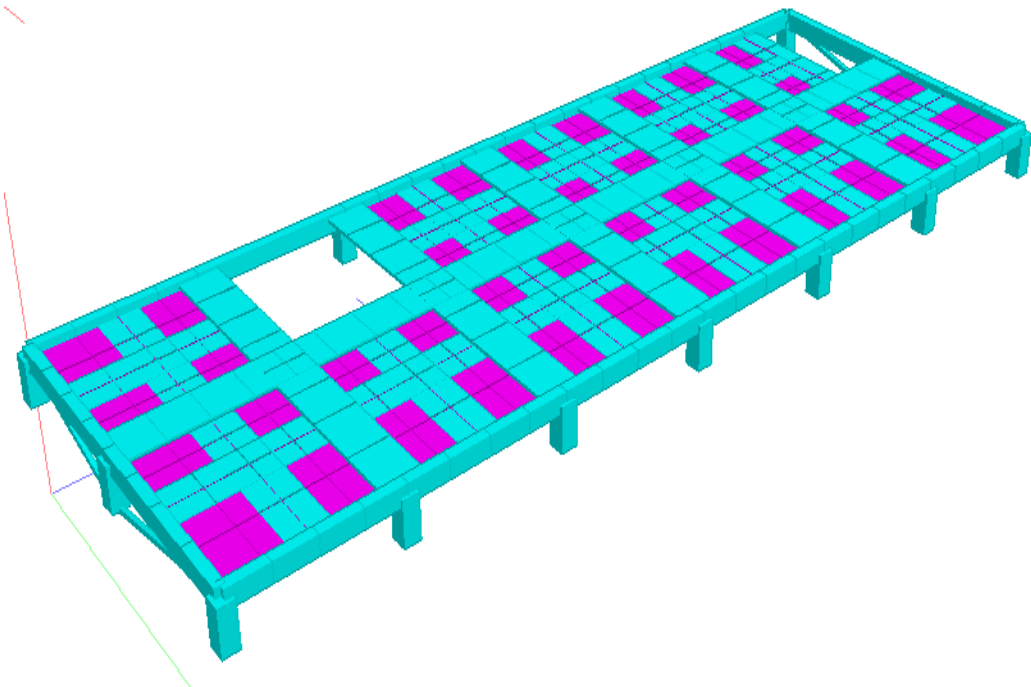
***** END OF THE STAAD.Pro RUN *****

**** DATE= JUN 13,2016 TIME= 1:43:49 ****

***** ***** ***** ***** ***** ***** ***** *****

* For questions on STAAD.Pro, please contact *
* Bentley Systems or Partner offices *
* *
* Telephone Web / Email *
* USA +1 (714) 974-2500 *
* UK +44 (0) 808 101 9246 *
* SINGAPORE +65 6225-6158 *
* FRANCE +33 (0) 1 55238400 *
* GERMANY +49 0931 40468 *
* INDIA +91 (033) 4006-2021 *
* JAPAN +81 (03)5952-6500 http://www.ctc-g.co.jp *

Gambar 4.5. Output pusat massa lantai 3 – 14



Gambar 4.6. Pemodelan 3 dimensi pusat massa lantai 15 dan 16

Pusat massa lantai 15.anl - STAAD Output Viewer

File Edit View Help

RESULTS

CG

223. PRINT CG

CENTER OF GRAVITY OF THE STRUCTURE IS LOCATED AT: (METER UNIT)

X = 24.1343 Y = 5.4240 Z = 8.6641

TOTAL SELF WEIGHT = 688497.1250 (KG UNIT)

224. PERFORM ANALYSIS

225. FINISH

-----< PAGE 5 Ends Here >-----

STAAD SPACE -- PAGE NO. 6

-----< PAGE 6 Ends Here >-----

STAAD SPACE -- PAGE NO. 7

***** END OF THE STAAD.Pro RUN *****

**** DATE= JUN 18,2016 TIME= 11: 1: 9 ****

* For questions on STAAD.Pro, please contact *

* Bentley Systems or Partner offices *

*

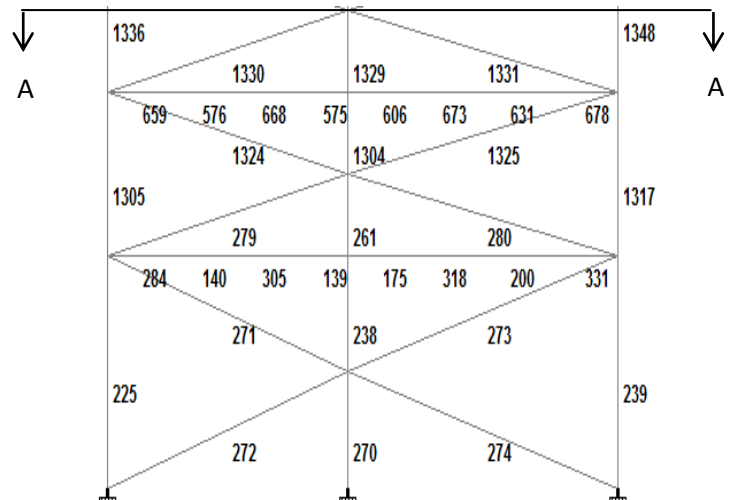
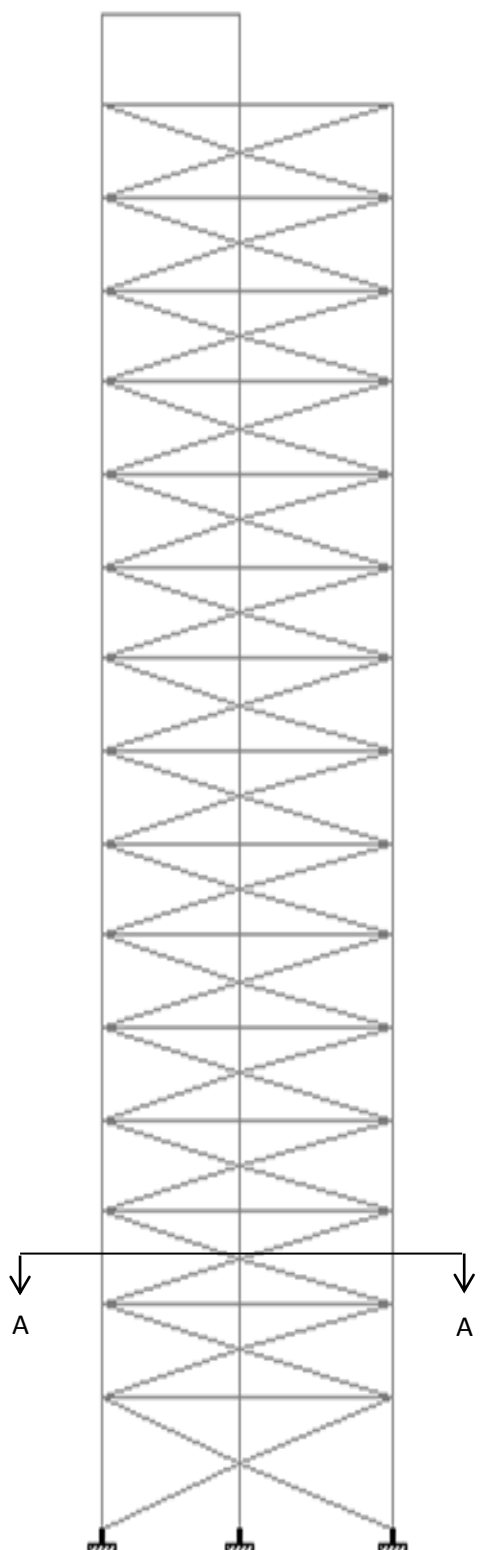
Gambar 4.7. Output pusat massa lantai 15 dan 16

| Lantai | Pusat Massa | | | Berat Lantai |
|-----------|-------------|--------|--------|--------------|
| | X | Y | Z | (Kg) |
| 15 dan 16 | 24,1343 | 3,5000 | 8,6641 | 856765,8750 |
| 3 – 14 | 24,1235 | 3,5000 | 8,6383 | 748343,0625 |
| 2 | 24,1079 | 5,5000 | 8,6003 | 844300,5625 |

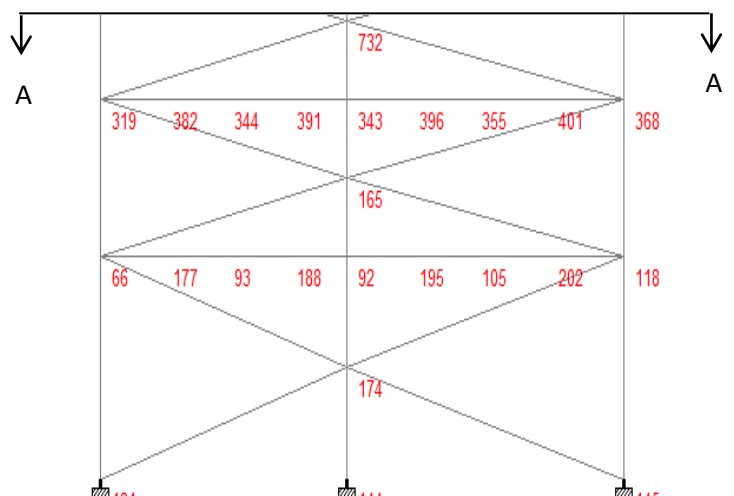
Tabel 4.14. Hasil perhitungan pusat massa dan berat tiap lantai

4.5 Perhitungan Statika

Setelah dilakukan input data pada program bantu Staad Pro V8i sesuai dengan perhitungan diatas, untuk analisa perencanaan diambil perhitungan pada portal line 1 lantai 1 dan 2



Gambar : No. Batang Portal



Gambar : No. Titik Portal

Keterangan : Portal yang digunakan dalam analisa perhitungan diambil sampel portal lantai 1 dan 2 potongan A-A

Gambar 4.8. Potongan portal line 1 dan potongan portal line 1 sampai perhitungan

| Lantai | Joint | Momen Lapangan (+) | Momen Tumpuan (-) | Keterangan |
|--------|-------|--------------------|-------------------|---------------|
| | | (Nmm) | (Nmm) | |
| | | Mu+ | Mu- | |
| 2 | 66 | 525856000 | 0 | Tumpuan Kiri |
| | 93 | 0 | 217556000 | Lapangan |
| | 92 | 571580000 | 0 | Tumpuan Kanan |
| | 92 | 571580000 | 0 | Tumpuan Kiri |
| | 105 | 0 | 270103000 | Lapangan |
| | 118 | 592767000 | 0 | Tumpuan Kanan |
| 3 | 319 | 557185000 | 0 | Tumpuan Kiri |
| | 344 | 0 | 216140000 | Lapangan |
| | 343 | 556306000 | 0 | Tumpuan Kanan |
| | 343 | 556306000 | 0 | Tumpuan Kiri |
| | 355 | 0 | 275894000 | Lapangan |
| | 368 | 633287000 | 0 | Tumpuan Kanan |

Tabel 4.15. Hasil pembacaan momen pada balok

| Lantai | Node | Nomor Batang | Momen | | Gaya Normal (Kg) | | Gaya Normal (KN) | |
|--------|------|--------------|-------------|---------|------------------|---------|------------------|-----------|
| | | | | | Fx | | Fx | |
| | | | (Kg.cm) | (KN.m) | + | - | + | - |
| 2 | 131 | 225 | 2760545,140 | 270,717 | 1471610 | 1482370 | 14431,564 | 14537,084 |
| | 66 | | 2832231,190 | 277,747 | | | | |
| | 144 | 270 | 3296722,122 | 323,298 | 1834040 | 1839420 | 17985,788 | 18038,548 |
| | 174 | | 1275940,306 | 125,127 | | | | |
| | 174 | 238 | 1275940,306 | 125,127 | 1828680 | 1834060 | 17933,225 | 17985,984 |
| | 92 | | 3916118,144 | 384,040 | | | | |
| | 145 | 239 | 2803566,967 | 274,936 | 1537540 | 1548310 | 15078,117 | 15183,734 |
| | 118 | | 2898492,350 | 284,245 | | | | |
| 3 | 66 | 1305 | 3785625,061 | 371,243 | 1408220 | 1376480 | 13498,658 | 13498,658 |
| | 319 | | 3441032,361 | 337,450 | | | | |
| | 92 | 261 | 5668051,781 | 555,846 | 1728730 | 1712850 | 16953,050 | 16797,320 |
| | 165 | | 268797,194 | 26,360 | | | | |
| | 165 | 1304 | 268797,194 | 26,360 | 1712830 | 1696950 | 16797,124 | 16641,395 |
| | 343 | | 5197503,735 | 509,701 | | | | |
| | 118 | 1317 | 3918524,675 | 384,276 | 1470850 | 1439100 | 14424,111 | 14112,75 |
| | 368 | | 3600556,765 | 353,094 | | | | |

Tabel 4.16. Pembacaan momen pada kolom

| Lantai | No. Batang | Momen | | Gaya Normal (Kg) | Gaya Normal (KN) |
|--------|------------|------------|--------|------------------|------------------|
| | | Kg.cm | KN.m | Fx | Fx |
| 1 | 272 | 82933,520 | 8,133 | 26104,313 | 255,996 |
| | 271 | 90234,689 | 8,849 | 28126,445 | 275,826 |
| | 273 | 101573,932 | 9,961 | 24777,509 | 242,984 |
| | 274 | 100615,399 | 9,867 | 23506,569 | 230,521 |
| 2 | 279 | 86186,414 | 8,452 | 24590,797 | 241,153 |
| | 1324 | 87348,891 | 8,566 | 19266,187 | 188,937 |
| | 280 | 103154,492 | 10,116 | 22975,952 | 225,317 |
| | 1325 | 98677,938 | 9,677 | 17957,966 | 176,107 |

Tabel 4.17. Pembacaan momen pada bresing

4.6 Simpangan Antarlantai (Story Drift) Δa

Dari analisis software Staad Pro didapat simpangan yang terjadi pada masing – masing lantai. Berdasarkan SNI 1726-2012, simpangan antarlantai hanya ada kondisi kinerja batas ultimit saja.

Perhitungan simpangan antarlantai (story drift) kinerja batas ultimit pada lantai 15 arah sumbu X :

- Nilai perpindahan elastis (total drift) dari STAAD Pro yang dihitung akibat gaya gempa pada lantai 15, yaitu 1,3284 cm. Jadi nilai $\delta e_{15} = 13,284 \text{ mm}$
- Nilai perpindahan elastis (total drift) dari STAAD Pro yang dihitung akibat gaya gempa pada lantai 14, yaitu 1,3228 cm. Jadi nilai $\delta e_{14} = 13,228 \text{ mm}$
- Hitung simpangan atau perpindahan antarlantai untuk lantai 15 yaitu dengan persamaan : $(\delta e_{15} - \delta e_{14}) = 13,284 - 13,228 = 0,056 \text{ mm}$
- Hitung nilai perpindahan antarlantai (story drift) yang diperbesar, yaitu :

$$\frac{(\delta e_7 - \delta e_6)}{I_e} C_d = 0,308 \text{ mm}$$

Story Drift Δa antarlantai tidak boleh lebih besar dari :

$$\Delta a = 0,020 h_{sx} \dots \text{SNI 1726-2012 Pasal 7.12.1}$$

Untuk lantai 2 dimana $h = 5,50 \text{ m}$, maka :

$$\Delta a = 0,020 \times 5,50 = 0,11 \text{ m} = 110 \text{ mm}$$

Untuk lantai 3 - Atap dimana $h = 3,50 \text{ m}$, maka :

$$\Delta a = 0,020 \times 3,5 = 0,07 \text{ m} = 70 \text{ mm}$$

Cek nilai simpangan antarlantai (story drift) pada lantai 15, yaitu $0,308 \text{ mm} < 70 \text{ mm}$ OK !

Hasil perhitungan simpangan antarlantai (story drift) selanjutnya dapat dilihat pada tabel di bawah ini.

| Lantai | Total Drift | Perpindahan | Story Drift | Story Drift Izin | Story Drift $< \Delta_a$ |
|--------|-------------|-------------|-------------|------------------|--------------------------|
| | (mm) | (mm) | (mm) | Δ_a | |
| Atap | 13,284 | 0,056 | 0,308 | 70 | OK |
| 15 | 13,228 | 0,217 | 1,194 | 70 | OK |
| 14 | 13,011 | 0,377 | 2,073 | 70 | OK |
| 13 | 12,634 | 0,525 | 2,888 | 70 | OK |
| 12 | 12,109 | 0,658 | 3,619 | 70 | OK |
| 11 | 11,451 | 0,781 | 4,296 | 70 | OK |
| 10 | 10,670 | 0,890 | 4,895 | 70 | OK |
| 9 | 9,780 | 0,987 | 5,429 | 70 | OK |
| 8 | 8,793 | 1,074 | 5,907 | 70 | OK |
| 7 | 7,719 | 1,142 | 6,281 | 70 | OK |
| 6 | 6,577 | 1,207 | 6,639 | 70 | OK |
| 5 | 5,37 | 1,256 | 6,908 | 70 | OK |
| 4 | 4,114 | 1,295 | 7,1225 | 70 | OK |
| 3 | 2,819 | 1,314 | 7,227 | 70 | OK |
| 2 | 1,505 | 1,505 | 8,278 | 110 | OK |

Tabel 4.18. Story drift arah sumbu X

Perhitungan simpangan antarlantai (story drift) kinerja batas ultimit pada lantai 15 arah sumbu Z :

- Nilai perpindahan elastis (total drift) dari STAAD Pro yang dihitung akibat gaya gempa pada lantai 15, yaitu 2,1570 cm. Jadi nilai $\delta e_{15} = 21,570$ mm
- Nilai perpindahan elastis (total drift) dari STAAD Pro yang dihitung akibat gaya gempa pada lantai 14, yaitu 2,0527 cm. Jadi nilai $\delta e_{14} = 20,527$ mm
- Hitung simpangan atau perpindahan antarlantai untuk lantai 15 yaitu dengan persamaan : $(\delta e_{15} - \delta e_{14}) = 21,570 - 20,527 = 1,043$ mm
- Hitung nilai perpindahan antarlantai (story drift) yang diperbesar, yaitu :

$$\frac{(\delta e_7 - \delta e_6)}{I_e} C_d = 5,737 \text{ mm}$$

Story Drift Δa antarlantai tidak boleh lebih besar dari :

$\Delta a = 0,020 h_{sx}$ SNI 1726-2012 Pasal 7.12.1

Untuk lantai 2 dimana $h = 5,50$ m, maka :

$$\Delta a = 0,020 \times 5,50 = 0,11 \text{ m} = 110 \text{ mm}$$

Untuk lantai 3 - Atap dimana $h = 3,50$ m, maka :

$$\Delta a = 0,020 \times 3,5 = 0,07 \text{ m} = 70 \text{ mm}$$

Cek nilai simpangan antarlantai (story drift) pada lantai 15, yaitu
 $5,737 \text{ mm} < 70$ OK !

Hasil perhitungan simpangan antarlantai (story drift) selanjutnya dapat dilihat pada tabel di bawah ini.

| Lantai | Total Drift | Perpindahan | Story Drift | Story Drift Izin | Story Drift $< \Delta_a$ |
|--------|-------------|-------------|-------------|------------------|--------------------------|
| | (mm) | (mm) | (mm) | Δ_a | |
| Atap | 21,570 | 1,043 | 5,737 | 70 | OK |
| 15 | 20,527 | 1,168 | 6,424 | 70 | OK |
| 14 | 19,359 | 1,285 | 7,068 | 70 | OK |
| 13 | 18,074 | 1,392 | 7,656 | 70 | OK |
| 12 | 16,682 | 1,481 | 8,145 | 70 | OK |
| 11 | 15,201 | 1,550 | 8,525 | 70 | OK |
| 10 | 13,651 | 1,597 | 8,784 | 70 | OK |
| 9 | 12,054 | 1,625 | 8,938 | 70 | OK |
| 8 | 10,429 | 1,630 | 8,965 | 70 | OK |
| 7 | 8,799 | 1,615 | 8,883 | 70 | OK |
| 6 | 7,184 | 1,578 | 8,679 | 70 | OK |
| 5 | 5,606 | 1,520 | 8,36 | 70 | OK |
| 4 | 4,086 | 1,435 | 7,8925 | 70 | OK |
| 3 | 2,651 | 1,307 | 7,189 | 70 | OK |
| 2 | 1,344 | 1,344 | 7,392 | 110 | OK |

Tabel 4.19. Story drift arah sumbu Z

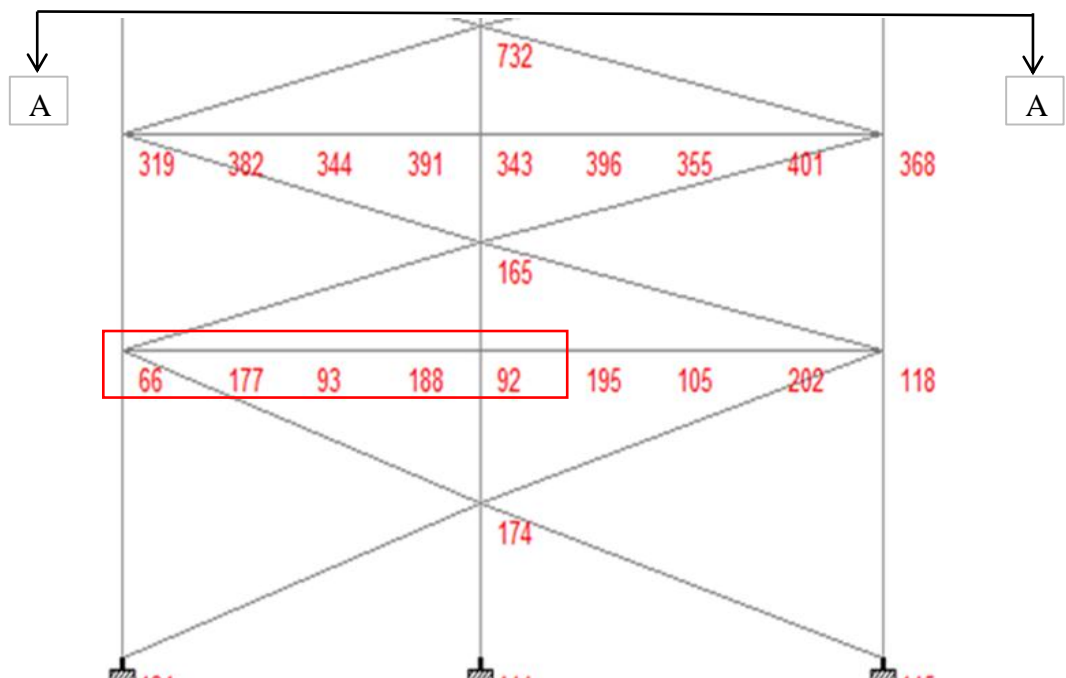
BAB 5

PENULANGAN STRUKTUR

5.1 Perhitungan Penulangan Balok

- | | | | | | |
|---------------------|---|--------|-----------------------|---|---------|
| ● Tebal plat lantai | = | 120 mm | ● Mutu Beton | = | 35 Mpa |
| ● Tinggi Balok | = | 750 mm | ● Mutu Tulangan tarik | = | 390 Mpa |
| ● Lebar Balok | = | 500 mm | ● Dia. Tul.Sengkang | = | 10 mm |
| ● Dia. Tul. Tarik | = | 22 mm | ● Mutu Tul. Sengkang | = | 240 Mpa |
| ● Tebal selimut | = | 40 mm | ● β_1 | = | 0,81 |
| ● Tebal plat atap | = | 100 mm | ● Panjang Bentang | = | 8000 mm |

5.1.1 Perhitungan Penulangan Balok Pada Portal Line 1 Potongan A-A



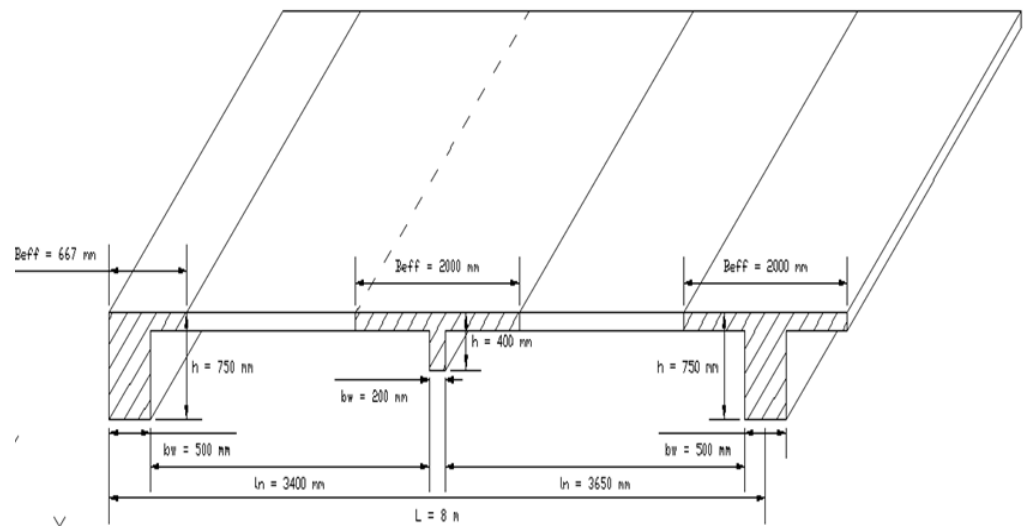
Gambar 5.1. Portal memanjang line 1 dan letak balok yang direncanakan

- Penulangan Lentur balok L

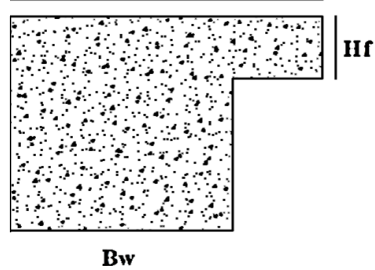
$$d' = \text{Tebal Selimut Beton} + \text{diameter sengkang} + 1/2 \text{ dia. Tul. Tarik}$$

$$= 40 + 10 + 1/2 \times 22 \\ = 61 \text{ mm}$$

$$d = h - d' \\ = 750 - 61 \\ = 689 \text{ mm}$$



Gambar 5.2. Penampang balok yang akan direncanakan
Bef



Gambar 5.3. Panjang beff

$$bw = 500 \text{ mm}$$

$$hf = 120 \text{ mm}$$

$$h = 750 \text{ mm}$$

$$L = 8000 \text{ mm}$$

- Menentukan lebar manfaat balok L yang mempunyai flens satu sisi.

$$beff \leq 1/12 \text{ dari bentang balok (panjang balok)}$$

$$\leq 1/12 \times 8000 = 667 \text{ mm}$$

$$beff \leq bw + 6 \text{ kali tebal plat}$$

$$\leq 500 + 6 \times 120 = 1220 \text{ mm}$$

$$beff \leq bw + 1/2 \text{ jarak bersih dari badan balok yang bersebelahan}$$

$$\leq 500 + 1/2 \times 3400 = 2200 \text{ mm}$$

Dipakai Nilai terkecil = 667 mm

Tulangan minimal sedikitnya harus dihitung menurut SNI 2847- 2013

Pasal 10.5.1 :

$$As_{min} = \frac{0,25\sqrt{fc}}{fy} b_w d = \frac{0,25\sqrt{30}}{390} \times 500 \times 689 = 1306,468 \text{ mm}^2$$

dan

$$As_{min} = \frac{1,4 \times b_w \times d}{fy} = \frac{1,4 \times 500 \times 689}{390} = 1236,6667 \text{ mm}^2$$

$$n = \frac{As_{min}}{1/4 \pi \phi^2} = \frac{1306,468}{1/4 \cdot \pi \cdot 22^2} = 3,439 = 4$$

Maka dipakai tulangan minimal :

$$4 D 22 \quad (As = 1519,760 \text{ mm}^2 > 1306,468 \text{ mm}^2)$$

dan

$$(As = 1519,760 \text{ mm}^2 > 1236,667 \text{ mm}^2)$$

A. Perhitungan penulangan tumpuan kiri

$$\begin{aligned} Mu^+ &= 525,860 \text{ kNm} \\ &= 525860000 \text{ Nmm} \\ Mu^- &= 0 \text{ kNm} \\ &= 0 \text{ Nmm} \end{aligned}$$

Kontrol Momen Positif

Dicoba pemasangan tulangan sebagai berikut :

- Tulangan yang terpasang pada daerah tekan 6 D 22 ($As = 2279,640 \text{ mm}^2$)
- Tulangan yang terpasang pada daerah tarik 3 D 22 ($As' = 1139,820 \text{ mm}^2$)
- Tulangan bagi plat terpasang di sepanjang beff 6 Ø 12 ($As_{plat} = 678,240 \text{ mm}^2$)

$$\begin{aligned} \text{Tulangan tekan } As'_{plat} &= 6 \text{ Ø 12} = 678,240 \text{ mm}^2 \\ As'_{balok} &= 6 \text{ D 22} = 2279,640 \text{ mm}^2 \\ As' &= 2957,880 \text{ mm}^2 \end{aligned}$$

$$\text{Tulangan tarik As} = 3 \text{ D 22} = 1139,820 \text{ mm}^2$$

$$y_1 = \text{Tebal selimut beton plat} + 1/2 \cdot \text{Ø tulangan plat}$$

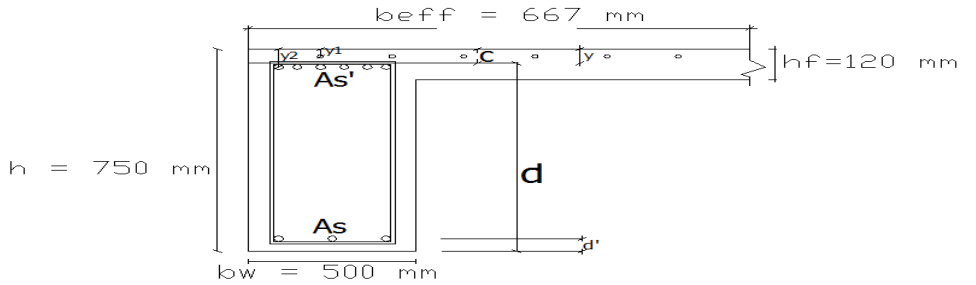
$$y_1 = 20 + 1/2 \times 12 = 26 \text{ mm}$$

$$y_2 = \text{Tebal selimut beton} + \text{Ø sengkang} + 1/2 D \text{ tulangan tarik}$$

$$y_2 = 40 + 10 + 1/2 \times 22 = 61 \text{ mm}$$

$$\begin{aligned} y &= \frac{As_{plat} \times y_1 + As_{Balok} \times y_2}{As_{plat} + As} \\ y &= d' = \frac{678,2 \times 26 + 2279,64 \times 61}{3636,12} = 43 \text{ mm} \\ d &= 750 - 43,09 = 707 \text{ mm} \end{aligned}$$

Tumpuan Kiri (M+)



Gambar 5.4. Penampang balok dan diagram tegangan momen positif tumpuan kiri

Dimisalkan garis netral $> y_2$ maka perhitungan garis netral harus dicari menggunakan persamaan :

$$0,85 \cdot f_c \cdot a \cdot b + As' \cdot fs' = As \cdot fy$$

$$\text{Substitusi nilai : } fs' = \frac{(c - d')}{c} \times 600$$

$$(0,85 \cdot f_c \cdot a \cdot b) + As' \frac{(c - d')}{c} \times 600 = As \cdot fy$$

$$(0,85 \cdot f_c \cdot a \cdot b) + As'(c - d') \cdot 600 = As \cdot fy \cdot c$$

$$\text{Substitusi nilai : } a = \beta_1 \cdot c$$

$$(0,85 \cdot f_c \cdot \beta_1 \cdot c \cdot b) + As'(c - d') \cdot 600 = As \cdot fy \cdot c$$

$$(0,85 \cdot f_c \cdot \beta_1 \cdot b) \cdot c^2 + 600As' \cdot c - 600As' \cdot d' = As \cdot fy \cdot c$$

$$(0,85 \cdot f_c \cdot \beta_1 \cdot b) \cdot c^2 + 600As' \cdot c - 600As' \cdot d' - As \cdot fy \cdot c = 0$$

$$(0,85 \cdot f_c \cdot \beta_1 \cdot b) \cdot c^2 + (600As' - As \cdot fy) \cdot c - 600As \cdot d' = 0$$

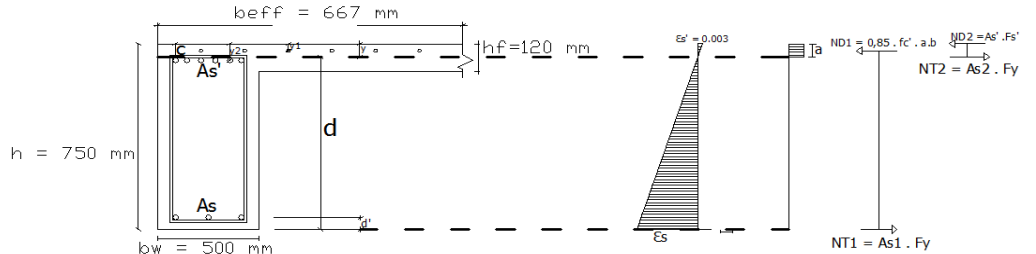
$$(0,85 \cdot 35 \cdot 0,81 \cdot 500)c^2 + (600 \cdot 2279,64 - 2957,88 \cdot 390)c - 600 \cdot 1139,82 \cdot 43,0932642487047$$

$$9862,125 c^2 + 214211 c - 29471139 = 0$$

$$c = 44,874 \text{ mm}$$

Karena $c < y_2$, tulangan tekan sebagian mengalami gaya tarik maka nilai c harus dihitung ulang.

Tumpuan Kiri (M+)



Gambar 5.5. Penampang balok dan diagram tegangan momen positif tumpuan kiri yang sudah dihitung ulang

Dimisalkan garis netral diantara y1 dan y2 maka perhitungan garis netral dicari
 $0,85 \cdot f'_c \cdot a \cdot b_{eff} + A_{plat}' \cdot f'_s = A_s1 \cdot f_s + A_s2 \cdot f_{y_{ulir}}$

$$\text{Substitusi nilai : } f'_s = \frac{(c - y_1)}{c} \times 600 \quad \text{dan} \quad f_s = f_{y_{ulir}}$$

$$(0,85 \cdot f'_c \cdot a \cdot b_{eff}) + A_{plat}' \cdot \frac{(c - y_1)}{c} \times 600 = A_s1 \cdot f_{y_{ulir}} + A_s2 \cdot f_{y_{ulir}}$$

$$(0,85 \cdot f'_c \cdot a \cdot b_{eff}) \cdot c + A_{plat}' \cdot (c - y_1) \cdot 600 = A_s1 \cdot f_{y_{ulir}} \cdot c + A_s2 \cdot f_{y_{ulir}} \cdot c$$

$$\text{Substitusi nilai : } a = \beta_1 \cdot c$$

$$(0,85 \cdot f'_c \cdot \beta_1 \cdot c \cdot b_{eff}) \cdot c + A_{plat}' \cdot (c - y_1) \cdot 600 = A_s1 \cdot f_{y_{ulir}} \cdot c + A_s2 \cdot f_{y_{ulir}} \cdot c$$

$$(0,85 \cdot f'_c \cdot \beta_1 \cdot b_{eff}) \cdot c^2 + 600 \cdot A_{plat}' \cdot c - 600 \cdot A_{plat}' \cdot y_1 = A_s1 \cdot f_{y_{ulir}} \cdot c + A_s2 \cdot f_{y_{ulir}} \cdot c$$

$$(0,85 \cdot f'_c \cdot \beta_1 \cdot b_{eff}) \cdot c^2 + (600 \cdot A_{plat}' - A_s1 \cdot f_{y_{ulir}} - A_s2 \cdot f_{y_{ulir}}) \cdot c - 600 \cdot A_{plat}' \cdot y_1 = 0$$

$$(0,85 \cdot 35 \cdot 0,81 \cdot 666,6666666667) \cdot c^2 + (600 \cdot 678,24 - 2957,88 \cdot 390 - 2279,64 \cdot 390) \cdot c - 600 \cdot 678,24 \cdot 26$$

$$16065 \cdot c^2 - 1635689 - 10580544 = 0$$

$$c = 107,92 \text{ mm}$$

$$a = \beta \cdot c$$

$$= 0,81 \times 107,9 = 87,415 \text{ mm}$$

$$f'_s = \varepsilon s' \cdot E_s$$

$$= \frac{(c - y_1)}{c} \times \varepsilon c \times E_s$$

$$= \frac{107,92 - 26}{107,920} \times 0,003 \times 200000 = 455,448 \text{ Mpa}$$

$$f_s = f_{y_{ulir}} = 390 \text{ Mpa}$$

Menghitung gaya tekan dan tarik

$$\begin{aligned} ND_1 &= 0,85 \cdot f'_c \cdot a \cdot b_{eff} \\ &= 0,85 \times 35 \times 87,41 \times 666,7 \\ &= 1733729,710 \text{ N} \end{aligned}$$

$$\begin{aligned} ND_2 &= A_s' \times f'_s \\ &= 678,24 \times 455,45 \\ &= 308903,0895 \text{ N} \end{aligned}$$

$$\begin{aligned}
 NT_1 &= As1 \quad x \quad fy \\
 &= 2957,88 \quad x \quad 390 \\
 &= 1153573 \quad N
 \end{aligned}$$

$$\begin{aligned}
 NT_2 &= As2 \quad x \quad fy \\
 &= 2279,64 \quad x \quad 390 \\
 &= 889060 \quad N
 \end{aligned}$$

$$\begin{aligned}
 ND_1 + ND_2 &= NT_1 + NT_2 \\
 1733730 + 308903,09 &= 1153573,2 + 889059,6 \\
 2042633 &= 2042632,8
 \end{aligned}$$

$$\begin{aligned}
 Z_1 &= d - (1/2 \cdot a) \\
 &= 706,907 - (1/2 \quad x \quad 87,415) \\
 &= 663,199 \quad mm
 \end{aligned}$$

$$\begin{aligned}
 Z_2 &= d' - y_1 \\
 &= 43,093 - 26,00 \\
 &= 17,093 \quad mm
 \end{aligned}$$

$$\begin{aligned}
 Mn &= (NT_1 \cdot Z_1) + (NT_2 \cdot Z_2) \\
 &= 1153573,2 \quad x \quad 663,199 + 889059,6 \quad x \quad 17,093 \\
 &= 780245827,953 \quad Nmm
 \end{aligned}$$

$$\begin{aligned}
 Mr &= \phi \quad x \quad Mn \\
 &= 0,9 \quad x \quad 780245827,953 \\
 &= 702221245,2 \quad Nmm
 \end{aligned}$$

$$\begin{aligned}
 \phi Mn &> Mu \\
 702221245,2 \quad Nmm &> 525860000 \quad Nmm \quad (\textbf{Aman})
 \end{aligned}$$

B. Perhitungan penulangan lapangan

$$\begin{aligned} Mu^+ &= 217,55 \text{ kNm} \\ &= 217550000 \text{ Nmm} \end{aligned}$$

Dicoba pemasangan tulangan sebagai berikut :

- Tulangan yang terpasang pada daerah tekan 2 D 22 ($As = 759,880 \text{ mm}^2$)
- Tulangan yang terpasang pada daerah tarik 2 D 22 ($As' = 759,880 \text{ mm}^2$)
- Tulangan bagi plat terpasang di sepanjang beff 6 Ø 12 ($As_{plat} = 678,240 \text{ mm}^2$)

Kontrol Momen Positif

$$\begin{aligned} \text{Tulangan tekan } As'_{plat} &= 6 \text{ } \emptyset 12 = 678,240 \text{ mm}^2 \\ As'_{balok} &= 2 \text{ D } 22 = 759,880 \text{ mm}^2 \\ As' &= 1438,120 \text{ mm}^2 \end{aligned}$$

$$\text{Tulangan tarik } As = 2 \text{ D } 22 = 759,880 \text{ mm}^2$$

$$y_1 = \text{Tebal selimut beton plat} + 1/2 \cdot \emptyset \text{ tulangan plat}$$

$$y_1 = 20 + 1/2 \times 12 = 26 \text{ mm}$$

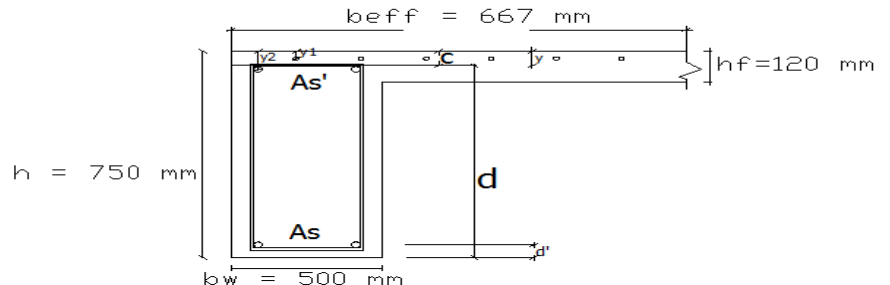
$$y_2 = \text{Tebal selimut beton} + \emptyset \text{ sengkang} + 1/2 D \text{ tulangan tarik}$$

$$y_2 = 40 + 10 + 1/2 \times 22 = 61 \text{ mm}$$

$$\begin{aligned} y &= \frac{As_{plat} \times y_1 + As_{Balok} \times y_2}{As_{plat} + As} \\ &= d' = \frac{678,2 \times 26 + 759,880 \times 61}{2116,36} = 30,234 \text{ mm} \end{aligned}$$

$$d = 750 - 30,23 = 719,766 \text{ mm}$$

Tumpuan Lapangan (M+)



Gambar 5.6. Penampang balok dan diagram tegangan momen positif lapangan

Dimisalkan garis netral $> y_2$ maka perhitungan garis netral harus dicari menggunakan persamaan :

$$0,85 \cdot f_c \cdot a \cdot b + A_s' \cdot f_{s'} = A_s \cdot f_y$$

$$\text{Substitusi nilai : } fs' = \frac{(c - d')}{c} \times 600$$

$$(0,85 \cdot f_c \cdot a \cdot b) + As' \frac{(c - d')}{c} \times 600 = As \cdot fy$$

$$(0.85 \cdot f'c' \cdot a \cdot b) \cdot c + As'(c-d') \cdot 600 = As \cdot fy \cdot c$$

Substitusi nilai : $a = \beta_1.c$

$$(0.85.f'c'.\beta 1.c.b).c + As'(c-d').600 = As.fy.c$$

$$(0.85 \cdot f_c' \cdot \beta_1 \cdot b) \cdot c^2 + 600 \cdot A_s' \cdot c - 600 \cdot A_s' \cdot d' = A_s \cdot f_y \cdot c$$

$$(0.85.f_c.\beta_1.b)c^2 + 600A_s'.c - 600A_s'.d' - A_s.f_y.c = 0$$

$$(0.85.f.c.\beta 1.b)c^2 + (600As' - As.fy).c - 600As.d' = 0$$

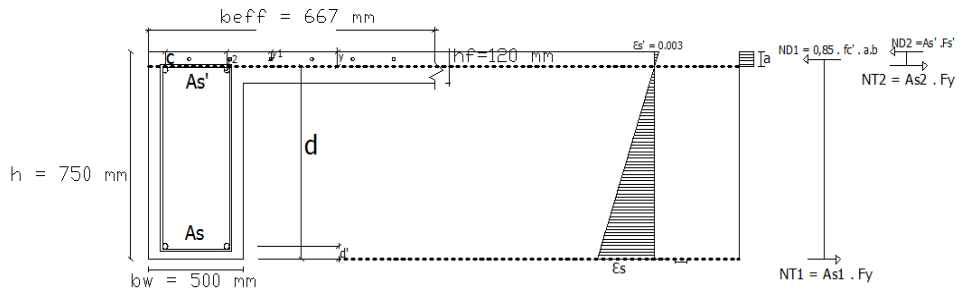
$$(0.85 \cdot 1438,12 \cdot 0,81 \cdot 500)c^2 + (600 \cdot -759,88 \cdot 390)c - 600 \cdot 759,88 \cdot 30,2344213649852$$

$$9862,13 \quad c^2 \quad + \quad 566518,8 \quad c \quad - \quad 13784719 \quad = \quad 0$$

$$c = 18,424 \text{ mm}$$

Karena $c < y_2$, tulangan tekan sebagian mengalami gaya tarik maka nilai c harus dihitung ulang.

Tumpuan Lapangan (M+)



G

Dimisalkan garis netral diantara y1 dan y2 maka perhitungan garis netral dicari

$$0,85 \cdot f_c \cdot a \cdot b_{eff} + A_{spat} \cdot f_s' = A_{s1} \cdot f_s + A_{s2} \cdot f_{y_{ulir}}$$

$$\text{Substitusi nilai : } fs' = \frac{(c - yI)}{c} \times 600 \quad \text{dan} \quad fs = fy_{\text{ulir}}$$

$$(0.85.f'c.a.beff) + As_{plat'} \cdot \frac{(c - yI)}{c} \times 600 = As1 \cdot fy_{ulir} + As2 \cdot fy_{ulir}$$

$$(0.85 \cdot f_c \cdot a \cdot b_{eff}) \cdot c + A_{plat} \cdot (c - y_1) \cdot 600 = A_{s1} \cdot f_y_{ulir} \cdot c + A_{s2} \cdot f_y_{ulir} \cdot c$$

Substitusi nilai : $a = \beta_1 \cdot c$

$$(0,85 \cdot f_c \cdot \beta_1 \cdot c \cdot b_{eff}) \cdot c + A_{plat}' \cdot (c - y_1) \cdot 600 = A_{s1} \cdot f_{y_{ulir}} \cdot c + A_{s2} \cdot f_{y_{ulir}} \cdot c$$

$$(0,85 \cdot f_c \cdot \beta_1 \cdot b_{eff}) \cdot c^2 + 600 \cdot A_{plat}' \cdot c - 600 \cdot A_{plat}' \cdot y_1 = A_{s1} \cdot f_{y_{ulir}} \cdot c + A_{s2} \cdot f_{y_{ulir}} \cdot c$$

$$(0,85 \cdot f_c \cdot \beta_1 \cdot b_{eff}) \cdot c^2 + (600 \cdot A_{plat}' - A_{s1} \cdot f_{y_{ulir}} - A_{s2} \cdot f_{y_{ulir}}) \cdot c - 600 \cdot A_{plat}' \cdot y_1 = 0$$

$$(0,85 \cdot 35 \cdot 0,81 \cdot 666,6666666667) \cdot c^2 + (600 \cdot 678,24 - 1438,12 \cdot 390 - 759,88 \cdot 390) \cdot c$$

$$- 600 \cdot 678,24 \cdot 26$$

$$16065 \quad c^2 \quad - \quad 450276 \quad - \quad 10580544 \quad = \quad 0$$

$$c = 43,255 \text{ mm}$$

$$a = \beta \cdot c$$

$$= 0,81 \times 43,25 = 35,036 \text{ mm}$$

$$f_s' = \epsilon s' \cdot E_s$$

$$= \frac{(c - y_1)}{c} \times \epsilon c \times E_s$$

$$= \frac{43,255 - 26}{43,25} \times 0,003 \times 200000 = 239,345 \text{ Mpa}$$

$$f_s = f_{y_{ulir}} = 390 \text{ Mpa}$$

Menghitung gaya tekan dan tarik

$$\begin{aligned} ND_1 &= 0,85 \cdot f_c \cdot a \cdot b_{eff} \\ &= 0,85 \times 35 \times 35,036 \times 666,7 \\ &= 694886,399 \text{ N} \end{aligned}$$

$$\begin{aligned} ND_2 &= A_s' \times f'_s \\ &= 678,240 \times 239,345 \\ &= 162333,601 \text{ N} \end{aligned}$$

$$\begin{aligned} NT_1 &= A_{s1} \times f_y \\ &= 1438,120 \times 390 \\ &= 560866,800 \text{ N} \end{aligned}$$

$$\begin{aligned}
 NT_2 &= As2 \quad x \quad fy \\
 &= 759,880 \quad x \quad 390 \\
 &= 296353,200 \quad N
 \end{aligned}$$

$$\begin{aligned}
 ND_1 + ND_2 &= NT_1 + NT_2 \\
 694886,4 + 162333,6 &= 560866,8 + 296353,2 \\
 857220,00 &= 857220,00
 \end{aligned}$$

$$\begin{aligned}
 Z_1 &= d - (1/2 \cdot a) \\
 &= 719,766 - (1/2 \quad x \quad 35,036) \\
 &= 702,247 \quad mm
 \end{aligned}$$

$$\begin{aligned}
 Z_2 &= d' - y1 \\
 &= 30,234 - 26,00 \\
 &= 4,23 \quad mm
 \end{aligned}$$

$$\begin{aligned}
 Mn &= (NT_1 \cdot Z_1) + (NT_2 \cdot Z_2) \\
 &= 560866,8 \quad x \quad 702,247 \quad + \quad 296353,2 \quad x \quad 4,234 \\
 &= 395122155,505 \quad Nmm
 \end{aligned}$$

$$\begin{aligned}
 Mr &= \phi \quad x \quad Mn \\
 &= 0,9 \quad x \quad 395122155,505 \\
 &= 355609940 \quad Nmm
 \end{aligned}$$

$$\begin{aligned}
 \phi Mn &> Mu \\
 355609940 \quad Nmm &> 217550000 \quad Nmm \quad (\text{Aman})
 \end{aligned}$$

C. Perhitungan penulangan tumpuan kanan

$$\begin{aligned} Mu^+ &= 535,800 \text{ kNm} \\ &= 535800000 \text{ Nmm} \end{aligned}$$

Kontrol Momen Positif

Dicoba pemasangan tulangan sebagai berikut :

- Tulangan yang terpasang pada daerah tekan 6 D 22 ($As = 2279,640 \text{ mm}^2$)
- Tulangan yang terpasang pada daerah tarik 3 D 22 ($As' = 1139,820 \text{ mm}^2$)
- Tulangan bagi plat terpasang di sepanjang beff 6 Ø 12 ($As_{plat} = 678,240 \text{ mm}^2$)

$$\begin{aligned} \text{Tulangan tekan } As'_{plat} &= 6 \text{ Ø 12} = 678,240 \text{ mm}^2 \\ As'_{balok} &= 6 \text{ D 22} = 2279,640 \text{ mm}^2 \\ As' &= 2957,880 \text{ mm}^2 \end{aligned}$$

$$\text{Tulangan tarik } As = 3 \text{ D 22} = 1139,820 \text{ mm}^2$$

$$y_1 = \text{Tebal selimut beton plat} + 1/2 \cdot \text{Ø tulangan plat}$$

$$y_1 = 20 + 1/2 \times 10 = 25 \text{ mm}$$

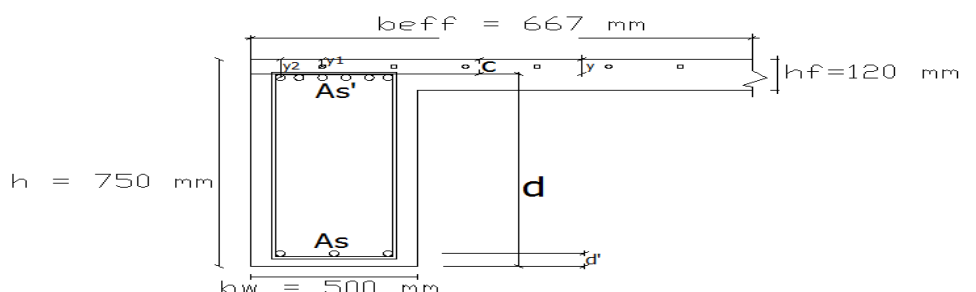
$$y_2 = \text{Tebal selimut beton} + \text{Ø sengkang} + 1/2 \text{ D tulangan tarik}$$

$$y_2 = 40 + 10 + 1/2 \times 22 = 61 \text{ mm}$$

$$y = d' = \frac{678,2 \times 25 + 2279,64 \times 61}{2957,880} = 52,745 \text{ mm}$$

$$d = 600 - 52,75 = 547,255 \text{ mm}$$

Tumpuan Kanan (M+)



Gambar 5.8. Penampang balok dan diagram tegangan momen positif tumpuan kanan

Dimisalkan garis netral $> y_2$ maka perhitungan garis netral harus dicari menggunakan persamaan :

$$0,85 \cdot f'_c \cdot a \cdot b + A_{s'} \cdot f_{s'} = A_s \cdot f_y$$

$$\text{Substitusi nilai : } fs' = \frac{(c - d')}{c} x \quad 600$$

$$(0,85 \cdot f_c \cdot a \cdot b) + As' \frac{(c - d')}{c} \times 600 = As \cdot fy$$

$$(0.85.f'c'.a.b).c + As'(c-d').600 = As.fy.c$$

Substitusi nilai : $a = \beta_1.c$

$$(0.85.f'c'.\beta 1.c.b).c + As'(c-d').600 = As.fy.c$$

$$(0.85 \cdot f_c' \cdot \beta_1 \cdot b) \cdot c^2 + 600 \cdot A_s' \cdot c - 600 \cdot A_s' \cdot d' = A_s \cdot f_y \cdot c$$

$$(0.85.f_c.\beta_1.b)c^2 + 600A_s'.c - 600A_s'.d' - A_s.f_y.c = 0$$

$$(0.85.f.c.\beta 1.b)c^2 + (600As' - As.fy).c - 600As.d' = 0$$

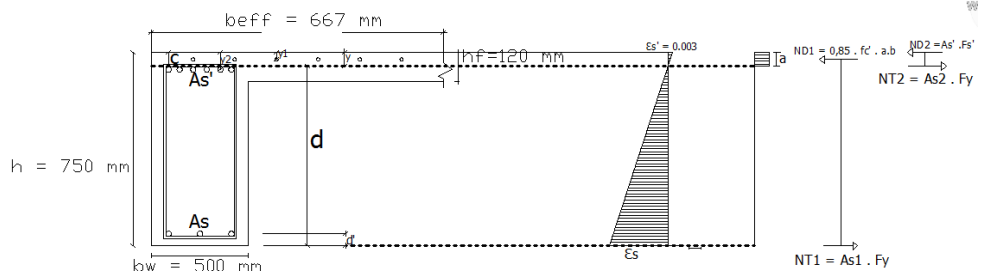
$$(0.85 \cdot 35 \cdot 0.81 \cdot 390)c^2 + (600 \cdot 2279.64 - 2957.88 \cdot 390)c - 600 \cdot 1139.82 \cdot 52.7452229299363$$

$$9862,13 \quad c^2 \quad + \quad 214210,8 \quad c \quad - \quad 36072036 \quad = \quad 0$$

$$c = 50,585 \text{ mm}$$

Karena $c < y_2$, tulangan tekan sebagian mengalami gaya tarik maka nilai c harus dihitung ulang.

Tumpuan kanan (M+)



Gambar 5.9. Penampang balok dan diagram tegangan momen positif tumpuan kanan yang sudah dihitung ulang

Dimisalkan garis netral diantara y1 dan y2 maka perhitungan garis netral dicari
 $0,85 \cdot f_c \cdot a \cdot b_{eff} + A_{plat} \cdot f_s' = A_s1 \cdot f_s + A_s2 \cdot f_{y_{ulir}}$

$$\text{Substitusi nilai : } fs' = \frac{(c - yI)}{c} \times 600 \quad \text{dan} \quad fs = fy_{\text{ulir}}$$

$$(0.85 \cdot f.c.a.beff) + As_{plat} \cdot \frac{(c - yI)}{c} \times 600 = As1 \cdot fy_{ulir} + As2 \cdot fy_{ulir}$$

$$(0,85.f_c.a.beff).c + As_{plat}'.(c-y1).600 = As1 . fy_{ulir}.c + As2 . fy_{ulir} . c$$

Substitusi nilai : $a = \beta_1.c$

$$(0,85.f_c.\beta_1.c.beff).c + As_{plat}'.(c-y1).600 = As1 . fy_{ulir}.c + As2 . fy_{ulir} . C$$

$$(0,85.f_c.\beta_1.beff).c^2 + 600.As_{plat}'.c - 600.As_{plat}'.y1 = As1 . fy_{ulir}.c + As2 . fy_{ulir} . c$$

$$(0,85.f_c.\beta_1.beff).c^2 + (600.As_{plat}' - As1.fy_{ulir} - As2.fy_{ulir}).c - 600.As_{plat}'.y1 = 0$$

$$(0,85 . 35 . 0,81 . 666,6666666667)c^2 + (600 . 621 - 2957,88 . 390 - 2279,64 . 390)c$$

$$- 600 . 678,24 . 25$$

$$16065 c^2 - 1635688,800 - 10173600 = 0$$

$$c = 107,697 \text{ mm}$$

$$a = \beta.c$$

$$= 0,81 \times 107,7 = 87,235 \text{ mm}$$

$$fs' = \epsilon s' . Es$$

$$= \frac{(c - yI)}{c} \times \epsilon c \times Es$$

$$= \frac{107,7 - 25}{107,697} \times 0,003 \times 200000 = 460,720 \text{ Mpa}$$

$$fs = fy_{ulir} = 390 \text{ Mpa}$$

Menghitung gaya tekan dan tarik

$$\begin{aligned} ND_1 &= 0,85 . f_c . a . beff \\ &= 0,85 \times 35 \times 87,23 \times 666,7 \\ &= 1730153,748 \text{ N} \end{aligned}$$

$$\begin{aligned} ND_2 &= As' \times fs \\ &= 678,240 \times 460,720 \\ &= 312479,0519 \text{ N} \end{aligned}$$

$$\begin{aligned} NT_1 &= As1 \times fy \\ &= 2957,880 \times 390 \\ &= 1153573,200 \text{ N} \end{aligned}$$

$$\begin{aligned}
 NT_2 &= As2 \quad x \quad fy \\
 &= 2279,640 \quad x \quad 390 \\
 &= 889059,600 \quad N
 \end{aligned}$$

$$\begin{aligned}
 ND_1 + ND_2 &= NT_1 + NT_2 \\
 1730154 + 312479,05 &= 1153573,2 + 889059,6 \\
 2042632,80 &= 2042632,80
 \end{aligned}$$

$$\begin{aligned}
 Z_1 &= d - (1/2 \cdot a) \\
 &= 547,255 - (1/2 \quad x \quad 87,235) \\
 &= 503,637 \quad mm
 \end{aligned}$$

$$\begin{aligned}
 Z_2 &= d' - y1 \\
 &= 52,745 - 25,00 \\
 &= 27,745 \quad mm
 \end{aligned}$$

$$\begin{aligned}
 Mn &= (NT_1 \cdot Z_1) + (NT_2 \cdot Z_2) \\
 &= 1153573,2 \quad x \quad 503,637 + 889059,6 \quad x \quad 27,745 \\
 &= 605649828,200 \quad Nmm
 \end{aligned}$$

$$\begin{aligned}
 Mr &= \phi \quad x \quad Mn \\
 &= 0,9 \quad x \quad 605649828,200 \\
 &= 545084845,4 \quad Nmm
 \end{aligned}$$

$$\begin{aligned}
 \phi Mn &> Mu \\
 545084845,4 \quad Nmm &> 535800000 \quad Nmm \quad (\text{Aman})
 \end{aligned}$$

5.1.2 Perhitungan Penulangan Gaya Geser Pada Balok

- Penulangan Geser

$$\begin{aligned}
 b &= 500 \text{ mm} \\
 h &= 750 \text{ mm} \\
 d &= 689 \text{ mm} \\
 L &= 8000 \text{ mm} \\
 L_n &= 8000 - 1200 \\
 &= 6800 \text{ mm} \\
 f'_c &= 35 \text{ Mpa} \\
 f_{y_{ulir}} &= 390 \text{ Mpa} \\
 f_{y_{polos}} &= 240 \text{ Mpa}
 \end{aligned}$$

- Menghitung Mpr (Moment Probable Capacities)

Geser rencana akibat gempa pada balok dihitung dengan mengansumsikan sendi plastis terbentuk di ujung-ujung balok dengan tegangan tulangan lentur balok yang diperkuat mencapai $1,25 f_y$, dan faktor reduksi kuat lentur $\phi=1$.

- A). Kapasitas momen ujung balok apabila struktur bergoyang ke kanan

Kondisi 1 (searah jarum jam)

$$\begin{aligned}
 a &= \frac{1,25 \cdot A_s \cdot f_y}{0,85 \cdot f_{c'} \cdot b} = \frac{1,25 \times 1139,82 \times 390}{0,85 \times 35 \times 500} = 37,36 \text{ mm} \\
 M_{pr+} &= 1,25 \cdot A_s \cdot f_y \left(d - \frac{a}{2} \right) \\
 M_{pr+} &= 1,25 \times 1139,820 \times 390 \left(689 - \frac{37,36}{2} \right) \times 10^{-6} \\
 &= 372,473 \text{ kN-m}
 \end{aligned}$$

Kondisi 2 (berlawanan arah jarum jam)

$$\begin{aligned}
 a &= \frac{1,25 \cdot A_s' \cdot f_y}{0,85 \cdot f_{c'} \cdot b} = \frac{1,25 \times 2279,64 \times 390}{0,85 \times 35 \times 500} = 74,71 \text{ mm} \\
 M_{pr-} &= 1,25 \cdot A_s' \cdot f_y \left(d - \frac{a}{2} \right) \\
 M_{pr-} &= 1,25 \times 2279,640 \times 390 \left(689 - \frac{74,71}{2} \right) \times 10^{-6} \\
 &= 724,189 \text{ kN-m}
 \end{aligned}$$

b). Kapasitas momen ujung balok apabila struktur bergoyang ke kiri

Kondisi 3 (Searah Jarum Jam)

$$a = \frac{1,25 \cdot As \cdot fy}{0,85 \cdot fc' \cdot b} = \frac{1,25 \times 1139,820 \times 390}{0,85 \times 35 \times 500} = 37,36 \text{ mm}$$

$$Mpr_+ = 1,25 \cdot As' \cdot fy \left(d - \frac{a}{2} \right)$$

$$\begin{aligned} Mpr_+ &= 1,25 \times 1139,820 \times 390 \left(689 - \frac{37,36}{2} \right) \times 10^{-6} \\ &= 372,473 \text{ kN-m} \end{aligned}$$

Kondisi 4 (berlawanan arah jarum jam)

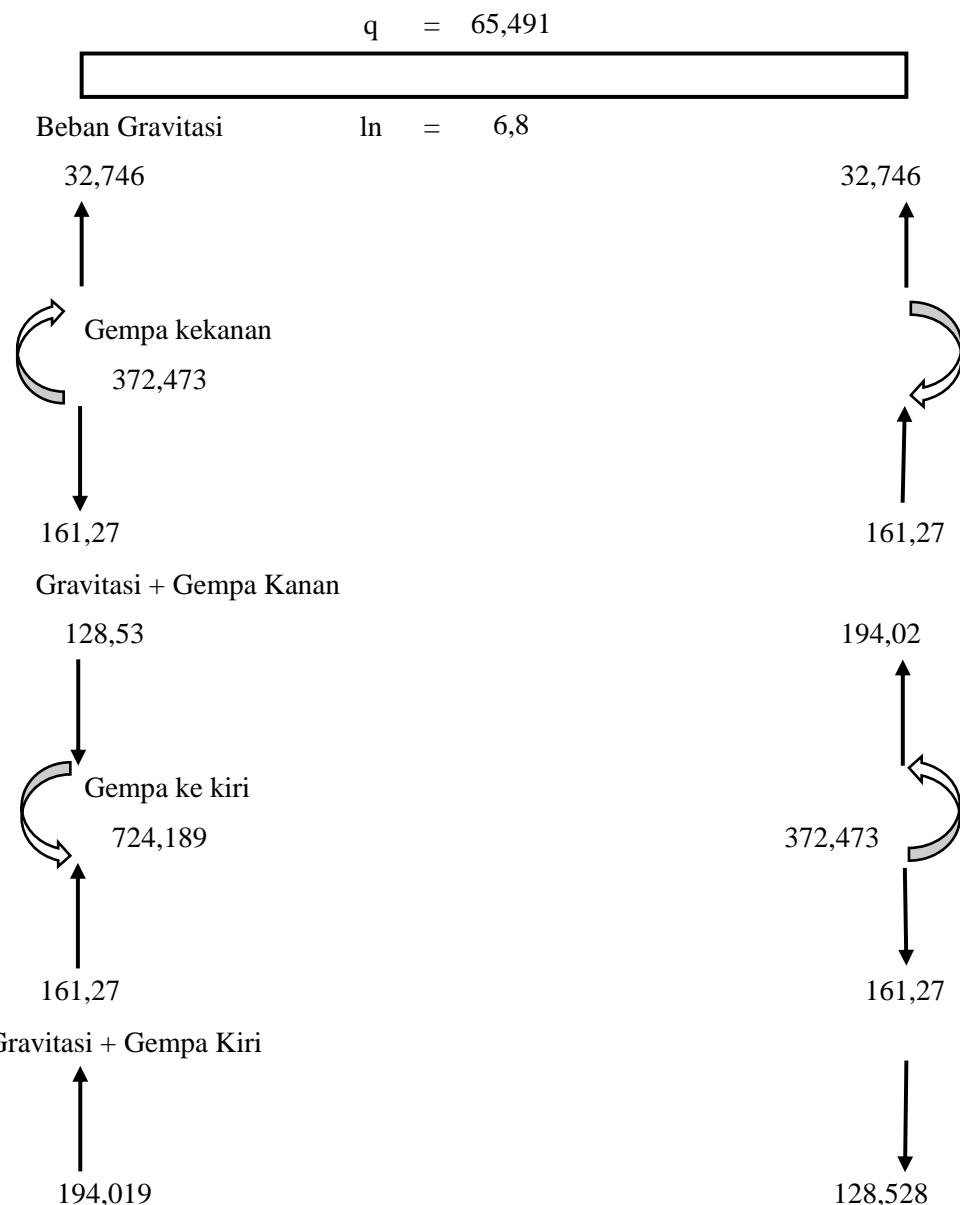
$$a = \frac{1,25 \cdot As' \cdot fy}{0,85 \cdot fc' \cdot b} = \frac{1,25 \times 2279,640 \times 390}{0,85 \times 35 \times 500} = 74,71 \text{ mm}$$

$$Mpr_+ = 1,25 \cdot As' \cdot fy \left(d - \frac{a}{2} \right)$$

$$\begin{aligned} Mpr_+ &= 1,25 \times 2279,640 \times 390 \left(689 - \frac{74,71}{2} \right) \times 10^{-6} \\ &= 724,189 \text{ kN-m} \end{aligned}$$

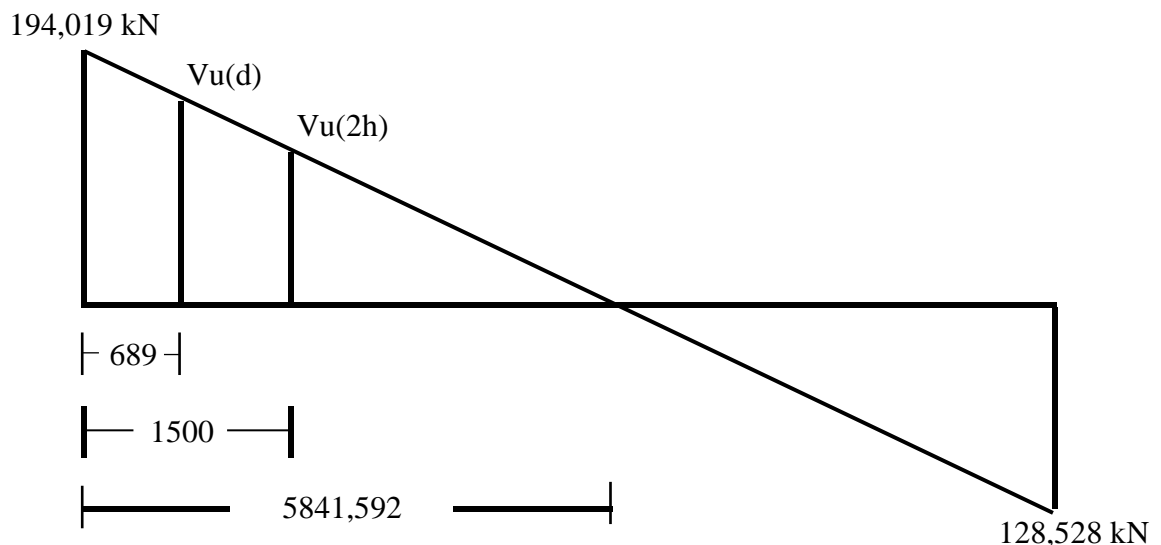
- Menghitung Kuat geser (Vu) akibat beban gravitasi dan beban gempa

Dari hasil perhitungan pada STAAD PRO dengan kombinasi 2 yaitu 1,2 D + 1,6 L, di dapat nilai gaya geser pada balok yang ditinjau sebesar :



Gambar 5.10. Desain gaya geser balok

- Perhitungan Vu akibat beban gravitasi + gempa :



$$\begin{aligned}
 \frac{194,019}{x} &= \frac{31,832}{6,8 - x} \\
 31,832 - x &= 1319,331 - 194,019 \\
 x &= \frac{1319,331}{225,851} = 5,842 \text{ m} = 5841,592 \text{ mm}
 \end{aligned}$$

- Tulangan geser pada daerah sendi plastis

$$V_u(d) = 194,019 - \frac{5841,592 - 689}{5841,592} = 171,135 \text{ kN}$$

$V_c = 0$ apabila memenuhi ketentuan pada SNI 2847-2013 Pasal 21.5.4.2 berikut :

- Gaya geser akibat gempa $> 0,5$ total geser (akibat Mpr + beban gravitasi)

$$161,27 > 0,5 \times 194,019 = 97,010$$

Pada daerah sendi plastis, $V_c = 0$

$$V_s = \frac{V_u(d)}{\phi} - 0 = \frac{171,135}{0,75} - 0 = 228,180 \text{ kN}$$

Direncanakan tulangan sengkang $\phi 10$ (2 kaki)

$$\begin{aligned}
 S &= \frac{A_v \cdot f_y \cdot d}{V_s} \\
 &= \frac{2 \cdot \frac{1}{4} \pi \cdot 10^2 \times 240 \times 689 \times 10^{-3}}{228,180} = 113,776 \text{ mm}
 \end{aligned}$$

Persyaratan spasi maksimum pada daerah gempa SNI 2847-2013 pasal 21.5.3.2,
 $S_{\text{maks}} = 2 \times 750 = 1500 \text{ mm}$
 spasi maksimum tidak boleh melebihi :

$$- \frac{d}{4} = \frac{689}{4} = 172,250 \text{ mm}$$

$$\begin{aligned} - 6 \times \text{diameter tulangan utama} &= 6 \times 22 = 132 \text{ mm} \\ - 150 \text{ mm} \end{aligned}$$

Jadi dipakai sengkang : $\emptyset 10 - 100 \text{ mm}$

$$\begin{aligned} V_s \text{ terpasang} &= \frac{A_v \cdot f_y \cdot d}{S} \\ &= \frac{2.1/4.\pi.10^2 \times 240 \times 689 \times 10^{-3}}{100} \\ &= 259,615 \text{ kN} \end{aligned}$$

$$\begin{aligned} V_n &= V_c + V_s \text{ terpasang} \\ &= 0 + 259,615 \\ &= 259,615 \text{ kN} \end{aligned}$$

$$\begin{aligned} \phi V_n &= 0,75 \times V_n \\ &= 0,75 \times 259,615 \\ &= 194,711 \text{ kN} > V_u(d) = 171,135 \text{ kN} \dots \text{(aman)} \end{aligned}$$

Kontrol kuat geser nominal menurut SNI 2847-2013 pasal 11.4.5.3

$$\begin{aligned} V_s \text{ maks} &\leq 0,66 \times \sqrt{f_c'} \times b_w \times d \\ V_s \text{ maks} &\leq 0,66 \times 35 \% \times 500 \times 689 \times 10^{-3} \\ 259,615 \text{ kN} &< 1345,139 \text{ kN} \dots \text{OK} \end{aligned}$$

• Tulangan geser pada daerah luar sendi plastis

$$V_u(2h) = 194,019 \times \frac{5842 - 1500}{5842} = 144,199 \text{ kN}$$

$$\begin{aligned} V_c &= 0,17 \times \sqrt{f_c'} \times b_w \times d \\ &= 0,17 \times 35 \% \times 500 \times 689 \times 10^{-3} \\ &= 346,475 \text{ kN} \end{aligned}$$

$$V_s = \frac{V_u(2h)}{\phi} = \frac{144,199}{0,75} = 192,265 \text{ kN}$$

Direncanakan tulangan sengkang $\phi 10$ (2 kaki)

$$S = \frac{Av \cdot f_y \cdot d}{V_s}$$

$$= \frac{2 \cdot \frac{1}{4} \pi \cdot 10^2 \times 240 \times 689 \times 10^{-3}}{192,265} = 135,030 \text{ mm}$$

Syarat jarak spasi sengkang maksimum pada daerah luar sendi plastis menurut SNI 2847-2013 pasal 21.5.3.4 :

$$- \frac{d}{2} = \frac{689}{2} = 344,500 \text{ mm}$$

Jadi dipakai sengkang $\emptyset 10 - 200 \text{ mm}$

$$V_s \text{ terpasang} = \frac{Av \cdot f_y \cdot d}{S}$$

$$= \frac{2 \cdot \frac{1}{4} \pi \cdot 10^2 \times 240 \times 689 \times 10^{-3}}{200}$$

$$= 216,346 \text{ kN}$$

$$\begin{aligned} V_n &= V_c + V_s \text{ terpasang} \\ &= 0,000 + 216,346 \\ &= 216,346 \text{ kN} \end{aligned}$$

$$\begin{aligned} \phi V_n &= 0,75 \times V_n \\ &= 0,75 \times 216,346 \\ &= 162,260 \text{ kN} > V_u(2h) = 144,199 \text{ kN} \dots \text{(aman)} \end{aligned}$$

Kontrol kuat geser nominal menurut SNI 2847-2013 pasal 11.4.5.3

$$V_s \text{ maks} \leq 0,66 \sqrt{f_c} bw \cdot d$$

$$\begin{aligned} V_s \text{ maks} &\leq 0,66 \cdot 35 \% \times 500 \times 689 \times 10^{-3} \\ 216,346 \text{ kN} &< 1345,139 \text{ kN} \dots \text{OK} \end{aligned}$$

Dari hasil perhitungan dan ketentuan-ketentuan di atas maka dipasang tulangan sengkang sebagai berikut :

- Daerah sendi plastis = 2 kaki ϕ 10 - 100 mm
- Daerah luar sendi plastis = 2 kaki ϕ 10 - 200 mm

Dengan demikian, penulangan longitudinal balok B107 adalah sebagai berikut :

Tabel 5.1. Desain tulangan longitudinal balok pada portal line 1 potongan A-A

| Lokasi | | Mu | Tulangan | As terpasang | Tulangan | As terpasang | ϕ Mn |
|------------|----------------|-----------|----------|--------------------|----------|--------------------|-----------|
| | | (Nmm) | Tarik | (mm ²) | Tekan | (mm ²) | (Nmm) |
| Tmp.Kiri | M ⁻ | 525860000 | 6 D 22 | 2279,640 | 3 D 22 | 1139,820 | 636337159 |
| | M ⁺ | 525860000 | 6 D 22 | 2279,640 | 3 D 22 | 1139,820 | 702221245 |
| Lapangan | M ⁺ | 217550000 | 2 D 22 | 759,880 | 2 D 22 | 759,880 | 355609940 |
| | M ⁻ | 526090000 | 6 D 22 | 2279,640 | 3 D 22 | 1139,820 | 636513737 |
| Tmp. Kanan | M ⁻ | 526090000 | 6 D 22 | 2279,640 | 3 D 22 | 1139,820 | 545084845 |
| | M ⁺ | 526090000 | 6 D 22 | 2279,640 | 3 D 22 | 1139,820 | |

Tabel 5.2. Desain tulangan transversal balok pada portal line 1 potongan A-A

| Lokasi | Tulangan |
|---------------------------|------------------------|
| Daerah sendi plastis | 2 kaki ϕ 10 - 100 |
| Daerah luar sendi plastis | 2 kaki ϕ 10 - 200 |

● Pendetailan tulangan tumpuan tarik

- Untuk pemberhentian tulangan tumpu tarik ke dalam balok adalah sejauh

$$\frac{1}{4} L = \frac{1}{4} \times 8000 = 2000 \text{ mm}$$

- Ditambah dengan panjang penyaluran (ℓ_{dh}) untuk batang tulangan pembengkokan 90° menurut SNI 2847-2013 pasal 21.7.5.1, panjang penyaluran (ke kolom) tidak boleh kurang dari yang terbesar dari :

$$a) 8 d_b = 8 \times 22 = 176 \text{ mm}$$

$$b) \ell_{dh} = \frac{f_y \times d_b}{5,4} = \frac{390 \times 22}{5,4 \times \sqrt{35}} = 268,571 \text{ mm}$$

$$c) 150 \text{ mm}$$

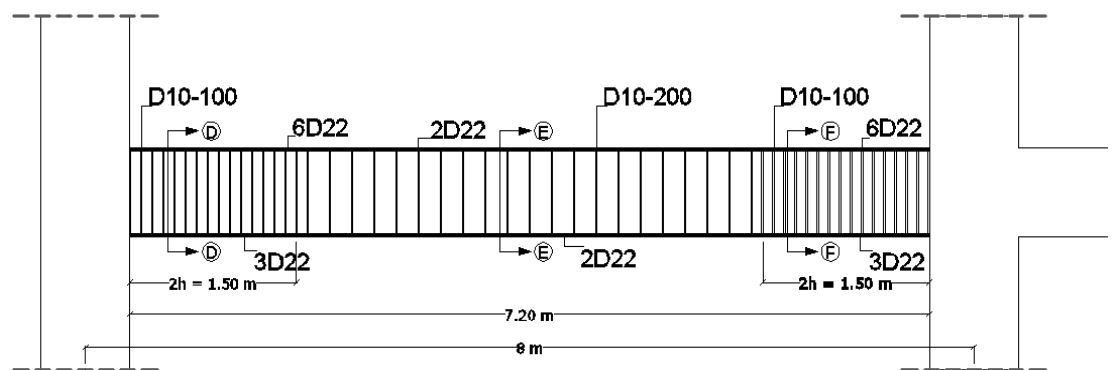
Maka digunakan panjang penyaluran = 270 mm

- Panjang pembengkokan (menurut SNI 2847 - 2013 pasal 12.5.1) tumpuan kiri dan tumpuan kanan.

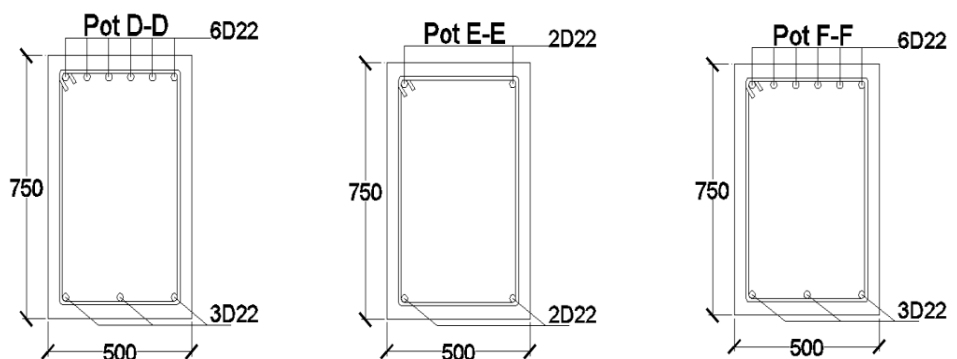
$$12 \times d_b = 12 \times 22 = 264 \text{ mm}$$

Digunakan panjang pembengkokan sebesar : 270 mm

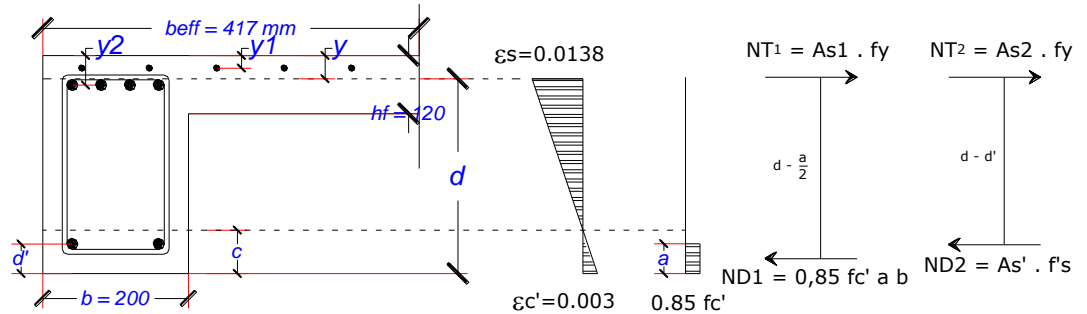
Berikut gambar penulangan balok pada portal line 1 Potongan A-A :



Gambar 5.11. Penulangan balok pada portal line 1 potongan A-A



Gambar 5.12. Potongan penulangan balok pada portal line 1 potongan A-A



$$a = 0,00$$

$$b = 0$$

$$c = 0$$

$$b2 = 0$$

$$4ac = 0$$

$$2a = 0$$

#DIV/0!

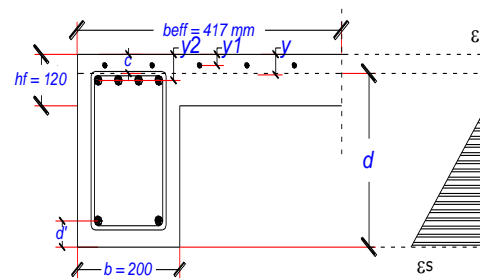
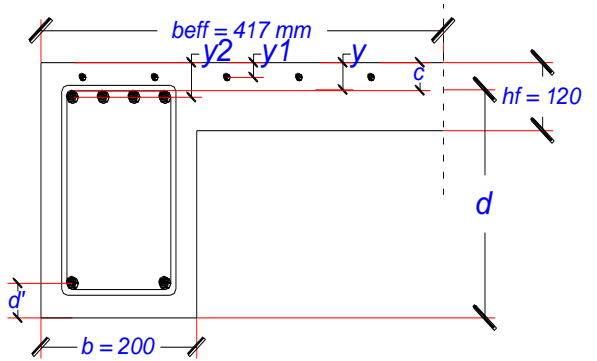
#DIV/0!

/)

2

a= 9862,13
b= 214210,8
c= -29471139
b2= 45886266837
4ac -1,16259E+12

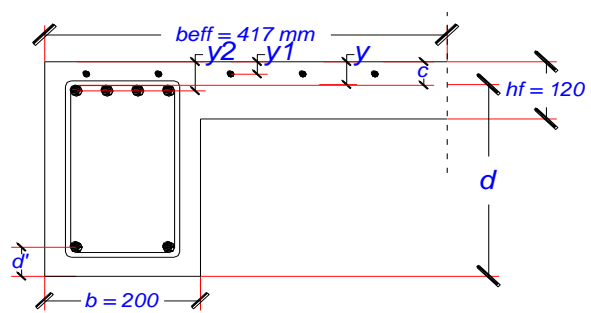
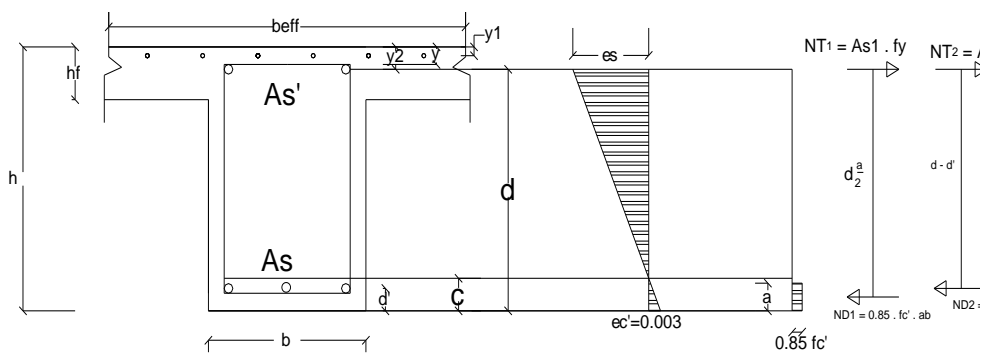
$2a =$ 19724,25
 44,874
 -66,594

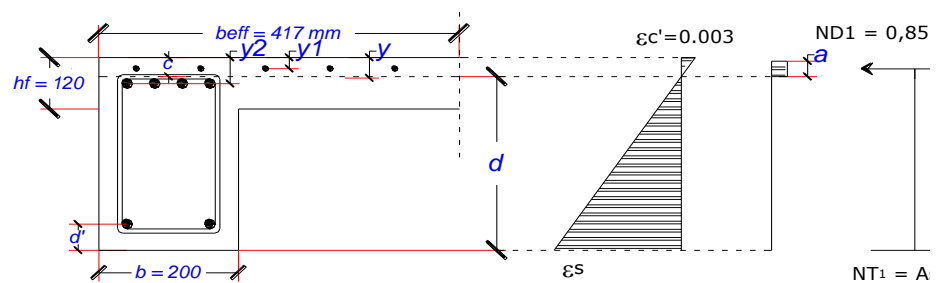


a= 16065,00
b= -1635688,8
c= -10580544
b2= 2,67548E+12
4ac -6,79906E+11

2a= 32130

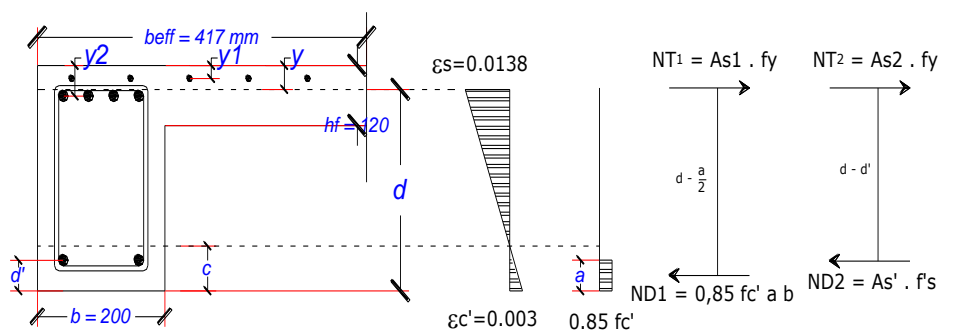
-6





$$\begin{aligned}
 a &= 9862,13 \\
 b &= 566518,8 \\
 c &= -13784719 \\
 b2 &= 3,21E+11 \\
 4ac &= -5,4379E+11 \\
 2a &= 19724,25 \\
 &\quad 18,42351 \\
 &\quad -75,8674
 \end{aligned}$$

a= ##
b= ##
c= ##
b2= ##
4ac ##
2a= ##
43
##



a= ##

$$b = 0$$

c= 0

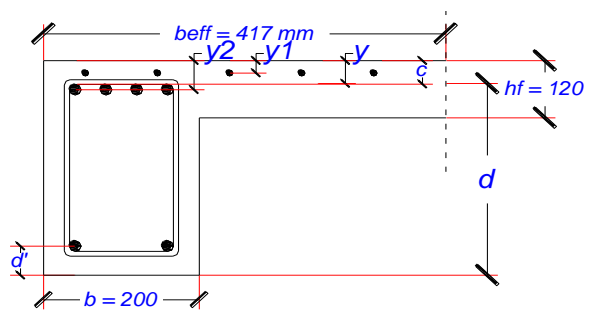
$$b_2 = 0$$

4ac 0

$$2a = 0$$

##

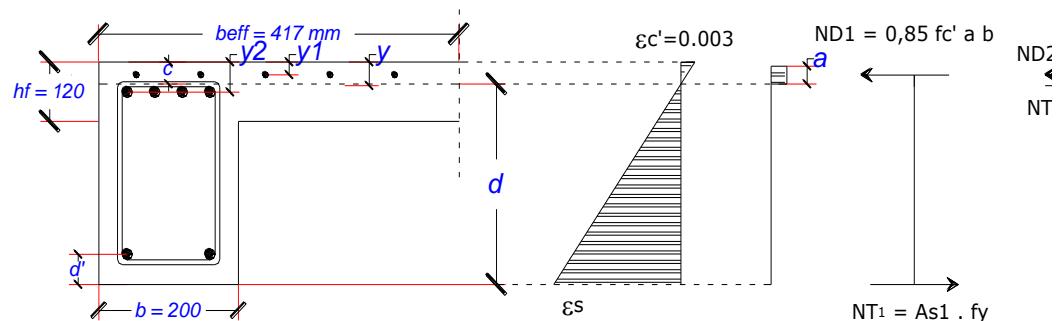
##



```

a= ##
b= ##
c= ##
b2= 45886266837
4ac -1,42299E+12
2a= 19724,25
50,58546272
-72,30601483

```

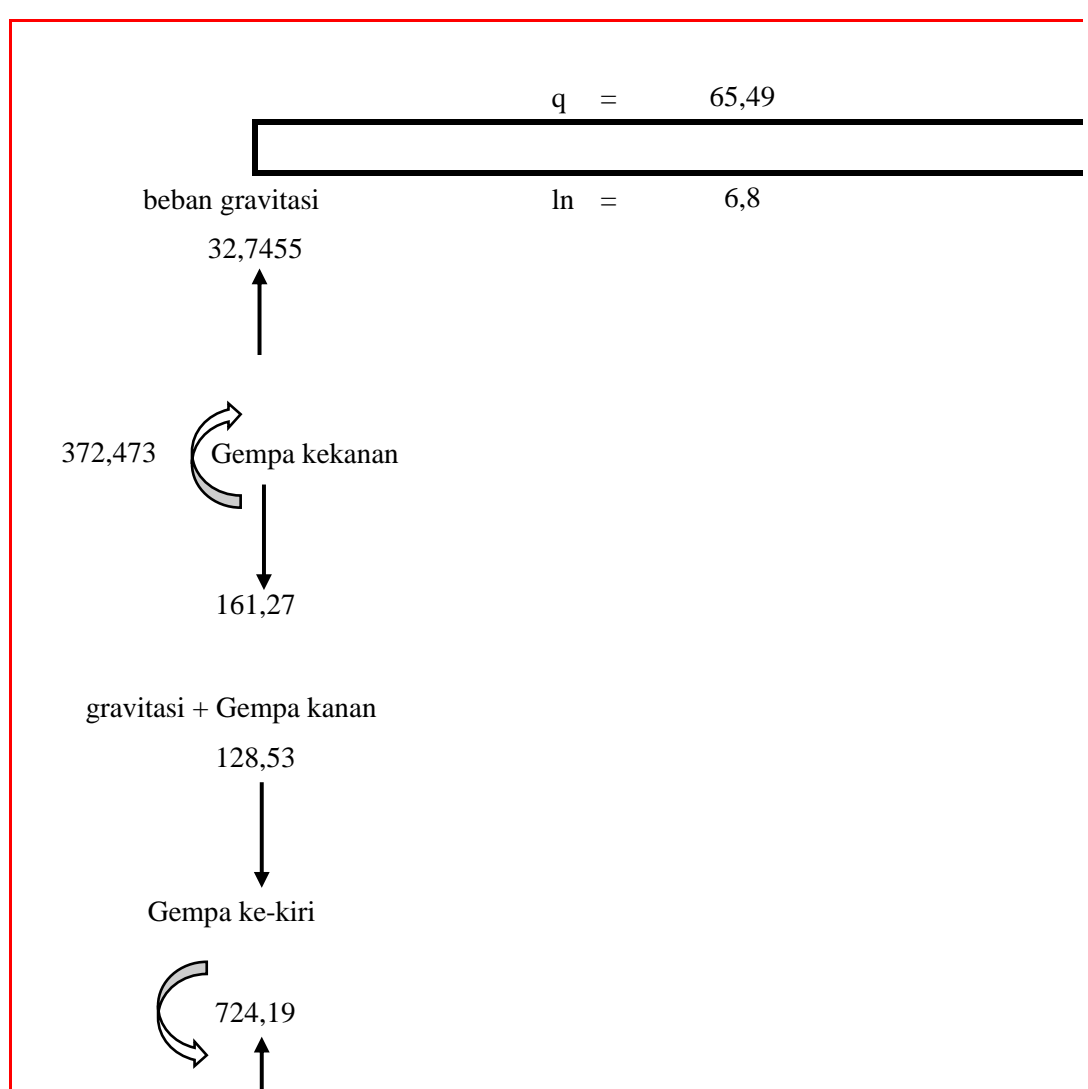


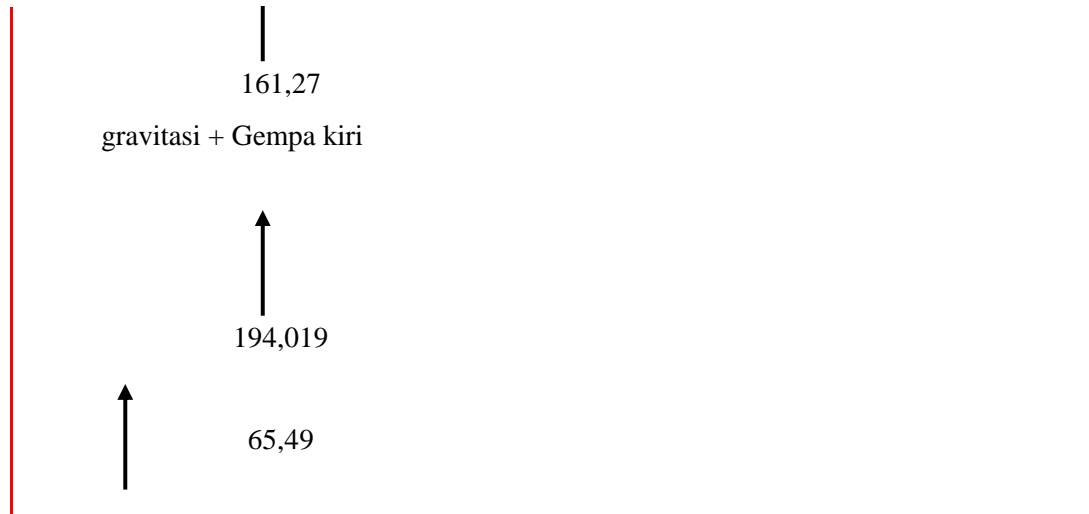
```

a= ##
b= -1635688,8
c= -10173600
b2= 2,67548E+12
4ac -6,53756E+11

```

2a= 32130
107,6970898



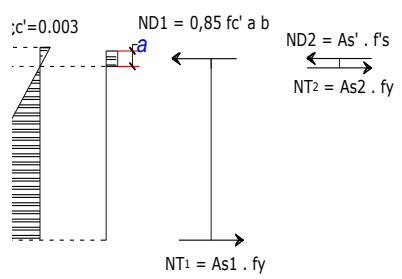


##

171,1352



$$\sqrt{fc'}$$



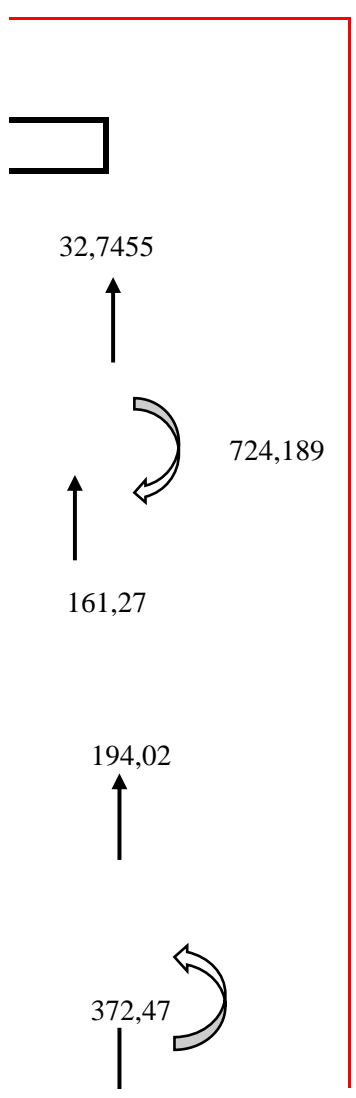
\geq
As².fy

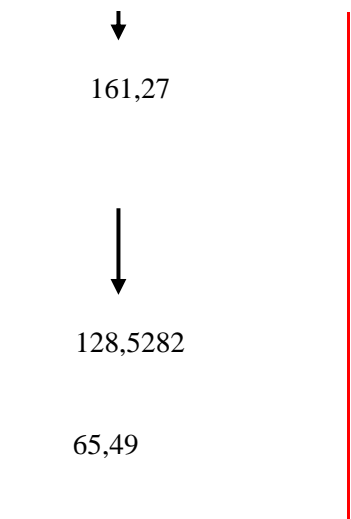
$\bar{=}$
As'.fs'

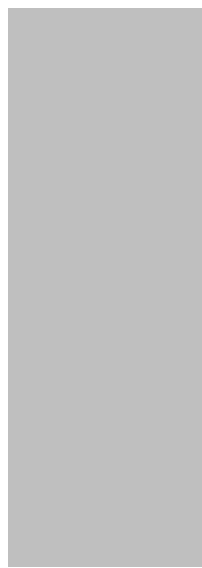
$$\begin{array}{l} i \text{ fc' a b} \\ \hline \text{---} \end{array} \quad \begin{array}{l} ND_2 = As' . f's \\ \xleftarrow{\hspace{1cm}} \\ NT^2 = As_2 . fy \end{array}$$

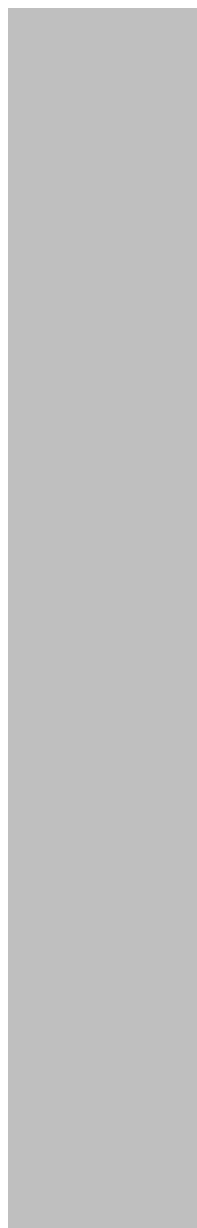
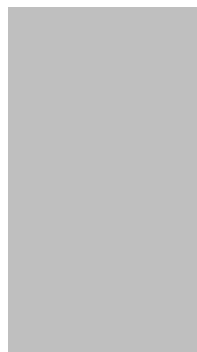
$$\begin{array}{l} \rightarrow \\ As_1 . fy \end{array}$$

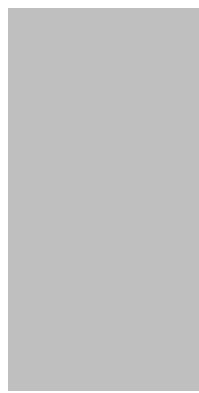
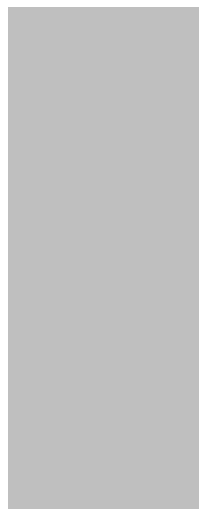
$\Delta = A s' \cdot f' s$
 $\Delta = A s^2 \cdot f y$



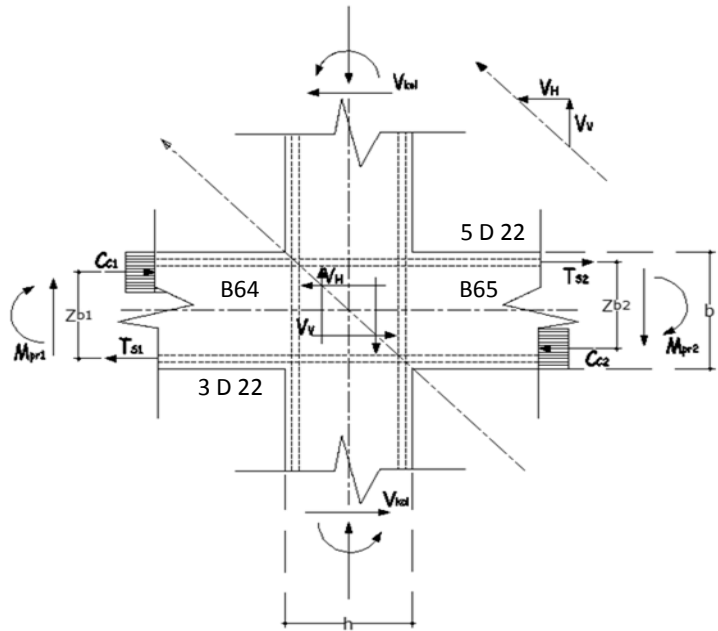








e. Perhitungan Pertemuan Balok-Kolom



Gambar 5.47. Analisa geser dari hubungan balok kolom (Joint 66)

Data perencanaan :

$$f'_c = 35 \text{ MPa}$$

$$f_y = 390 \text{ MPa}$$

$$M_{pr1}, b = 203499056,773 \text{ Nmm}$$

$$M_{pr2}, b = 318947391,036 \text{ Nmm}$$

$$h_n, a = 4750 \text{ mm}$$

$$h_n, b = 4750 \text{ mm}$$

Tulangan yang terpasang pada balok :

$$\text{balok kiri} = 6 \text{ D } 22$$

$$\text{balok kanan} = 6 \text{ D } 22$$

Pemeriksaan kuat geser nominal pada joint :

Gaya geser yang terjadi

$$A_{s1} = 6 \times \frac{1}{4} \times 3,14 \times 22^2 = 2279,64 \text{ mm}^2$$

$$A_{s2} = 6 \times \frac{1}{4} \times 3,14 \times 22^2 = 2279,64 \text{ mm}^2$$

$$T = A_s \cdot 1,25 \cdot f_y$$

$$T_1 = 2279,64 \times 1,25 \times 390 = 1111324,500 \text{ N}$$

$$T_2 = 2279,64 \times 1,25 \times 390 = 1111324,500 \text{ N}$$

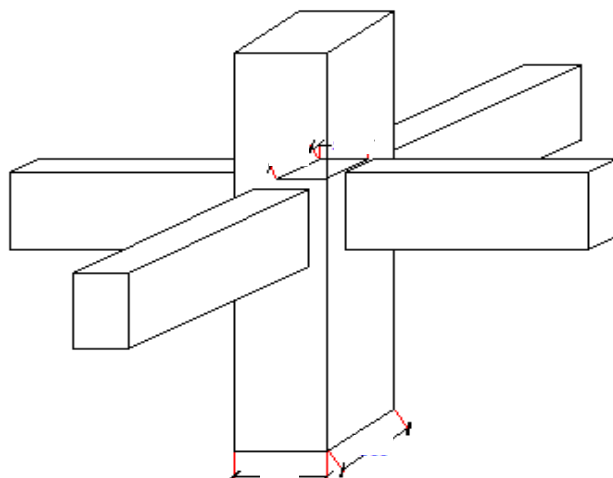
$$\begin{aligned}
 Mu &= \frac{Mpr, b kanan + Mpr, b kiri}{2} \\
 &= \frac{203499056,773 + 318947391,036}{2} \\
 &\equiv 261223223,905 \quad Nmm
 \end{aligned}$$

$$\begin{aligned}
 Vh &= \frac{2 \times Mu}{h_n / 2} \\
 &= \frac{2 \times 261223223,905}{4750 / 2} \\
 &\equiv 219977,452 \quad N
 \end{aligned}$$

$$\begin{aligned}
 Vjh &= T_1 + T_2 - Vh \\
 &= 1111324,500 + 1111324,500 - 219977,452 \\
 &= 2002671,548 \text{ N}
 \end{aligned}$$

Kuat geser nominal untuk HBK yang terkekang keempat sisinya maka berlaku :

$$V_{jh} < \phi \quad x \quad 1,7 \quad x \text{ Aj}$$



Gambar 5.48. Luas efektif (A_j) untuk HBK

Maka :

$V_{jh} < \phi \times 1,7 \times \sqrt{fc'}$ x Aj
 2002671,548 < 0,75 x 1,7 x $\sqrt{35}$ x 500 x 750
 2002671,548 N < 2828625,646 NOK

- Penulangan geser horisontal

$$\begin{aligned}
 \text{Nu} &= 8058780 \quad \text{N} \\
 \frac{Nu}{Ag} &= \frac{8.058.780}{800 \times 800} \\
 &= 15,740 \text{ N/mm}^2 > 0,1 \cdot f_c = 0,1 \times 35 = 3,5 \text{ N/mm}^2
 \end{aligned}$$

Jadi $V_{c,h}$ dihitung menurut persamaan

$$\begin{aligned}
 V_{c,h} &= \frac{2}{3} \sqrt{\left(\frac{Nu, k}{Ag} - 0,1 \times f'c \right) \times b_j \times h_c} \\
 &= \frac{2}{3} \sqrt{\left(\frac{8058780}{640000} - 0,1 \times 35 \right)} \times 500 \times 750 \\
 &= 1835460,938 \quad \text{N}
 \end{aligned}$$

$$\begin{aligned}
 V_{s,h} + V_{c,h} &= V_{j,h} \\
 V_{s,h} &= V_{j,h} - V_{c,h} \\
 &= 2002671,548 - 1835460,938 \\
 &= 167210,611 \quad \text{N}
 \end{aligned}$$

$$\begin{aligned}
 A_{j,h} &= \frac{V_{s,h}}{f_y} \\
 &= \frac{167210,611}{390} \\
 &= 428,745156 \text{ mm}^2
 \end{aligned}$$

Coba dipasang 6 lapis tulangan sengkang :

$$\begin{aligned}
 \text{Maka As ada} &= 6 \times 314,29 \\
 &= 1885,71 \text{ mm}^2 > A_{j,h} = 428,74516 \text{ mm}^2 \quad \text{..... Aman}
 \end{aligned}$$

- Penulangan geser vertikal

$$\begin{aligned}
 V_{j,v} &= \frac{h_c}{b_j} V_{j,h} \\
 &= \frac{800}{800} \times 2002671,548 \\
 &= 2002671,548 \quad \text{N}
 \end{aligned}$$

$$\begin{aligned}
 V_{c,v} &= \frac{As' \cdot V_{j,h}}{As} \times \left(0,6 + \frac{Nu, k}{Ag \cdot f'c} \right) \\
 &= \frac{2279,6 \times 2002671,548}{2279,64} \times \left(0,6 + \frac{8058780}{640000 \times 35} \right) \\
 &= 1922097,992 \text{ N}
 \end{aligned}$$

$$\begin{aligned}
 V_{s,v} &= V_{c,v} - V_{j,v} \\
 &= 1922097,992 - 2002671,548 \\
 &= -80573,556 \text{ N}
 \end{aligned}$$

$$\begin{aligned}
 A_{j,v} &= \frac{V_{s,v}}{fy} \\
 &= \frac{-80573,556}{390} \\
 &= -187,380 \text{ mm}^2
 \end{aligned}$$

Tulangan kolom yang terpasang 24 D 25, dimana luas tulangan (As ada = 11775 mm²) > -187,380 mm². Maka tidak diperlukan lagi tulangan geser vertikal karena sudah ditahan oleh tulangan kolom yang terpasang.

5.3 Perhitungan Penulangan Bresing

Diketahui :

- Lebar bresing (b) = 200 mm
- Tinggi bresing (h) = 200 mm
- Tulangan sengkang (\emptyset) = 10 mm
- Tulangan utama dipakai (D) = 12 mm
- Tebal selimut beton = 40 mm
- Panjang bresing = 8382 mm
- Kuat tekan beton (f'_c) = 35 MPa
- Kuat leleh baja (f_y) = 390 MPa
- β_1 = 0,81

5.3.1 Perhitungan Penulangan Aksial Lentur Bresing

Penulangan bresing yang dihitung adalah pada bresing yang berada pada struktur portal memanjang line 1 potongan A-A dengan no. Batang bresing 271,272,273,274 pada lantai 1 :

$$\begin{aligned}
 d &= h - \text{selimut beton} - \emptyset \text{ sengkang} - \frac{1}{2} \emptyset \text{ tulangan pokok} \\
 &= 200 - 40 - 10 - \frac{1}{2} \cdot 12 \\
 &= 144 \text{ mm} \\
 d' &= 200 - 144 \\
 &= 56 \text{ mm}
 \end{aligned}$$

– Perhitungan Luas tulangan yang diperlukan (As Perlu)

$$\begin{aligned}
 Ag &= b \times h \\
 &= 200 \times 200 \\
 &= 40000 \text{ mm}^2
 \end{aligned}$$

Jumlah tulangan pada bresing 1% - 6% dicoba dengan jumlah tulangan : 2 %

$$\rho = 0,02$$

$$\begin{aligned}
 As_{\text{perlu}} &= \rho \times Ag \\
 &= 0,02 \times 40000 \\
 &= 800 \text{ mm}^2
 \end{aligned}$$

$$\begin{aligned}
 \text{Maka dipakai tulangan } 8 \text{ D } 12, \text{As ada} &= 904,320 \text{ mm}^2 > \\
 \text{As perlu} &= 800 \text{ mm}^2 \dots\dots \text{OK}
 \end{aligned}$$

– Perhitungan Beban Sentris

- Beban Sentris

$$\begin{aligned}
 P_o &= 0,85 \cdot f'_c (A_g - A_s) + f_y \cdot A_s \\
 &= (0,85 \cdot 35 (40000 - 904,32) + 390 \cdot 904,32) \cdot 10^{-3} \\
 &= 1515,781 \text{ kN} \\
 P_n &= 0,80 \times P_o \\
 &= 0,80 \times 1515,781 \\
 &= 1212,625 \text{ kN} \\
 \phi P_n &= 0,65 \times 1212,625 \\
 &= 788,206 \text{ kN}
 \end{aligned}$$

– Perhitungan Gaya yang bekerja

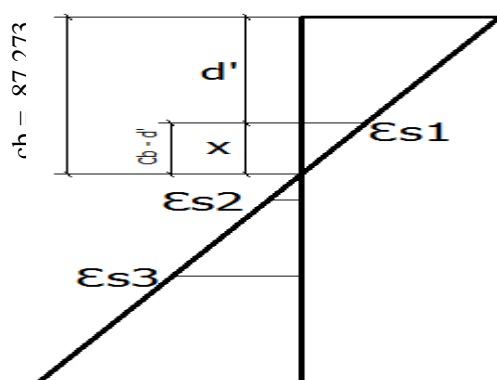
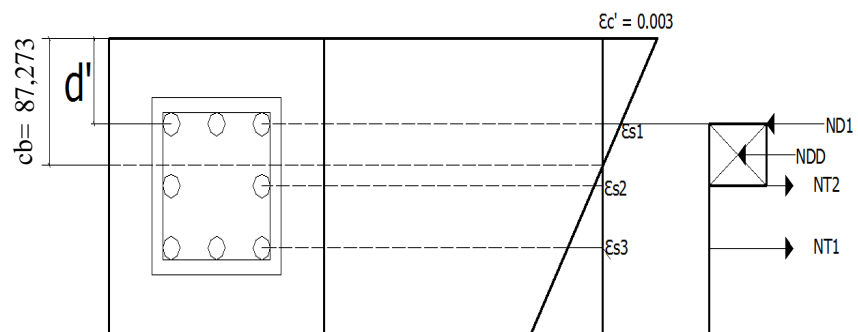
- Kondisi Seimbang

$$\begin{aligned}
 cb &= \frac{600 \times d}{600 + f_y} = \frac{600 \times 144}{600 + 390} = 87,273 \text{ mm} \\
 ab &= cb \times \beta \\
 &= 87,273 \times 0,81 \\
 &= 70,691 \text{ mm}
 \end{aligned}$$

Jarak antar tulangan (x)

$$\begin{aligned}
 x &= \frac{\text{Jarak antar tulangan tepi}}{\text{jumlah interval tulangan}} \\
 &= \frac{200 - (2 \times 56)}{8 / 2} \\
 &= 44 \text{ mm}
 \end{aligned}$$

$$\begin{aligned}
 N_{D_D} &= 0,85 \cdot f'_c \cdot ab \cdot b \\
 &= 0,85 \times 35 \times 70,691 \times 200 \times 10^{-3} \\
 &= 420,611 \text{ kN}
 \end{aligned}$$

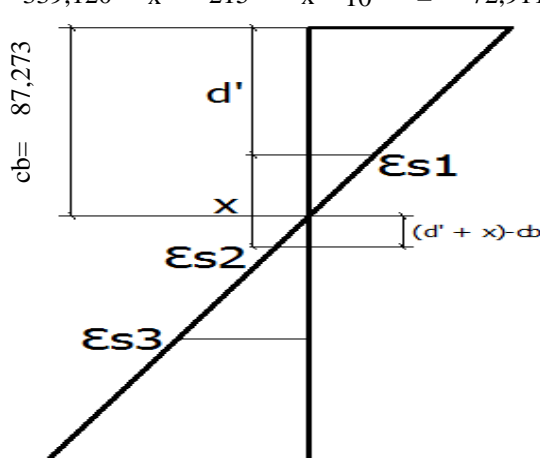


$$\varepsilon_y = \frac{f_y}{E_s} = \frac{390}{200000} = 0,00195$$

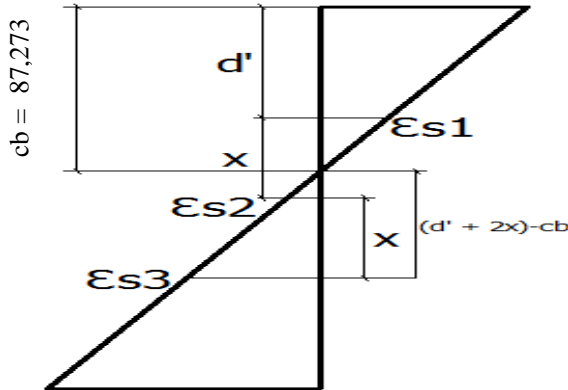
$$\begin{aligned} \varepsilon_{s1} &= \frac{cb - d'}{cb} \times \varepsilon_c' \\ &= \frac{87,273 - 56}{87,273} \times 0,003 \end{aligned}$$

$$= 0,00108 < \varepsilon_y ; \text{ maka } f_s = 0,00108 \times 200000 = 215 \text{ Mpa}$$

$$ND_1 = 339,120 \times 215 \times 10^{-3} = 72,911 \text{ kN}$$



$$\begin{aligned}\varepsilon_{s2} &= \frac{(d' + x) - cb}{cb} x \quad \varepsilon c' \\ \varepsilon_{s2} &= \frac{100 - 87,273}{87,273} x \quad 0,003 \\ &= 0,00044 > \varepsilon_y ; \text{ maka } f_y = 390 \text{ MPa} \\ N_{T_2} &= 226,080 \times 390 \times 10^{-3} = 88,171 \text{ kN}\end{aligned}$$



$$\begin{aligned}\varepsilon_{s3} &= \frac{(d' + 2x) - cb}{cb} x \quad \varepsilon c' \\ \varepsilon_{s3} &= \frac{144 - 87,273}{87,273} x \quad 0,003 \\ &= 0,00195 > \varepsilon_y ; \text{ maka } f_s = f_y = 390 \text{ MPa} \\ N_{T_1} &= 339,120 \times 390 \times 10^{-3} = 132,257 \text{ kN}\end{aligned}$$

$$\begin{aligned}P_{nb} &= N_{D_D} + N_{D_1} - N_{T2} - N_{T1} \\ &= 420,611 + 72,911 - 88,171 - 132,257 \\ &= 273,094 \text{ kN}\end{aligned}$$

$$\begin{aligned}\phi P_{nb} &= 0,65 \times 273,094 \\ &= 177,51091 \text{ kN}\end{aligned}$$

$$\begin{aligned}
M_{nb} &= NDD(h/2 - ab/2) + \{(ND1+NT1).(h/2 - d')\} + \{(NT2)(h/2)\} \\
&= [420,610909090909(200/2 - 70,69090909091/2) + \{(72,9108 + 132,2568) . \\
&\quad (200/2 - 56)\} + \{(88,1712). \\
&\quad (200/2)\} \times 10^{-3} \\
&= 45,039 \text{ kNm}
\end{aligned}$$

$$\begin{aligned}
\phi M_{nb} &= 0,65 \times 45,039 \\
&= 29,275 \text{ kNm}
\end{aligned}$$

$$eb = \frac{M_{nb}}{P_{nb}} = \frac{45,039}{273,094} = 0,1649 \text{ m} = 164,921 \text{ mm}$$

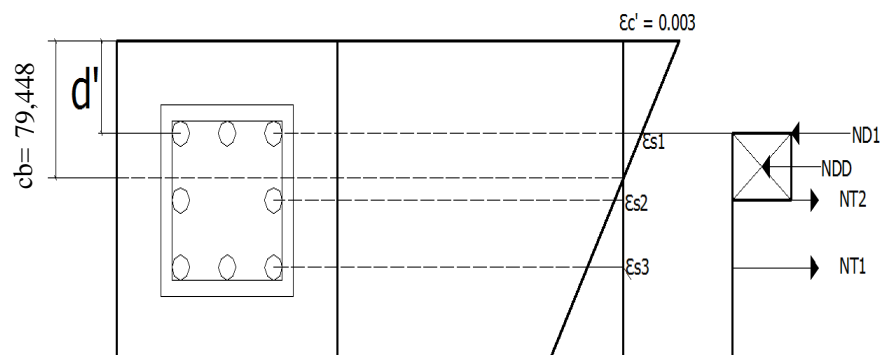
- Kondisi Seimbang dengan 1,25 fy

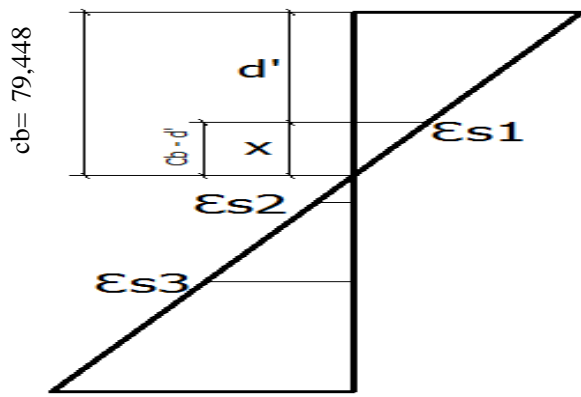
$$fy = 1,25 \times 390 = 487,500 \text{ MPa}$$

$$cb = \frac{600 \cdot d}{600 + fy} = \frac{600 \times 144}{600 + 487,500} = 79,448 \text{ mm}$$

$$\begin{aligned}
ab &= cb \cdot \beta \\
&= 79,448 \times 0,81 \\
&= 64,353 \text{ mm}
\end{aligned}$$

$$\begin{aligned}
ND_D &= 0,85 \cdot f'_c \cdot ab \cdot b \\
&= 0,85 \times 35 \times 64,353 \times 200 \times 10^{-3} \\
&= 382,901 \text{ kN}
\end{aligned}$$





$$\epsilon_y = \frac{f_y}{E_s} = \frac{487,500}{200000} = 0,00244$$

$$\epsilon_{s1} = \frac{cb - d'}{cb} x \epsilon_c'$$

$$\epsilon_{s1} = \frac{79,448 - 56}{79,448} x 0,003$$

$$= 0,00089 < \epsilon_y ; \text{ maka } f_s = 0,00089 \times 200000 = 177,083 \text{ MPa}$$

$$N_D = 339,120 \times 177,083 \times 10^{-3} = 60,053 \text{ kN}$$

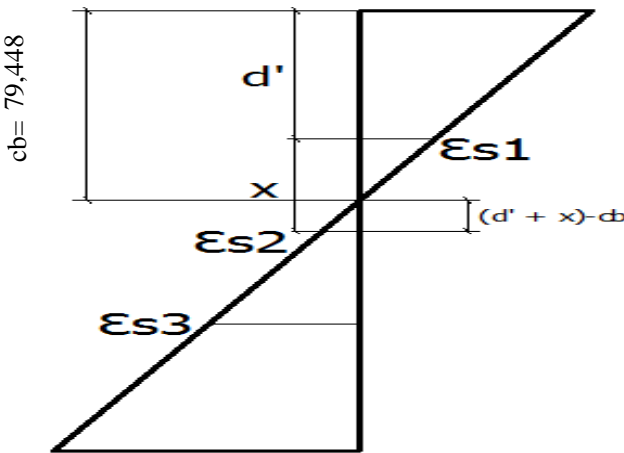


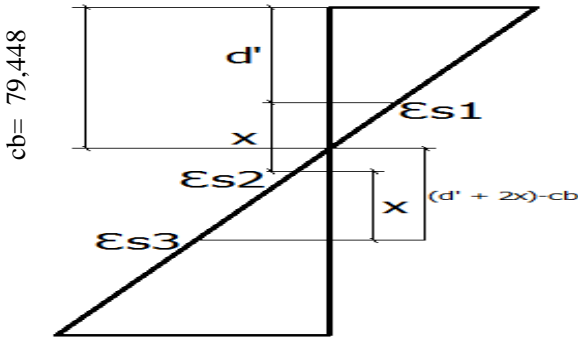
Diagram Tegangan Bresing untuk menghitung NT2

$$\epsilon_{s2} = \frac{(d' + x) - cb}{cb} x 0,003$$

$$\epsilon_{s2} = \frac{100 - 79,448}{79,448} x 0,003$$

$$= 0,00078 > \epsilon_y ; \text{ maka } f_s = f_y = 390 \text{ MPa}$$

$$NT2 = 226,080 \times 390,000 \times 10^{-3} = 88,171 \text{ kN}$$



$$\begin{aligned} \epsilon_{s3} &= \frac{(d' + 2x) - cb}{cb} \times 0,003 \\ \epsilon_{s3} &= \frac{144 - 79,448}{79,448} \times 0,003 \\ &= 0,00244 > \epsilon_y ; \quad \text{maka } f_s = f_y = 390 \text{ MPa} \\ NT1 &= 339,120 \times 390,000 \times 10^3 = 132,257 \text{ kN} \end{aligned}$$

$$\begin{aligned} Pnb &= ND_D + ND_1 - NT2 - NT1 \\ &= 382,901 + 60,053 - 88,171 - 132,257 \\ &= 222,525 \text{ kN} \end{aligned}$$

$$\begin{aligned} \phi Pnb &= 0,70 \times 222,525 \\ &= 155,768 \text{ kN} \end{aligned}$$

$$\begin{aligned} Mnb &= NDD(h/2 - ab/2) + \{(ND1+NT1).(h/2 - d')\} + \{(NT2)(h/2)\} \\ &= [382,900965517241(200/2 - 64,3531034482759/2)] + \\ &\quad [(60,0525+132,2568)(200/2-56)] \\ &\quad [(88,1712)(200/2)] \times 10^{-3} \\ &= 43,248 \text{ kNm} \end{aligned}$$

$$\begin{aligned} \phi Mnb &= 0,70 \times 43,248 \\ &= 30,274 \text{ kNm} \end{aligned}$$

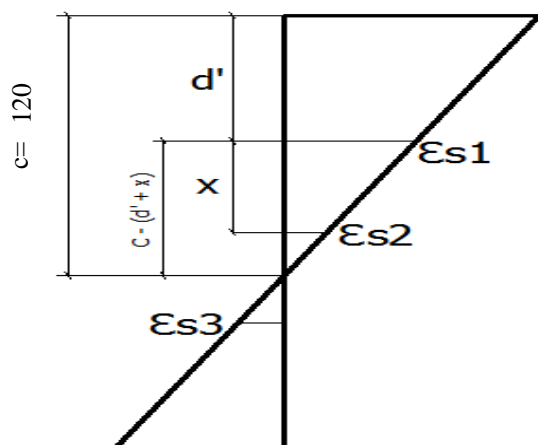
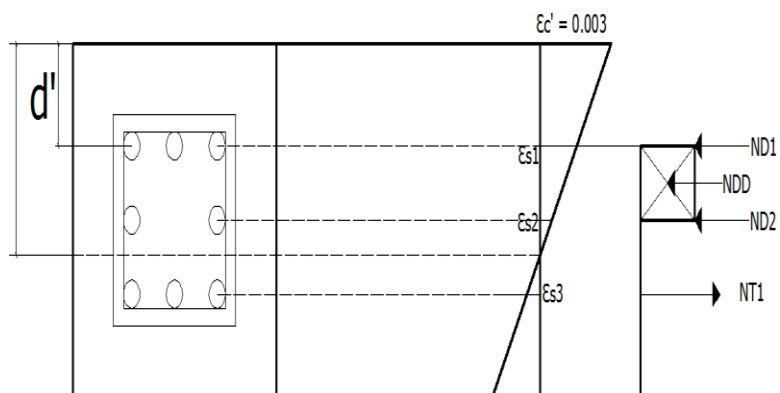
$$eb = \frac{Mnb}{Pnb} = \frac{43,248}{222,525} = 0,1944 \text{ m} = 194,353 \text{ mm}$$

- Kondisi Patah Desak (terjadi jika nilai $c > c_b$)

Dipakai nilai $c = 120 \text{ mm}$

$$\begin{aligned} a &= c \times \beta \\ &= 120 \times 0,81 \\ &= 97,200 \text{ mm} \end{aligned}$$

$$\begin{aligned} N_D &= 0,85 \cdot f'_c \cdot a \cdot b \\ &= 0,85 \times 35 \times 97,200 \times 200 \times 10^{-3} \\ &= 578,340 \text{ kN} \end{aligned}$$



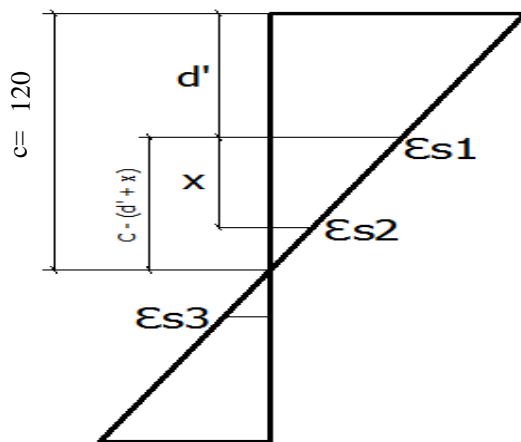
$$\epsilon_y = \frac{f_y}{E_s} = \frac{390}{200000} = 0,00195$$

$$\epsilon_{s1} = \frac{c - d'}{c} \times \epsilon_c'$$

$$\epsilon_{s1} = \frac{120 - 56}{120} \times 0,003$$

$$= 0,00160 < \epsilon_y ; \text{ maka } f_s = 0,00160 \times 200000 = 320 \text{ MPa}$$

$$N_{D_1} = 339,120 \times 320 \times 10^{-3} = 108,518 \text{ kN}$$

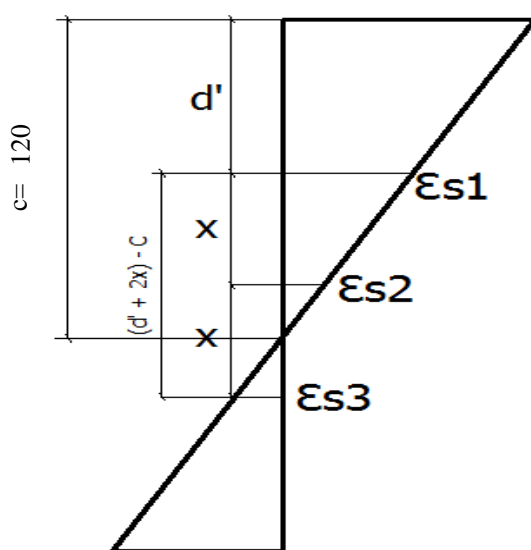


$$\epsilon_{s2} = \frac{c - (d' + x)}{c} \times \epsilon_c'$$

$$\epsilon_{s2} = \frac{120 - 100}{120} \times 0,003$$

$$= 0,00050 > \epsilon_y ; \text{ maka } f_s = f_y = 390 \text{ MPa}$$

$$N_{D_2} = 226,080 \times 390 \times 10^{-3} = 88,171 \text{ kN}$$



$$\epsilon_{s3} = \frac{(d' + 2x) - c}{c} \times 0,003$$

$$\epsilon_{s3} = \frac{144 - 120}{120} \times 0,003$$

$$= 0,00060 > \varepsilon_y ; \text{ maka } f_s = f_y = 390 \text{ MPa}$$

$$N_{T1} = 339,120 \times 390 \times 10^{-3} = 132,257 \text{ kN}$$

$$P_n = N_{D_D} + N_{D_1} + N_{D_2} - N_{T1}$$

$$= 578,340 + 108,518 + 88,171 - 132,257$$

$$= 642,773 \text{ kN}$$

$$\phi P_n = 0,65 \times 642,773$$

$$= 417,802 \text{ kN}$$

$$M_n = N_{DD}(h/2 - ab/2) + \{(N_{D1} + N_{T1})(h/2 - d')\} + \{(N_{D2})(h/2)\}$$

$$= [578,34(200/2 - 97,2/2)] + [(108,5184 + 132,2568)(200/2 - 56)]$$

$$[(88,1712)(200/2))] \times 10^{-3}$$

$$= 49,138 \text{ kNm}$$

$$\phi M_n = 0,65 \times 49,138$$

$$= 31,940 \text{ kNm}$$

$$e_b = \frac{M_n}{P_n} = \frac{49,138}{642,773} = 0,0764 \text{ m} = 76,447 \text{ mm}$$

- Kondisi Patah Tarik (terjadi jika nilai $c < cb$)

Dipakai nilai $c = 70 \text{ mm}$

$$a = c \cdot \beta$$

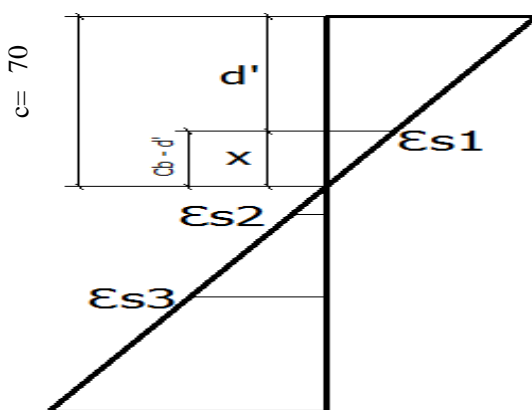
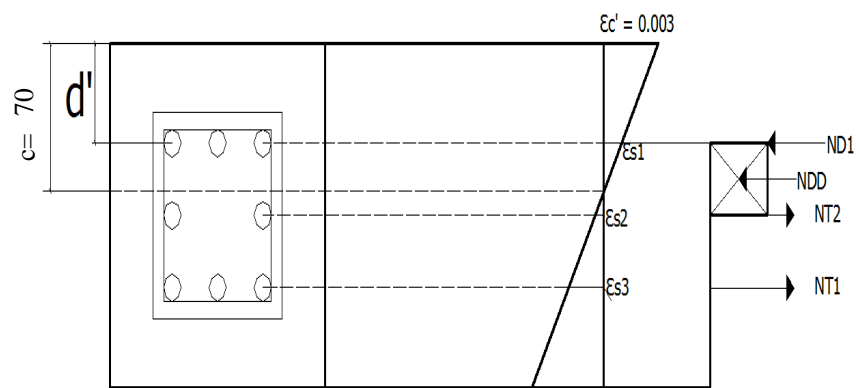
$$= 70 \times 0,81$$

$$= 56,700 \text{ mm}$$

$$N_{D_D} = 0,85 \cdot f'_c \cdot a \cdot b$$

$$= 0,85 \times 35 \times 56,700 \times 200 \times 10^{-3}$$

$$= 337,365 \text{ kN}$$



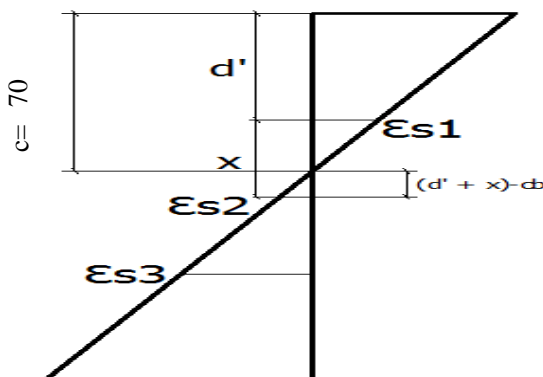
$$\epsilon_y = \frac{f_y}{E_s} = \frac{390}{200000} = 0,00195$$

$$\epsilon_{s1} = \frac{c - d'}{c} \times \epsilon_c' = \frac{70 - 56}{70} \times 0,003 = 0,00060$$

$$\epsilon_{s1} = \frac{70 - 56}{70} \times 0,003 = 0,00060$$

$$= 0,00060 < \epsilon_y ; \text{ maka } f_s = 0,00060 \times 200000 = 120 \text{ Mpa}$$

$$N_{D1} = 339,120 \times 120 \times 10^{-3} = 40,694 \text{ kN}$$

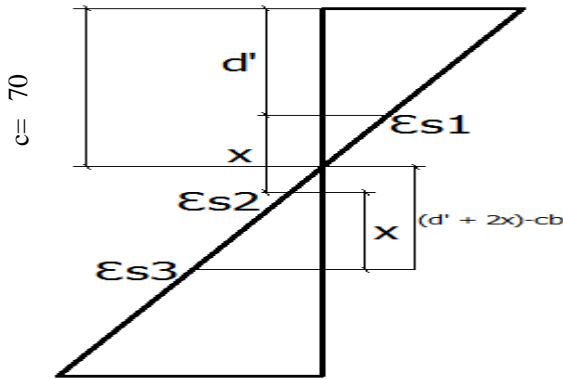


$$\varepsilon_{s2} = \frac{(d' + x) - c}{c} \times \varepsilon_c'$$

$$\varepsilon_{s2} = \frac{100 - 70}{70} \times 0,003$$

$$= 0,00129 > \varepsilon_y ; \text{ maka } f_s = f_y = 390 \text{ MPa}$$

$$N_{T2} = 226,080 \times 390 \times 10^{-3} = 88,171 \text{ kN}$$



$$\varepsilon_{s3} = \frac{(d' + 2x) - c}{c} \times 0,003$$

$$\varepsilon_{s3} = \frac{144 - 70}{70} \times 0,003$$

$$= 0,00317 > \varepsilon_y ; \text{ maka } f_s = f_y = 390 \text{ MPa}$$

$$N_{T1} = 339,120 \times 390 \times 10^{-3} = 132,257 \text{ kN}$$

$$P_n = N_{D_D} + N_{D_1} - N_{T2} - N_{T1}$$

$$= 337,365 + 40,694 + 88,17 - 132,26$$

$$= 157,631 \text{ kN}$$

$$\phi P_n = 0,65 \times 157,631$$

$$= 102,460 \text{ kN}$$

$$M_n = NDD(h/2 - ab/2) + \{(ND_1 + NT1).(h/2 - d')\} + \{(NT2)(h/2)\}$$

$$= [337,365(200/2 - 56,7/2)] + [(40,6944 + 132,2568)(200/2 - 56)]$$

$$[(88,1712)(200/2))] \times 10^{-3}$$

$$= 40,599 \text{ kNm}$$

$$\begin{aligned}\phi M_n &= 0,65 \times 40,599 \\ &= 26,389 \text{ kNm}\end{aligned}$$

$$e_b = \frac{M_n}{P_n} = \frac{40,599}{157,631} = 0,258 \text{ m} = 257,558 \text{ mm}$$

- Kondisi Lentur Murni

Dicoba dipasang tulangan sebagai berikut :

$$\text{Tulangan tarik As} = 3 \text{ D } 12 = 339,120 \text{ mm}^2$$

$$\text{Tulangan tekan As'} = 3 \text{ D } 12 = 339,120 \text{ mm}^2$$

$$As'1 = 3 \text{ D } 12 = 339,120 \text{ mm}^2$$

$$As'2 = 3 \text{ D } 12 = 339,120 \text{ mm}^2$$

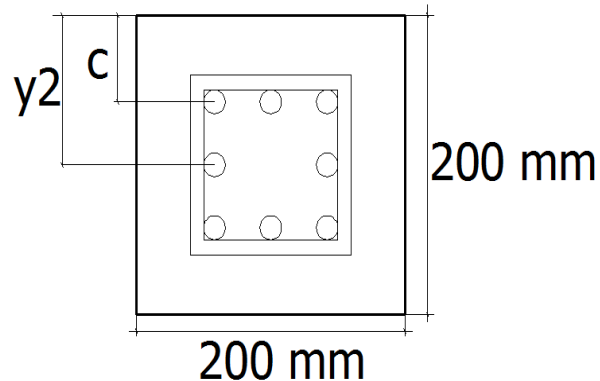
$$y_1 = 40 + 10 + 1/2 \times 12 = 56 \text{ mm}$$

$$y_2 = 56 + 44 = 100 \text{ mm}$$

$$y = d' = \frac{As'1 \times y_1 + As'2 \times y_2}{As \text{ tekan}}$$

$$= \frac{339,120 \times 56 + 339,120 \times 100}{339,120}$$

$$= 156 \text{ mm}$$



Dimisalkan garis netral (c) > y_2 maka perhitungan garis netral harus dicari menggunakan persamaan :

$$0,85 \cdot f'_c \cdot a \cdot b + As' \cdot f'_s = As \cdot f_y$$

$$\text{Substitusi nilai : } fs' = \frac{(c - d')}{c} \times 600$$

$$(0,85 \cdot f'_c \cdot a \cdot b) + As' = \frac{(c - d')}{c} \times 600 = As \cdot fy$$

$$(0,85 \cdot f'_c \cdot a \cdot b) \cdot c + As' = (c - d') \times 600 = As \cdot fy \cdot c$$

Substitusi nilai : $a = \beta 1.c$

$$(0,85 \cdot f'_c \cdot \beta 1.c \cdot b) \cdot c + As' = (c - d') \cdot 600 = As \cdot fy \cdot c$$

$$(0,85 \cdot f'_c \cdot \beta 1.b) c^2 + 600As' \cdot c - 600As' \cdot d' = As \cdot fy \cdot c$$

$$(0,85 \cdot f'_c \cdot \beta 1.b) c^2 + 600As' \cdot c - 600As' \cdot d' - As \cdot fy \cdot c = 0$$

$$(0,85 \cdot f'_c \cdot \beta 1.b) c^2 + (600As' - As \cdot fy) \cdot c - 600As' \cdot d' = 0$$

$$(0,85 \cdot 35 \cdot 0,81 \cdot 200)c^2 + (600 \cdot 339,12 - 339,12 \cdot 390)c - 600 \cdot 339,12 \cdot 56 = 0$$

$$4820 c^2 + 71215,200 c - 11394432,0 = 0$$

$$c = 41,793 \text{ mm} < y_2 = 100 \text{ mm} \dots \text{TIDAK OK}$$

Karena nilai $c < y_2$ maka dihitung nilai c sebenarnya berdasarkan $d' < c < y_2$

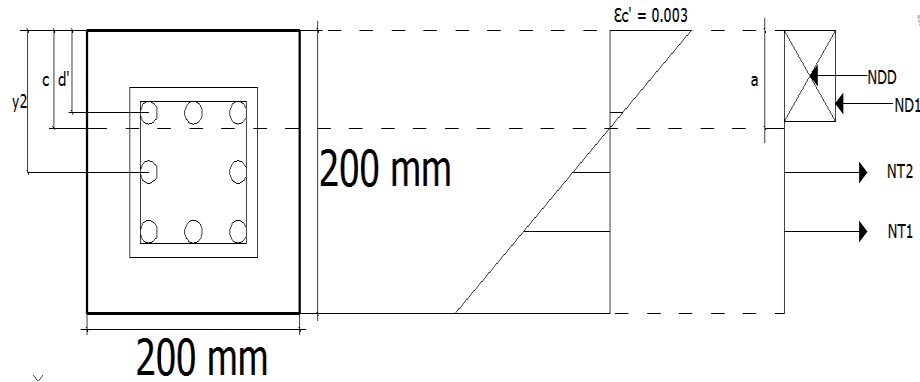
Dicoba dipasang tulangan sebagai berikut :

$$\text{Tulangan tarik As} = 3 D 12 = 339,120 \text{ mm}^2$$

$$\text{Tulangan tekan As'} = 3 D 12 = 339,120 \text{ mm}^2$$

$$d' = 40 + 10 + 1/2 \cdot 12 = 56 \text{ mm}$$

$$d = 200 - 56 = 144 \text{ mm}$$



$$0,85 \cdot f'_c \cdot a \cdot b + As' \cdot fs' = As \cdot fy$$

$$\text{Substitusi nilai : } fs' = \frac{(c - d')}{c} \times 600$$

$$(0,85 \cdot f'c \cdot a \cdot b) + As' \cdot \frac{(c - d')}{c} \times 600 = As \cdot fy$$

$$(0,85 \cdot f'c \cdot a \cdot b) \cdot c + As' \cdot (c - d') \times 600 = As \cdot fy \cdot c$$

Substitusi nilai : $a = \beta 1.c$

$$(0,85 \cdot f'c \cdot \beta 1.c \cdot b) \cdot c + As' \cdot (c - d') \times 600 = As \cdot fy \cdot c$$

$$(0,85 \cdot f'c \cdot \beta 1.b) c^2 + 600As' \cdot c - 600As' \cdot d' = As \cdot fy \cdot c$$

$$(0,85 \cdot f'c \cdot \beta 1.b) c^2 + 600As' \cdot c - 600As' \cdot d' - As \cdot fy \cdot c = 0$$

$$(0,85 \cdot f'c \cdot \beta 1.b) c^2 + (600As' - As \cdot fy) \cdot c - 600As' \cdot d' = 0$$

$$(0,85 \cdot 35 \cdot 0,81 \cdot 200)c^2 + (600 \cdot 339,12 - 339,12 \cdot 390) \cdot c - 600 \cdot 339,12 \cdot 56 = 0$$

$$4820 \cdot c^2 - 71215,200 \cdot c - 11394432,000 = 0$$

$$\begin{aligned} c &= 41,793 \text{ mm} > d' = 56 \text{ mm} \\ &< y_2 = 100 \text{ mm} \end{aligned} \quad \dots \quad \text{OK}$$

$$a = \beta \cdot c$$

$$= 0,81 \times 41,793 = 33,853 \text{ mm}$$

$$\begin{aligned} ND_D &= 0,85 \cdot f'c \cdot a \cdot b \\ &= 0,85 \times 35 \times 33,853 \times 200 \\ &= 201,423 \text{ kN} \end{aligned}$$

$$ND_1 = fs' \cdot As'$$

$$= \frac{(c - d')}{c} \times 600 \cdot As'$$

$$= \frac{41,79 - 56}{41,793} \times 600 \times 339,120 \times 10^{-3}$$

$$= -69,166 \text{ kN}$$

$$\begin{aligned} NT_1 &= As \cdot fy \\ &= 339,120 \times 390 \times 10^{-3} \\ &= 195,120 \text{ kN} \end{aligned}$$

$$\begin{aligned}
NT_2 &= As1 \times fy \\
&= 226,080 \times 390 \times 10^{-3} \\
&= 40,003 \text{ kN}
\end{aligned}$$

$$\begin{aligned}
NDD + ND1 &= NT1 + NT2 \\
201,423 + -69,166 &= 195,12 + 40,003 \\
132,257 &= 235,123
\end{aligned}$$

$$\begin{aligned}
ZD_D &= c - a/2 \\
&= 41,793 - \frac{33,853}{2} \\
&= 24,867 \text{ mm}
\end{aligned}$$

$$\begin{aligned}
ZD_1 &= c - y1 \\
&= 41,793 - 56 \\
&= -14,207 \text{ mm}
\end{aligned}$$

$$\begin{aligned}
ZT2 &= y2 - c \\
&= 100 - 41,793 \\
&= 58,207 \text{ mm} \\
ZT1 &= y3 - c \\
&= 144 - 41,793 \\
&= 102,207 \text{ mm}
\end{aligned}$$

$$\begin{aligned}
Mn &= \{(ND_D \cdot ZD_D) + (ND_1 \cdot ZD_1) + (NT_1 \cdot ZT_1) + (NT_2 \cdot ZT_2) \\
&= \{(201,423 \times 24,867) + (-14,21 \times -14,207) + (195,120 \\
&\quad \times -14,207) + (58,207 \times 58,207) \\
&\quad \times 10^3 \\
&= 5,827 \text{ kNm}
\end{aligned}$$

$$\begin{aligned}
\phi Mn &= 0,65 \times 5,827 \\
&= 3,787 \text{ kNm}
\end{aligned}$$

Koordinat diagram

| Kondisi | 8 D 16 | |
|-------------|-----------------|------------------|
| | ϕP_n (kN) | ϕM_n (kNm) |
| Sentrис | 788,206 | 0 |
| Patah Desak | 417,802 | 31,940 |
| Balance | 177,511 | 29,275 |
| Patah Tarik | 102,460 | 26,389 |
| Lentur | 0 | 3,787 |

| | |
|-------------------------------|------------|
| ϕP_n Bresing atas (kN) | 253,240 kN |
| ϕP_n Brsing desain (kN) | 255,966 kN |

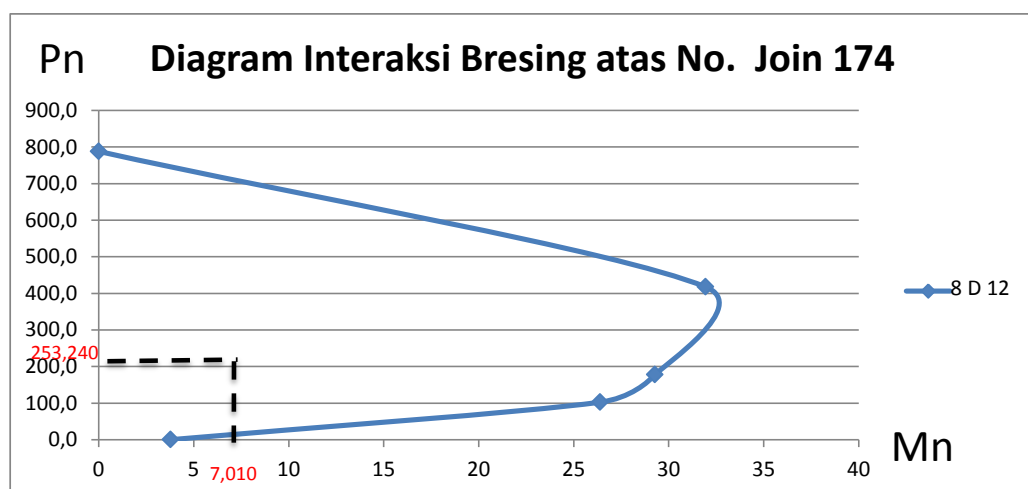
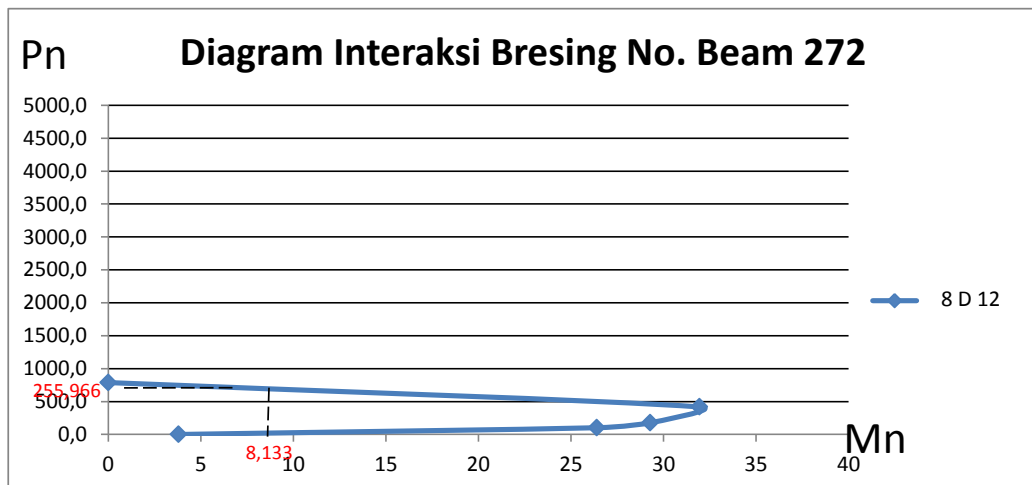


Diagram Interaksi Bresing atas No. Join 174



Gambar 4.21 Diagram Interaksi Bresing desain No. Beam 272

Dari hasil pembacaan ketiga diagram interaksi bresing diatas, maka didapat nilai momen nominal terfaktor untuk bresing yang ditinjau sebesar:

| | |
|---------------------------------|-------|
| φ Mn Bresing atas No. 241 (kNm) | 7,010 |
| φ Mn Beam desain No. 272 (kNm) | 8,133 |

BAB VI

KESIMPULAN DAN SARAN

6.1 Kesimpulan

Berdasarkan pengamatan dan analisa penerapan sistem pengaku dengan menggunakan bresing sebagai alternatif sistem struktur untuk menahan gaya lateral gempa maka dapat disimpulkan sebagai berikut :

1. Perhitungan penulangan bresing

Tabel 6.1. Hasil perhitungan pada sempel portal line 1 didapat :

| No. Batang Bresing | D. Tulangan Pokok | D. Tulangan Sengkang | Jarak Tulangan Geser (mm) |
|--------------------|-------------------|----------------------|---------------------------|
| 272 | 8 D 12 | Ø10 | 150 |
| 271 | 8 D 12 | Ø10 | 150 |
| 273 | 8 D 12 | Ø10 | 150 |
| 274 | 8 D 12 | Ø10 | 150 |

2. Perhitungan story drift pada pengaku bresing

Tabel 6.2. Hasil perhitungan story drift arah simpangan x

| Lantai | Total Drift | Perpindahan | Story Drift | Story Drift Izin | Story Drift $< \Delta_a$ |
|--------|-------------|-------------|-------------|------------------|--------------------------|
| | (mm) | (mm) | (mm) | Δ_a | |
| Atap | 13,284 | 0,056 | 0,308 | 70 | OK |
| 15 | 13,228 | 0,217 | 1,194 | 70 | OK |
| 14 | 13,011 | 0,377 | 2,073 | 70 | OK |
| 13 | 12,634 | 0,525 | 2,888 | 70 | OK |
| 12 | 12,109 | 0,658 | 3,619 | 70 | OK |
| 11 | 11,451 | 0,781 | 4,296 | 70 | OK |
| 10 | 10,670 | 0,890 | 4,895 | 70 | OK |
| 9 | 9,780 | 0,987 | 5,429 | 70 | OK |
| 8 | 8,793 | 1,074 | 5,907 | 70 | OK |
| 7 | 7,719 | 1,142 | 6,281 | 70 | OK |
| 6 | 6,577 | 1,207 | 6,639 | 70 | OK |
| 5 | 5,37 | 1,256 | 6,908 | 70 | OK |
| 4 | 4,114 | 1,295 | 7,1225 | 70 | OK |
| 3 | 2,819 | 1,314 | 7,227 | 70 | OK |
| 2 | 1,505 | 1,505 | 8,278 | 110 | OK |

Tabel 6.3. Hasil perhitungan story drift arah simpangan z

| Lantai | Total Drift | Perpindahan | Story Drift | Story Drift Izin | Story Drift $< \Delta_a$ |
|--------|-------------|-------------|-------------|------------------|--------------------------|
| | (mm) | (mm) | (mm) | Δ_a | |
| Atap | 21,570 | 1,043 | 5,737 | 70 | OK |
| 15 | 20,527 | 1,168 | 6,424 | 70 | OK |
| 14 | 19,359 | 1,285 | 7,068 | 70 | OK |
| 13 | 18,074 | 1,392 | 7,656 | 70 | OK |
| 12 | 16,682 | 1,481 | 8,145 | 70 | OK |
| 11 | 15,201 | 1,550 | 8,525 | 70 | OK |
| 10 | 13,651 | 1,597 | 8,784 | 70 | OK |
| 9 | 12,054 | 1,625 | 8,938 | 70 | OK |
| 8 | 10,429 | 1,630 | 8,965 | 70 | OK |
| 7 | 8,799 | 1,615 | 8,883 | 70 | OK |
| 6 | 7,184 | 1,578 | 8,679 | 70 | OK |
| 5 | 5,606 | 1,520 | 8,36 | 70 | OK |
| 4 | 4,086 | 1,435 | 7,8925 | 70 | OK |
| 3 | 2,651 | 1,307 | 7,189 | 70 | OK |
| 2 | 1,344 | 1,344 | 7,392 | 110 | OK |

3. Pada desain gambar tulangan ditampilkan pada lampiran halaman berikut :

6.2 Saran

Untuk merencanakan suatu struktur tahan gempa hendaknya mempertimbangkan aplikasi sistem yang akan diterapkan, agar mampu mengantisipasi semua beban – beban yang bekerja termasuk beban gempa yang sangat berbahaya untuk perencanaan struktur gedung bertingkat tinggi.

DAFTAR PUSTAKA

Nasution Amrinsyah, 2009, *Analisis dan Desain Struktur Beton Bertulang*, Bandung : Institut Teknologi Bandung.

Standar Nasional Indonesia, 2002, *SNI 03 – 2847 - 2013 : Tata Cara Perhitungan Struktur Beton Untuk Bangunan Gedung (SNI 03-2847-2013)*, Bandung : Badan Standarisasi Nasional.

Standar Nasional Indonesia, 2002, *SNI 03 – 1726 - 2012 : Tata Cara Perencanaan Ketahanan Gempa untuk Bangunan Gedung (SNI 03-2847-2012)*, Bandung : Badan Standarisasi Nasional.

Departemen Pekerjaan Umum, 1987, *Peraturan Pembebanan Indonesia Untuk Gedung*. Bandung : Yayasan Penyelidikan Masalah Bangunan Gedung.

Purwono, R, 2005, *Perencanaan Struktur Beton Bertulang Tahan Gempa*. Edisi Kedua. Surabaya : Institut Teknologi Sepuluh Nopember.

Vis, W. C. ; Kusuma, Gideon, H, 1997, *Dasar-dasar Perencanaan Beton Bertulang*. Edisi : Kedua. Erlangga.